

การประเมินผลกระทบของอุณหภูมิที่เพิ่มขึ้นตามแนวโน้มสภาพอากาศโลก้อนที่มีต่อผลผลิต
คุณภาพสารอาหารที่สำคัญและคุณลักษณะที่สำคัญบางประการของผลิตภัณฑ์
จากถั่วเหลือง (*Glycine max (L.) Merrill*) พันธุ์เชียงใหม่ 60



วิทยานิพนธ์เสนอปัจทิตวิทยาลัย มหาวิทยาลัยนเรศวร เพื่อเป็นส่วนหนึ่งของการศึกษา
หลักสูตรปริญญาวิทยาศาสตร์บัณฑิต
สาขาวิชาวิทยาศาสตร์สิ่งแวดล้อม
เดือนวันวาคม 2562
ลิขสิทธิ์เป็นของมหาวิทยาลัยนเรศวร

วิทยานิพนธ์ เรื่อง “การประเมินผลกระบวนการอุณหภูมิที่เพิ่มขึ้นตามแนวโน้มสภาวะโลกร้อน
ที่มีต่อผลผลิต คุณภาพสารอาหารที่สำคัญและคุณลักษณะที่สำคัญบางประการ
ของผลิตภัณฑ์จากถั่วเหลือง (*Glycine max* (L.) Merrill) พันธุ์ชี้งใหม่ 60”
ของ นางสาวสุดารัตน์ ปาหหลวง
ได้รับการพิจารณาให้นับเป็นส่วนหนึ่งของการศึกษาตามหลักสูตร
ปริญญาวิทยาศาสตรมหาบัณฑิต สาขาวิชาวิทยาศาสตร์สิ่งแวดล้อม

คณะกรรมการสอบวิทยานิพนธ์

..... ประธานกรรมการสอบวิทยานิพนธ์
(รองศาสตราจารย์ ดร.ชุลีมาศ บุญไทย อิวาย)

..... ประธานที่ปรึกษาวิทยานิพนธ์
(รองศาสตราจารย์ ดร.กนิตา รณเจริญชนกานต์)

..... กรรมการที่ปรึกษาวิทยานิพนธ์
(ผู้ช่วยศาสตราจารย์ ดร.เօรส รักชาติ)

..... กรรมการผู้ทรงคุณวุฒิภายใน
(ผู้ช่วยศาสตราจารย์ ดร.เชิดศักดิ์ ทัพใหญ่)

..... (ศาสตราจารย์ ดร.ไพศาล มุณีสว่าง)

คณะกรรมการคืบหน้า

อนุมัติ

25 ม.ค. 2562

ประกาศคุณปการ

ผู้วิจัยขอกราบขอบพระคุณเป็นอย่างสูงในความกรุณาของ รองศาสตราจารย์ ดร.กนิตา ชนเจริญชนภาส ประธานที่ปรึกษาวิทยานิพนธ์ที่ได้สละเวลาอันมีค่ามาเป็นที่ปรึกษา พร้อมทั้งให้คำแนะนำด้วยตลอดระยะเวลาในการทำวิทยานิพนธ์ฉบับนี้ และขอกราบขอบพระคุณ ผู้ช่วยศาสตราจารย์ ดร.ไอล รักชาติ กรรมการที่ปรึกษาวิทยานิพนธ์ที่ได้กรุณาให้คำแนะนำ ตลอดจนแก่ไขข้อบกพร่องของวิทยานิพนธ์ด้วยความเข้าใจใส่ จนทำให้วิทยานิพนธ์ฉบับนี้สำเร็จ ลุล่วงได้อย่างสมบูรณ์และทรงคุณค่า

กราบขอบพระคุณ ทุนอุดหนุนการวิจัยระดับบัณฑิตศึกษาจากสำนักงานคณะกรรมการ วิจัยแห่งชาติ ประจำปี 2561 ที่ได้ให้ทุนสนับสนุนที่มีค่าอย่างยิ่งจนสามารถดำเนินงานวิจัยเสร็จสิ้น สมบูรณ์ และขอขอบพระคุณเป็นพิเศษต่อศุนย์วิจัยและพัฒนาเมล็ดพันธุ์พืชพิชณ์โลก จังหวัดพิษณุโลก สำหรับการอนุมัติรายเมล็ดถัวเหลือองพันธุ์เชียงใหม่ 60 ในการทำวิจัยครั้งนี้

เนื่อสิ่งอื่นใดขอกราบขอบพระคุณ บิดา มารดา ของผู้วิจัยที่ให้กำลังใจ และให้ การสนับสนุนในทุกๆ ด้านอย่างดีที่สุดเสมอมา

คุณค่าและคุณประโยชน์อันเพิ่งจะมีจากวิทยานิพนธ์ฉบับนี้ ผู้วิจัยขอขอบพระคุณและอุทิศแด่ผู้มี พระคุณทุกๆ ท่าน ผู้วิจัยหวังเป็นอย่างยิ่งว่า งานวิจัยนี้จะเป็นประโยชน์ต่อข้อมูลในเชิงลึกส่วนหนึ่ง ที่สามารถใช้ในการประเมินผลกระทบทางเกษตรในอนาคตเพื่อรองรับการเพิ่มมูลค่าทางการเกษตร มากขึ้น และสามารถต่อยอดดองค์ความรู้ ให้เป็นประโยชน์ต่อการปรับตัว และการรับมือจากปัญหา การเปลี่ยนแปลงสภาพภูมิอากาศของประเทศไทยต่อไปในอนาคตไม่มากก็น้อย

สุดารัตน์ ปานหลวง

สารบัญ

บทที่	หน้า
1 บทนำ	1
ความเป็นมาของปัญหา	1
จุดมุ่งหมายของการศึกษา	3
ขอบเขตของงานวิจัย	4
นิยามศัพท์เฉพาะ	5
สมมติฐานของการวิจัย	6
2 เอกสารและงานวิจัยที่เกี่ยวข้อง	7
การเปลี่ยนแปลงของสภาพภูมิอากาศและสภาพแล้อมร้อน	7
ถั่วเหลือง (Soybean)	12
โปรตีนและกรดอะมิโน	22
การเปรียบผลิตภัณฑ์	26
ผลกระทบของสภาพภูมิอากาศที่มีต่อสรีรวิทยาของพืช	27
ผลกระทบของสภาพภูมิอากาศที่มีต่อสรีรวิทยาของถั่วฟ้า	29
ผลกระทบของสภาพภูมิอากาศที่มีต่อผลผลิตในพื้นที่เกษตรกรรมของโลก ..	30
งานวิจัยที่เกี่ยวข้อง	32
3 วิธีดำเนินงานวิจัย	39
พื้นที่ศึกษา	39
พันธุ์ถั่วเหลืองที่ใช้ในงานวิจัย	39
การควบคุมระดับอุณหภูมิ ณ พื้นที่วิจัยภาคสนาม	40
การจัดการการปลูก	45
ปัจจัยทางกายภาพที่ศึกษาในดูทดลอง	47
พารามิเตอร์ที่ต้องการศึกษา	47

สารบัญ (ต่อ)

บทที่	หน้า
ระยะเวลาในการทำวิจัย	49
สถิติการวิจัย	49
4 ผลการวิจัย	50
ระดับอุณหภูมิที่ควบคุม	50
ระดับธาตุอาหารในติน	54
องค์ประกอบของผลผลิต	59
บริมาณโปรตีนในเมล็ด	64
บริมาณกรดอะมิโนในเมล็ด	65
คุณลักษณะของเต้าหู้	68
5 บทสรุป	74
สรุปผลการวิจัย	74
อภิปรายผล	76
ข้อเสนอแนะ	82
บรรณานุกรม	84
ภาคผนวก	94
ประวัติผู้วิจัย	115

สารบัญตาราง

ตาราง	หน้า
1 พื้นที่เก็บเกี่ยว ผลผลิต และผลผลิตต่อไร่ ของประเทศผู้ผลิตที่สำคัญ 10 อันดับแรก ปี 2555-2557	14
2 พื้นที่ ผลผลิต และผลผลิตต่อไร่ เป็นรายภาคปี 2557-2558	15
3 อนุกรมวิธานของถั่วเหลืองจำแนกตามพฤษศาสตร์	16
4 ระยะเวลาเจริญเติบโตของ V-stage ในถั่วเหลือง	19
5 ระยะเวลาเจริญเติบโตของ R-stage	20
6 กรดอะมิโนต่างๆในเมล็ดถั่วเหลือง ในแบ่งถั่วเหลือง ในอาหารข้น และในส่วนที่ แยกเป็นอิสระ เมื่อเทียบกับปริมาณที่องค์การอาหารและเกษตรแห่ง สหประชาชาติ (FAO) กำหนดเป็นมาตรฐานของอาหารที่มีคุณภาพดี	22
7 เวลาและค่าเฉลี่ยของระดับอุณหภูมิที่เพิ่มขึ้นจากการตรวจวัดในตู้ทดลอง	51
8 เวลาและค่าเฉลี่ยของระดับอุณหภูมิในดินจากการตรวจวัดในตู้ทดลอง	53
9 การเบริญบตียบคุณลักษณะของเต้าหู้ในแต่ละสิ่งทดลอง	73

สารบัญภาพ

ภาพ	หน้า
1 การเปลี่ยนแปลงของอุณหภูมิพื้นผิวโลกที่เพิ่มสูงขึ้นในช่วงเปรียบเทียบระหว่าง ในปี ฐานปี ค.ศ.1901 กับปี ค.ศ.2012	8
2 ค่าเฉลี่ยของอุณหภูมิพื้นผิวโลกจากข้อมูลระหว่างปี ค.ศ.1961-1990	9
3 ระดับแนวโน้มของอุณหภูมิที่จะเพิ่มสูงขึ้นภายใต้สภาพอากาศ RCP 2.6 และ RCP 8.0 ในช่วงปี ค.ศ.2000-ค.ศ.2100	12
4 การเจริญเติบโตของถั่วเหลือง	17
5 ดอกของถั่วเหลือง	18
6 โครงสร้างของปฏิทินจตุรภูมิ	24
7 โครงสร้างของกรดอะมิโน	25
8 โครงสร้างของกรดอะมิโน Glycine Lysine และ Methionine	26
9 ระบบตู้ทดลองภาคสนามระบบเปิดระบบอากาศด้านบน (Open Top Chamber)	40
10 การใช้เครื่องปรับอากาศเพื่อควบคุมระดับอุณหภูมิให้เทียบเท่ากับสภาพธรรมชาติ	41
11 การติดตั้งหลอดไฟเพื่อเพิ่มระดับอุณหภูมิในสิ่งทดลอง HT2	42
12 การติดตั้งหลอดไฟเพื่อเพิ่มระดับอุณหภูมิในสิ่งทดลอง HT3	43
13 การควบคุมระดับอุณหภูมิในตู้ทดลองโดยใช้ระบบควบคุมเวลาอัตโนมัติ	44
14 ผังการวางแผน OTC จำนวน 16 ตู้ ภายใต้แผนการทดลองแบบ Randomized Complete Block Design (RCBD) มีสิ่งทดลอง 4 รูปแบบ และมี 4 ชั้น	45
15 การเตรียมพื้นที่แปลงปลูก	45
16 การเพาะเมล็ดถั่วเหลืองในภาชนะเพื่อเตรียมคัดต้นอ่อน	46
17 ต้นอ่อนที่มีคัตราชการครอบเด่าเท่าเทียมกัน	46
18 ระบบการให้น้ำหยดแบบตั้งเวลาอัตโนมัติ	47
19 การควบคุมระดับอุณหภูมิทั้ง 4 สิ่งทดลอง ตามแบบจำลองสภาพอากาศ RCP2.6, RCP4.5, RCP6.0 และ RCP8.5	51
20 ค่าเฉลี่ยของระดับอุณหภูมิอากาศภายนอกในตู้สิ่งทดลองทั้ง 4 ระดับ	52

สารบัญภาพ (ต่อ)

ภาพ	หน้า
21 ค่าเฉลี่ยของระดับอุณหภูมิในดินภายในตู้สั่งทดลองทั้ง 4 ระดับ	53
22 ปริมาณไนโตรเจนทั้งหมดในดินก่อนปลูกในระดับอุณหภูมิที่แตกต่างกัน	54
23 ปริมาณเอมโนเรียมในดินก่อนปลูกในระดับอุณหภูมิที่แตกต่างกัน	55
24 ปริมาณธาตุอาหารในเตรทในดินก่อนปลูกในระดับอุณหภูมิที่แตกต่างกัน	56
25 ปริมาณธาตุอาหารฟอสฟอรัสในดินก่อนปลูกในระดับอุณหภูมิที่แตกต่างกัน	57
26 ปริมาณธาตุอาหารโพแทสเซียมในดินก่อนปลูกในระดับอุณหภูมิที่แตกต่างกัน	58
27 จำนวนฝักทั้งหมด/ต้น (Pods/plant)	59
28 จำนวนเมล็ดทั้งหมด/ต้น (Seeds/plant) โดยนับรวมเมล็ดลีบ	60
29 จำนวนเมล็ดทั้งหมด/ต้น (Seeds/plant) โดยไม่นับรวมเมล็ดลีบ	61
30 จำนวนเมล็ดทั้งหมด/ฝัก (Seeds/pod) โดยนับเฉพาะเมล็ดสมบูรณ์	62
31 น้ำหนักเมล็ดจำนวน 100 เมล็ด (100-seed weight)	63
32 ปริมาณโปรตีนในเมล็ด (Crude protein)	64
33 ปริมาณกรดอะมิโน Lysine	65
34 ปริมาณกรดอะมิโน Glycine	66
35 ปริมาณกรดอะมิโน Methionine	67
36 ลักษณะเนื้อสัมผัสของเต้าหู้จากการแปรรูปถัวเหลืองในสิ่งทดลอง CT	68
37 ลักษณะเนื้อสัมผัสของเต้าหู้จากการแปรรูปถัวเหลืองในสิ่งทดลอง HT1	69
38 ลักษณะเนื้อสัมผัสของเต้าหู้จากการแปรรูปถัวเหลืองในสิ่งทดลอง HT2	70
39 ลักษณะเนื้อสัมผัสของเต้าหู้จากการแปรรูปถัวเหลืองในสิ่งทดลอง HT3	71
40 ค่าวัดเนื้อสัมผัส (Texture analysis)	72
41 ค่าความชื้น (Moisture)	72

ชื่อเรื่อง	การประเมินผลกระบวนการอุณหภูมิที่เพิ่มขึ้นตามแนวโน้มสภาวะโลกร้อนที่มีต่อผลผลิต คุณภาพสารอาหารที่สำคัญและคุณลักษณะที่สำคัญบางประการของผลิตภัณฑ์จากถั่วเหลือง (<i>Glycine max</i> (L.) Merrill) พันธุ์เชียงใหม่ 60
ผู้วิจัย	สุดาธัตโน ปานหลวง
ประธานที่ปรึกษา	รองศาสตราจารย์ ดร.กนิตา ภานเจริญชัยนาถ
กรรมการที่ปรึกษา	ผู้ช่วยศาสตราจารย์ ดร.โกรส รักษาติ
ประเภทสารนิพนธ์	วิทยานิพนธ์ ว.ม. สาขาวิชาวิทยาศาสตร์สิ่งแวดล้อม มหาวิทยาลัยแม่ฟ้าหลวง, 2562
คำสำคัญ	ตู้ทดลองระบบเปิดด้านบน อุณหภูมิที่เพิ่มขึ้นตามแนวโน้มสภาวะโลกร้อน ถั่วเหลืองพันธุ์เชียงใหม่ 60 ภาคพาย盎าคต RCP เต้าหู้แห่น

บทคัดย่อ

จากการศึกษาการประเมินผลกระบวนการอุณหภูมิที่เพิ่มขึ้นตามแนวโน้มสภาวะโลกร้อนที่มีต่อผลผลิต คุณภาพสารอาหารที่สำคัญและคุณลักษณะที่สำคัญบางประการของผลิตภัณฑ์จากถั่วเหลือง (*Glycine max* (L.) Merrill) พันธุ์เชียงใหม่ 60 ได้ดำเนินการศึกษาวิจัยในพื้นที่มหาวิทยาลัยแม่ฟ้าหลวง ในปี พ.ศ. 2560 การทดลองได้มีการใช้ตู้ทดลองระบบเปิดด้านบนจำนวน 16 ตู้ วางแผนการทดลองแบบสุ่มบล็อกสมบูรณ์ (RCBD) ให้มีระดับอุณหภูมิที่แตกต่างกัน 4 ระดับ (4 สิ่งทดลอง) ดังนี้ สิ่งทดลอง CT ($28.0 \pm 2.14^{\circ}\text{C}$), HT1 ($30.0 \pm 2.13^{\circ}\text{C}$), HT2 ($31.6 \pm 2.10^{\circ}\text{C}$) และ HT3 ($32.8 \pm 2.20^{\circ}\text{C}$) ตามลำดับ จากนั้นทำการปลูกถั่วเหลืองในตู้ทดลองระบบเปิดด้านบนเป็นระยะเวลา 105 วัน ผลการศึกษาพบว่าอุณหภูมิที่เพิ่มสูงขึ้นส่งผลเชิงลบต่อจำนวนเมล็ดที่สมบูรณ์ต่อฝัก และน้ำหนักเมล็ด 100 เมล็ด โดยลดลงประมาณ 7.1 % (ใน HT2) และ 31 % (ใน HT3) ตามลำดับ นอกจากนี้อุณหภูมิที่เพิ่มขึ้นยังส่งผลให้กรดอะมิโนไลซีน และไกลซีนในเมล็ดถั่วเหลืองเพิ่มขึ้นอย่างมีนัยสำคัญ ($P < 0.05$) ประมาณ 4 % และ 2 % ตามลำดับ ถึงแม้ว่าอุณหภูมิที่เพิ่มสูงขึ้นจะส่งผลต่อกรดอะมิโนบางชนิดให้เพิ่มขึ้นแต่ไม่ส่งผลต่อปริมาณโปรตีน และกรดอะมิโนในเมล็ดถั่วเหลืองเพิ่มขึ้นอย่างมีนัยสำคัญ ($P < 0.05$) ประมาณ 12 % และ 21 % ตามลำดับ นอกจากนี้อุณหภูมิในบรรยากาศที่เพิ่มขึ้นยังส่งผลให้เนื้อสัมผัสของเต้าหู้เปลี่ยนแปลง เช่น กัน เมื่อเปรียบเทียบกับสิ่งทดลอง CT

Title	ASSESSING THE IMPACTS OF ENHANCED TEMPERATURES UNDER THE TRENDS OF GLOBAL WARMING SITUATION ON YIELD, IMPORTANT NUTRIENTS VALUE AND SOME CHARACTERISTICS PRODUCT OF SOYBEAN (<i>Glycine max</i> (L.) Merrill) VARIETY: CHIANG MAI 60.
Author	Sudarat Paluang
Advisor	Associate Professor Kanita Thanacharoenchanaphas, Ph.D.
Co-advisor	Assistant Professor Orose Rugchati, Ph.D.
Academic Paper	Thesis M.Sc. in Environment Science, Naresuan University, 2019
Keywords	Open Top Chamber, Enhanced Temperatures under the Trends of Global Warming Situation, Soybean variety : Chiang Mai 60, RCP Scenarios, Tofu

ABSTRACT

The study of assessing the impacts of enhanced temperatures under the trends of global warming situation on yield, important nutrients value and some characteristics product of soybean (*Glycine max* (L.) Merrill) variety: Chiang Mai 60 was conducted at Naresuan University research area in 2017. In experiment, sixteen open top chambers were applied in a randomized complete block design (RCBD) with 4 different levels of temperature (4 treatments) as follows: CT (28.0 ± 2.14 °C), HT1 (30.0 ± 2.13 °C), HT2 (31.6 ± 2.10 °C), and HT3 (32.8 ± 2.20 °C) treatment respectively. Then soybean was planted inside open top chambers for 105 days. The negative results under high temperature were shown in decreasing of total complete seed. pod⁻¹ and 100-seed weight by approximately 7.1 % (in HT2) and 31 % (in HT3), respectively when compare with CT. In addition, high temperature significantly increased ($P < 0.05$) lysine and glycine amino acids content in soybean seed by approximately 4 % and 2 %, respectively. Although the high temperatures increased some amino acids, these were not associated with results

in crude protein and methionine amino acid. It was found that these effects significantly decrease ($P<0.05$) crude protein and methionine amino acid by approximately 12 % and 21 %, respectively. Increased air temperature also altered texture of tofu when compare with CT.



บทที่ 1

บทนำ

ความเป็นมาของปัญหา

การเปลี่ยนแปลงสภาพภูมิอากาศโลกเป็นปัญหาที่เกิดขึ้นมาเป็นระยะเวลากว่านานหลายศตวรรษ พบร่วมกับปัจจัยสำคัญที่เป็นสาเหตุของปัญหาที่เกิดขึ้นอย่างชัดเจน ทั้งปัจจัยที่เกิดจากธรรมชาติ และจากกิจกรรมของมนุษย์ (IPCC, 2013) มีรายงานระดับนานาชาติหลายฉบับรวมทั้งประเทศไทยยืนยันตรงกันว่าหนึ่งในด้านนี้ชัดที่สำคัญของการเปลี่ยนแปลงสภาพภูมิอากาศคือระดับอุณหภูมิที่สูงขึ้นอย่างต่อเนื่องในหลายพื้นที่ของโลก (จังหวัด วชิรินทร์, 2554; กระทรวงสิ่งแวดล้อมและคุณภาพ-environment, 2559; IPCC, 2013) รวมทั้งข้อมูลจากหน่วยงานคณะกรรมการระหว่างรัฐบาลว่าด้วยการเปลี่ยนแปลงสภาพภูมิอากาศ IPCC (Intergovernmental Panel on Climate Change) ได้ยืนยันสถานการณ์ดังกล่าวในรายงานการวิเคราะห์การเปลี่ยนแปลงสภาพภูมิอากาศฉบับที่ 5 (AR5: The Fifth Assessment Report) ซึ่งเป็นฉบับล่าสุด รายงานดังกล่าวได้ระบุว่า ในช่วงระยะเวลาหลายสิบปีที่ผ่านมา (ระหว่าง ค.ศ. 1951-ค.ศ. 2012) ระดับอุณหภูมิเพิ่มขึ้นโลกเฉลี่ยได้เพิ่มขึ้นประมาณ 0.1°C (กรณิตา มนเจริญชลภาส, 2558; IPCC, 2013; IPCC, 2014) ยิ่งกว่าที่นั้นในรายงาน AR5 ของหน่วยงาน IPCC ได้ประเมินสถานการณ์ระดับอุณหภูมิเฉลี่ยของโลกในอนาคตโดยใช้รูปแบบภาพฉายอนาคตแสดงการปล่อยระดับก๊าซเรือนกระจกที่ทำให้ค่าแรงแผ่วรังสี (Radiative forcing) เปลี่ยนแปลงไป เรียกว่า Representative Concentration Pathways (RCPs) ซึ่งภาพฉายอนาคต RCP 8.5 แสดงระดับค่า Radiative forcing ที่จะเพิ่มขึ้นถึง 8.5 W.m^{-2} ภายใต้สถานการณ์การใช้พลังงานจากฟอสซิลเป็นหลัก และมีการพัฒนาเศรษฐกิจพัฒนาประเทศในระดับสูง รวมทั้งมีการปล่อยก๊าซเรือนกระจกในระดับสูงอย่างต่อเนื่อง (IPCC, 2014) คาดการณ์ว่าระดับอุณหภูมิจะเพิ่มขึ้นถึง $2-3^{\circ}\text{C}$ ภายในปี ค.ศ. 2100 เมื่อเปรียบเทียบระหว่าง ค.ศ. 2081-2100 (Clarke et al., 2014) ซึ่งข้อมูลดังกล่าวส่งผลให้นักวิจัย นักวิชาการ รวมทั้งหน่วยงานที่เกี่ยวข้องมีความกังวลเกี่ยวกับผลกระทบต่อระบบนิเวศ ความเสี่ยงการปรับตัวในด้านระบบนิเวศธรรมชาติ พืชพรรณ ทรัพยากรน้ำ ระบบนิเวศมนุษย์ และการปรับตัวทางด้านกระบวนการทางสังคม เศรษฐกิจ รวมทั้งผลกระทบที่สำคัญต่อมนุษย์ คือความมั่นคงทางอาหาร เนื่องจากผลกระทบของสภาพภูมิอากาศโลกส่งผลกระทบต่อ

การเปลี่ยนแปลงระบบภูมิเวศเกษตรเชิงกัน (กนวตม. จารุพงษ์สกุล, 2550; สำนักฯ ชิดไชสง และ อัศมน สิมสกุล, 2557; กรณิตา ชนเจริญณภานุ, 2558)

ด้วยปัญหาดังกล่าวดังนั้นในอนาคตพื้นที่ที่มีเกษตรกรรมทั่วโลกหัน อเมริกาเหนือ อเมริกาใต้ เอฟริกา ยุโรป และเอเชีย ที่มีโอกาสเสี่ยงต่อการเผชิญ (exposure) ต่อสภาวะ การเปลี่ยนแปลงภูมิอากาศ หรือสภาวะโลกร้อนย่อมมีความเป็นไปได้ที่จะประสบกับปัญหาคุณค่า ทางด้านอาหาร และผลผลิตของธัญพืชที่ลดลง (Cure,& Acock, 1986) ทั้งนี้ได้มีการคาดการณ์ว่า อาจมีผลมาจากการเปลี่ยนแปลงปัจจัยลึงแวดล้อมที่เกี่ยวข้องกับกระบวนการสร้างผลผลิต ในธัญพืชด้านต่างๆเข้ามาเกี่ยวข้อง เช่น ภาวะอากาศขาดแคลนน้ำ น้ำท่วม การเกิดโรคระบาดของพืช กระบวนการเพิ่มชั้น หรือลดลงของระดับอุณหภูมิใกล้ผิวใบ หรือในดินที่มีผลต่อกระบวนการ ทางสรีรวิทยาของพืชทำให้สุดท้ายแล้วผลผลิต และคุณภาพของสารอาหารในเมล็ดธัญพืชทางด้าน อาหารลดลง (กรณิตา ชนเจริญณภานุ และโจรัส รักษาติ, 2552; Jones, 1992; Newton et al., 1994; Wurr et al., 1996; Nijs et al., 1996; Hollister, & Webber, 2000; IPCC, 2006; Thanacharoenchanaphas, & Orose, 2011)

ถ้าหากเป็นธัญพืชที่สำคัญมากของมนุษย์เนื่องจากเป็นแหล่งโปรตีน และสารอาหาร ที่สำคัญของมนุษย์ และยังมีความสำคัญต่อการเป็นพืชเศรษฐกิจของโลกอีกด้วย อย่างไรก็ตามพบว่าถ้าหากเป็นพืชที่อยู่ในระหว่างการเปลี่ยนแปลงระดับอุณหภูมิ (อภิวรรณ พุกภักดี, 2546) ดังนั้นจึงเป็นพืชชนิดที่มีความเสี่ยงภายใต้สภาวะโลกร้อน มีงานวิจัยยืนยัน ผลกระทบดังกล่าวโดยพบว่ามีการเปลี่ยนแปลงกระบวนการทางด้านสรีรวิทยาอย่างรวดเร็ว และขัดเจนเมื่อถ้าหากเป็นสัมผัสถกับระดับอุณหภูมิที่ผิวใบ หรือระดับอุณหภูมิในดินที่สูงขึ้น เช่น ลดประสิทธิภาพในการดึงธาตุอาหาร การสั่งเคราะห์แสง การสร้างอาหาร และการลดผลผลิต เมื่อปลูกถ้าหากเป็นภัยได้สถานการณ์ระดับอุณหภูมิที่สูง หรือต่ำกว่าสภาวะปกติในฤดูกาลปลูก (กรณิตา ชนเจริญณภานุ, 2558; Bhattacharai et al., 2017) นอกจากนี้มีงานวิจัยจำนวนมากแสดงผล ที่แสดงถ่องถันว่าไม่ใช่ของผลผลิตพืชหล่ายชนิดของโลกความทั่วโลกที่ปลูกภัยได้สภาวะ อุณหภูมิสูงจะเกิดสภาวะความเครียดจากความร้อน (Heat stress) จะถูกทำลายลงอย่างรวดเร็ว รวมทั้งพบว่าโครงสร้างของกรดอะมิโนในเมล็ดถ้าหากเปลี่ยนแปลงไปจนนำไปสู่การสูญเสีย กรดอะมิโนชนิดนั้นๆ (He et al., 2005; Bainy et al., 2008)

ประเทศไทยเป็นประเทศหนึ่งที่ตั้งอยู่ในพื้นที่เขตร้อน (tropical zone) ซึ่งมีค่าเฉลี่ยอุณหภูมิรายปีเพิ่มขึ้นประมาณ $4-5^{\circ}\text{C}$ เมื่อเทียบกับช่วงปลายทศวรรษที่ 20 (ค.ศ. 1991-2000) (ศูนย์ภูมิอากาศ สำนักพัฒนาอุตุนิยมวิทยา, 2553) เมื่อพิจารณาพื้นที่เขตร้อนพบว่าเป็นพื้นที่ที่สิ่งมีชีวิตมีความเสี่ยงต่อสภาวะการเปลี่ยนแปลงระดับอุณหภูมิโดยเฉพาะระดับอุณหภูมิที่สูงขึ้นเนื่องจากช่วงความทันของระดับอุณหภูมิที่ส่งผลต่อกระบวนการทางสิริวิทยาอยู่ในช่วงแคนบกว่าพื้นที่เขตอื่นๆ ของโลก (Khaliq et al., 2014) และจากการศึกษาที่ผ่านมาพบว่าระดับอุณหภูมิเฉลี่ยของประเทศไทยในช่วงทุกๆ 10 ปี ที่ผ่านมานั้นเพิ่มขึ้นเกือบ 1°C ต่อศตวรรษ โดยมีปัจจัยที่เป็นสาเหตุหลักๆ คือ การเปลี่ยนแปลงการใช้ประโยชน์ที่ดิน และสิ่งปลูกสร้าง การเปลี่ยนแปลงจากสภาพพื้นที่ป่าไม้ไปเป็นพื้นที่เกษตร หรือโรงงานอุตสาหกรรม รวมทั้งการใช้พลังงานจากเชื้อเพลิงฟอสซิล เป็นต้น (จังรักษ์ วัชรินทร์ตัน, 2554; กนิตา ชนเจริญชณภัส, 2558) รวมทั้งเมื่อพิจารณาว่าประเทศไทยเป็นประเทศหนึ่งในเครือซึ่งปลูกถั่วเหลืองจนกลายเป็นพืชเศรษฐกิจที่สำคัญนิดหนึ่งของประเทศไทยจากข้าว และข้าวโพด ด้วยเหตุผลดังกล่าวผู้วิจัยจึงมีความประสงค์ที่จะศึกษาสถานการณ์ภัยใต้สภาวะการเพิ่มระดับอุณหภูมิบรรยายกาศ เนื่องจากการเปลี่ยนแปลงสภาพภูมิอากาศเพื่อให้ทราบว่า ในอนาคตหากประเทศไทยประสบกับสภาวะการเพิ่มระดับอุณหภูมิที่สูงขึ้นตามภาพฉายอนาคต RCPs จะส่งผลกระทบต่อการสูญเสียผลผลิตสารอาหารประเภทโปรตีน และกรดอะมิโนในถั่วเหลืองมากน้อยเพียงใด รวมทั้งส่งผลกระทบต่อการเปลี่ยนแปลงลักษณะของผลิตภัณฑ์ที่แปรรูปไปอย่างไร แผนกวิจัย และผลการวิจัยที่จะได้รับความสำคัญตามเป้าหมายในอนาคตนั้นคันจะเป็นฐานข้อมูลที่สำคัญในการต่อยอดองค์ความรู้เพื่อปรับตัว และการรับมือปัญหาการเปลี่ยนแปลงสภาวะภูมิอากาศในประเทศไทยต่อไป และที่สำคัญยิ่ง คือ จะสอดคล้องกับแผนพัฒนาเศรษฐกิจและสังคมแห่งชาตินับปี 12 ซึ่งมุ่งเป้าในการวางแผนการพัฒนาประเทศไทยไปสู่สังคมที่มีความสุขอย่างมั่นคง มั่นค้าง และยั่งยืน สอดคล้องตามยุทธศาสตร์ชาติ 20 ปี ที่เป็นกรอบการพัฒนาประเทศไทยในระยะยาวต่อไป

จุดมุ่งหมายของการศึกษา

1. เพื่อศึกษาผลผลกระทบของระดับอุณหภูมิที่เพิ่มขึ้นที่มีต่อผลผลิตถั่วเหลือง
2. เพื่อศึกษาผลผลกระทบของระดับอุณหภูมิในฤดูกาลปีกุทុที่เพิ่มขึ้นต่อปริมาณสารอาหารที่สำคัญ คือ โปรตีน และกรดอะมิโนชนิดสำคัญของเมล็ดถั่วเหลือง

3. เพื่อศึกษาผลกระบวนการของระดับอุณหภูมิในฤดูกาลปลูกที่เพิ่มขึ้นต่อคุณสมบัติทางประการของผลิตภัณฑ์ถั่วเหลืองในรูปแบบเต้าหู้แข็งซึ่งปลูกภายใต้สภาวะระดับอุณหภูมิเพิ่มขึ้น

ขอบเขตของการวิจัย

1. พื้นที่ศึกษา แปลงวิจัยด้านการเกษตร คณะเกษตรศาสตร์ทรัพยากรธรรมชาติและสิ่งแวดล้อม มหาวิทยาลัยแม่โจว จังหวัดพิษณุโลก
2. พันธุ์ถั่วเหลืองที่ใช้ในงานวิจัย ถั่วเหลือง (*Glycine max (L.) Merrill*) เพียง 1 สายพันธุ์คือ พันธุ์เชียงใหม่ 60
3. การควบคุมระดับอุณหภูมิ ณ พื้นที่วิจัยภาคสนาม ควบคุมระดับอุณหภูมิโดยระบบตู้ทดลองเปิดด้านบน (Open Top Chamber)
 - 3.1 รูปแบบของ Open Top Chamber มีลักษณะเป็นสี่เหลี่ยมจัตุรัสเพื่อความสะดวกในการครอบแปลงวิจัยที่มีลักษณะเป็นแปลงปลูกแนวยาว Open Top Chamber (OTC) มีขนาดกว้าง 1.5 เมตร ยาว 1.5 เมตร และสูง 2 เมตร หุ้มด้วยพลาสติกใส่ทุกด้าน มีช่องเปิดเพื่อระบายน้ำทางด้านบน รวมทั้งมีประตู และหลังคาฐานปูจ้วปิดด้านบนเพื่อป้องกันอุปกรณ์อิเลคทรอนิกส์จากน้ำฝน และจากความชื้นในช่วงระยะเวลาทำการวิจัยภาคสนาม และใช้ระบบไฟฟ้าอิเล็กทรอนิกส์ในการควบคุมอุณหภูมิอัตโนมัติ
 - 3.2 การควบคุมระดับอุณหภูมิภายในตู้ทดลองให้มีความแตกต่างกัน 4 ระดับ ตามแนวโน้มการคาดการณ์จากสภาพอากาศ RCPs โดยใช้ระบบอิเลคทรอนิกส์ร่วมกับสภาวะธรรมชาติในการควบคุม
4. การวางแผนการทดลอง วางแผนการทดลองแบบ Randomized Complete Block Design (RCBD) มีจำนวน 4 สิ่งทดลอง ตามระดับอุณหภูมิที่เพิ่มขึ้น และกำหนดให้มี 4 ชั้าต่อ 1 สิ่งทดลอง (4 replications / treatment)
5. การศึกษาผลผลิต กำหนดคงค่าประกอบผลผลิตทั้งหมด 4 องค์ประกอบ คือ
 - 5.1 จำนวนฝักทั้งหมด/ต้น (Pods/plant)
 - 5.2 จำนวนเมล็ดทั้งหมด/ฝัก (Seeds/pod)
 - 5.3 จำนวนเมล็ดทั้งหมด/ต้น (Seeds/plant)
 - 5.4 น้ำหนักเมล็ด 100 เมล็ด (100 – seed weight)

6. ปริมาณธาตุอาหารในดินก่อนปลูก วิเคราะห์ธาตุอาหารในดิน คือ

6.1 ปริมาณในตรารูปทั้งหมด (Total Nitrogen)

6.2 ในตรารูปแบบที่มีประไยช์ คือ NH_4^+ , NO_3^-

6.3 ฟอสฟอรัสรูปแบบที่มีประไยช์ (Monohydrogen Phosphate : HPO_4^{2-})

6.4 โพแทสเซียมรูปแบบที่มีประไยช์ (K^+)

7. การศึกษาสารอาหารสำคัญในเมล็ดถั่วเหลือง

7.1 โปรตีน

7.2 กรดอะมิโน 3 ชนิด

7.2.1 Lysine acid

7.2.2 Glycine acid

7.2.3 Methionine acid

8. การศึกษาคุณสมบัติบางประการของผลิตภัณฑ์ถั่วเหลือง ศึกษาในรูปแบบผลิตภัณฑ์แปรรูป คือ เต้าหู้เจี๊ยง

นิยามศัพท์เฉพาะ

1. ถู๊ดลองระบบเปิดด้านบน (Open Top Chamber) มีลักษณะเป็นสี่เหลี่ยมจัตุรัส หุ้มด้วยพลาสติกใสทั้งสี่ด้าน มีประตู และหลังคา กันน้ำฝน มีช่องระบายอากาศด้านบน ภายใน Open Top Chamber จะใช้ควบคุมระดับอุณหภูมิให้มีความแตกต่างกันโดยใช้ระบบไฟฟ้า อิเล็กทรอนิกส์ในการควบคุม (กนิตา ธนเจริญชันภัส, 2558)

2. อุณหภูมิที่เพิ่มขึ้นตามแนวโน้มสภาพโลกร้อน ระดับอุณหภูมิที่เพิ่มขึ้น ตามแนวโน้มสภาพโลกร้อนในที่นี้ หมายถึงระดับอุณหภูมิที่ได้รับการคาดการณ์จากภาพฉายอนาคต โดยภาพฉายอนาคต Representative Concentration Pathways (RCPs) ที่สะท้อน การปล่อยก๊าซเรือนกระจกที่เพิ่มขึ้นภายใต้สถานการณ์ที่แตกต่างกันจนทำให้ค่าการแพร่รังสี (RF) และระดับอุณหภูมิในแต่ละพื้นที่แตกต่างกันไปภายในปี ค.ศ. 2100 ซึ่ง RCPs ได้ถูกแบ่ง ตามแนวโน้มระดับอุณหภูมิที่เพิ่มขึ้นตามลำดับ ภายในศตวรรษที่ 21 คือ RCP 2.6, RCP 4.5, RCP 6.0 และ RCP 8.5 เมื่อเทียบกับปี ค.ศ. 2011 (ตัวเลข 2.6, 4.5, 6.0 และ 8.5 คือ ค่าการเพิ่มระดับ RF ที่ได้รับการคาดการณ์) และการศึกษาวิจัยครั้งนี้เลือกใช้ระดับอุณหภูมิที่เพิ่มขึ้นตามแนวโน้ม ภาพฉายอนาคต RCP 2.6, RCP 4.5, RCP 6.0 และ RCP 8.5 (Clarke et al., 2014)

3. ถ้าแหล่งพันธุ์เชียงใหม่ 60 เป็นพันธุ์ที่ได้จากการผสมข้ามพันธุ์ระหว่างพันธุ์ Williams กับพันธุ์ สจ.4 และได้มีการรับรองจากกรมวิชาการเกษตร ปี พ.ศ.2530 ซึ่งเป็นพันธุ์ที่มีลำต้นแข็งแรง จำนวนผักต่อต้นมาก เป็นพันธุ์ที่ให้ผลผลิตสม่ำเสมอทั้งฤดูแล้ง และฤดูฝน ทนทานต่อโรคราษฎร์ และต้านทานปานกลางต่อโรคใบดูดมน และโรครากค้าง กรมวิชาการเกษตรจึงพิจารณาให้เป็นพันธุ์รับรอง เมื่อวันที่ 30 กันยายน 2530 (เรียร้อยราษฎร์, 2541; ศูนย์วิจัยพืชไร่เชียงใหม่, 2560)

4. ภาคภูมิศาสตร์ RCPs แบบจำลองสถานการณ์การเปลี่ยนร้อนของแสงแดดและความร้อน (RF) ในระดับพื้นผิวโลก เรียกว่า Representative Concentration Pathways (RCPs) ซึ่งเกิดจากการปลดปล่อยก๊าซเรือนกระจกที่แตกต่างกันในแต่ละสถานการณ์ซึ่งเกิดจากฐานรูปแบบการพัฒนาเศรษฐกิจ การใช้เทคโนโลยี และการใช้พลังงาน ซึ่งส่งผลต่อการเพิ่มระดับอุณหภูมิที่แตกต่างกันไป RCPs สามารถแบ่งได้ 4 ระดับ ดังนี้ RCP 2.6, RCP 4.5, RCP 6.0 และ RCP 8.5 (Clarke et al., 2014)

5. เต้าหู้แข็ง

การแปรรูปจากถั่วเหลืองให้มาเป็นผลิตภัณฑ์เต้าหู้ ซึ่งวิธีการทำเต้าหู้นั้นจะนำเมล็ดถั่วเหลืองมาล้างด้วยน้ำให้สะอาด แล้วนำไปต้มประมาณ 5-6 ชั่วโมง จากนั้นนำถั่วเหลืองมาผสมกันแล้วบีบให้ลักษณะเดียบ และนำมากรองเอากาบของถั่วเหลืองออกจะได้เป็นน้ำเต้าหู้แล้วนำไปต้มไฟอ่อนๆ จากนั้นเติมสารที่ช่วยในการทำให้ตกละลาย เช่น กลุ่มซัลเฟต กลุ่มคลอไรด์ และนำตกละลายที่ได้มาใส่ลงในแบบพิมพ์ที่เตรียมไว้ ซึ่งรองด้วยผ้าขาวบางเพื่อทับน้ำออกให้ตกละลายแห้ง และสามารถจับตัวกันมีลักษณะเป็นแผ่นหรือก้อน ขั้นตอนสุดท้ายจะต้องเก็บรักษาไว้ที่อุณหภูมิไม่เกิน 10°C (สำนักงานมาตรฐานอุตสาหกรรม, 2546)

สมมติฐานของการวิจัย

การทดลองปลูกถั่วเหลืองพันธุ์เชียงใหม่ 60 ในระดับของอุณหภูมิที่เพิ่มสูงขึ้นโดยตามแนวโน้มการเพิ่มระดับอุณหภูมิจากการคาดการณ์ในอนาคตภายใต้ภาคภูมิศาสตร์ RCPs ที่ส่งผลกระทบเชิงลบต่อผลผลิต ปราศจากตะไคร้ในถั่วเหลือง และคุณสมบัติบางประการของผลิตภัณฑ์ถั่วเหลืองเพิ่มขึ้นตามแนวโน้มอุณหภูมิดังกล่าว

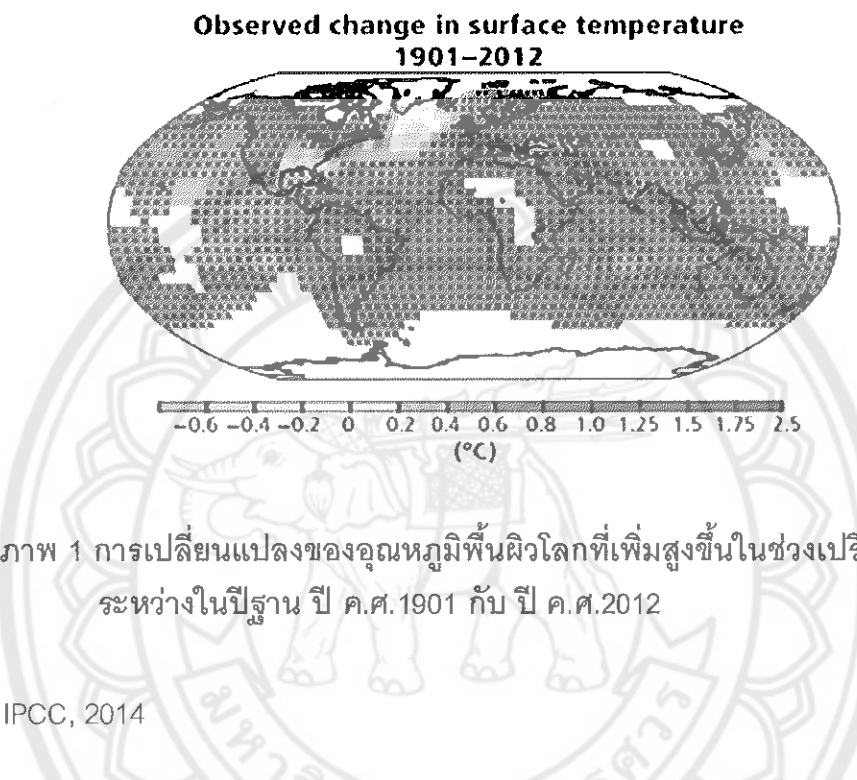
บทที่ 2

เอกสารและงานวิจัยที่เกี่ยวข้อง

การเปลี่ยนแปลงของสภาพภูมิอากาศและสภาพโลกร้อน

การเปลี่ยนแปลงสภาพภูมิอากาศหมายถึง การเปลี่ยนแปลงใดๆ ของภูมิอากาศ ที่เกิดจากกิจกรรมของมนุษย์ทั้งทางตรง และทางอ้อม โดยเฉพาะอย่างยิ่ง การปลดปล่อย ก๊าซเรือนกระจกที่สำคัญ เช่น ก๊าซคาร์บอนไดออกไซด์ (CO_2) ก๊าซมีเทน (CH_4) ก๊าซไนโตรสออกไซด์ (N_2O) ก๊าซไฮโดรฟลูออโรคาร์บอน (HFC) ก๊าซเพอร์ฟลูออโรคาร์บอน (PFC) และก๊าซชัลเฟอร์ เอกซ์ฟลูออไรด์ (SF₆) จากกิจกรรมการใช้พลังงาน เกษตรกรรม อุตสาหกรรม และอื่นๆ ที่ทำให้ องค์ประกอบของบรรยากาศเปลี่ยนแปลงไปที่สำคัญ คือ ระดับอุณหภูมิพื้นผิวโลกที่สูงขึ้น จนเกิดสภาพโลกร้อน นอกเหนือจากการเปลี่ยนแปลงของธรรมชาติในเวลาเดียวกันในช่วง ระยะเวลาต่อเนื่อง และรายงาน (UNFCCC, 2011; กรณิตา ธนาเจริญชณภास, 2558) สาเหตุที่ การปลดปล่อยก๊าซเรือนกระจกมีความสัมพันธ์โดยตรงกับสภาพโลกร้อน เนื่องจากก๊าซเรือน กระจกที่ตกค้างในบรรยากาศมีคุณสมบัติในการดูดกลืนรังสีอินฟราเรด ซึ่งเป็นรังสีคลื่นยาวที่แฝ ความร้อนออกมากได้ทั้งช่วงคลื่น (สะท้อนจากพื้นผิวโลกเป็นส่วนใหญ่) และเมื่อไม่เลกูลของ ก๊าซเรือนกระจกดูดกลืนรังสีอินฟราเรดระยะหนึ่งจนไม่เลกูลสั่นสะเทือน (พบว่าไม่เลกูลของ ก๊าซเรือนกระจกจะสั่นไหวได้โดยอุณหภูมิสูงจากรังสีอินฟราเรด) จะทำให้สะท้อนคลื่นรังสี อินฟราเรดทุกทิศทางกลับออกมากสู่บรรยากาศ ภาคพื้นดิน ภาคพื้นน้ำ รวมทั้งมหาสมุทรอีกด้วย จนอุณหภูมิในบรรยากาศ หรือระดับพื้นผิวโลกมีระดับความร้อน หรือที่เรียกว่าการแพร่งรังสี (RF : Radiative forcing) สะสมเพิ่มขึ้น (IPCC, 2007) ซึ่งในระยะเวลาหลายสิบปีที่ผ่านมาพบว่า ค่า RF ในภาพรวมของโลกอันเกิดจากกิจกรรมของมนุษย์เพิ่มขึ้นประมาณ 2.29 W.m^{-2} ในปี ค.ศ.2011 เมื่อเทียบกับปีฐาน ค.ศ. 1750 (IPCC, 2013) ซึ่งบ่งชี้ว่าการสะสมพลังงานความร้อนในบรรยากาศ เพิ่มขึ้น (พิรายุ หงษ์กำเนิด, 2554; กรณิตา ธนาเจริญชณภास, 2558; ยามาจิ ชิต్โศง และอัศมนี ลิมสกุล, 2557; IPCC, 2013) ปัจจุบันนี้กิจกรรมในชีวิตประจำวันของมนุษย์ทั้งทางตรง และทางอ้อมยังคงส่งผลให้ระดับอุณหภูมิเฉลี่ยของพื้นผิวโลกเพิ่มสูงขึ้น และส่งผลต่อ การเปลี่ยนแปลงภูมิอากาศอย่างต่อเนื่อง ตัวชี้วัดที่สำคัญ คือ ระดับอุณหภูมิเฉลี่ยพื้นผิวโลกเพิ่มขึ้น ราวน้ำแข็ง และพื้นที่น้ำแข็งปelon ลดลง ระดับน้ำทะเลสูงขึ้น เป็นต้น (กรณิตา ธนาเจริญชณภास, 2558) ขณะนี้มีรายงานจากการศึกษาการเปลี่ยนแปลงสภาพภูมิอากาศภาวะโลกร้อนระบุว่า

ระดับความร้อนพื้นผิวโลกเพิ่มขึ้นอย่างต่อเนื่องตั้งแต่ปี ค.ศ. 1850 (ภาพ 1) นอกจากนี้ค่าเฉลี่ยอุณหภูมิพื้นผิวโลกเพิ่มขึ้น 0.78°C ของช่วงปี ค.ศ. 1850-1900 และมีแนวโน้มที่อุณหภูมิก้าบ
ทั่วโลกจะสูงมากเมื่อเปรียบเทียบระหว่างปีฐาน ค.ศ. 1901 กับปี ค.ศ. 2012 (ภาพ 1) (IPCC, 2014)

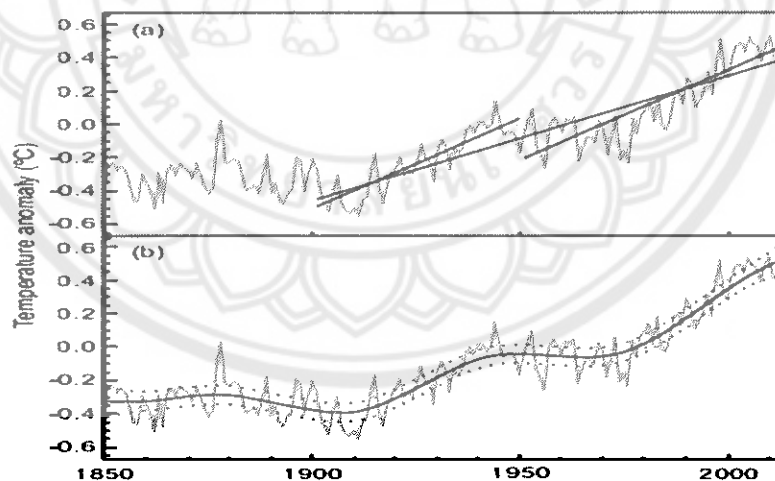


ภาพ 1 การเปลี่ยนแปลงของอุณหภูมิพื้นผิวโลกที่เพิ่มสูงขึ้นในช่วงเปรียบเทียบ
ระหว่างปีฐาน ปี ค.ศ. 1901 กับ ปี ค.ศ. 2012

ที่มา: IPCC, 2014

ประดีนปัญหาดังกล่าวข้างต้นได้เกิดขึ้นอย่างต่อเนื่องหลายทศวรรษโดยเฉพาะอย่างยิ่ง เมื่อโลกของเราได้เข้าสู่ยุคของการปฏิวัติอุตสาหกรรม มีการใช้เชื้อเพลิงฟอสซิลมากขึ้น มีการบุกรุก แผ่นดินป่าเพื่อทำเป็นพื้นที่อุตสาหกรรม พื้นที่การเกษตร พื้นที่เลี้ยงสัตว์ และที่อยู่อาศัย เศรษฐกิจ มีการเจริญเติบโตมีความก้าวหน้าทางเทคโนโลยี เพราะเนื่องมาจาก การเพิ่มขึ้นของจำนวนประชากรโลก ซึ่งเป็นสาเหตุหลักๆ ที่ทำให้เกิดความรุนแรงของการเปลี่ยนแปลงสภาพภูมิอากาศ เพิ่มมากขึ้น และในปี ค.ศ. 1986 ที่ผ่านมาพบว่าค่าเฉลี่ยของอุณหภูมิพื้นผิวโลกเพิ่มขึ้น อย่างต่อเนื่องจนมาถึงปัจจุบัน สงผลทำให้เกิดภัยพิบัติทางธรรมชาติ เช่น ไฟป่า ภัยแล้ง น้ำท่วม สภาพอากาศเปลี่ยนแปลงไป เป็นต้น นอกจากนี้การก่อตั้งโรงงานอุตสาหกรรมที่ไม่มีการจัดการ สิ่งแวดล้อมที่ดีส่งผลต่อการปลดปล่อยก๊าซเรือนกระจกยังคงสูงขึ้นอย่างต่อเนื่อง และทำให้ปัญหา สภาวะโลกร้อนนั้นยังคงเป็นปัญหาต่อไปทั้งปัจจุบัน และอนาคต ผลของการศึกษาของ IPCC (Intergovernmental Panel on Climate Change) ซึ่งเผยแพร่ในรายงานการประเมินสถานการณ์

สภาพภูมิอากาศฉบับที่ 5 (AR5: The Fifth Assessment Report) ซึ่งเป็นฉบับล่าสุดในปี ค.ศ.2013 (ฉบับก่อนหน้า คือ AR4: The Fourth Assessment Report ในปี ค.ศ.2007) 'ได้พัฒนาระบบแบบจำลองทางคณิตศาสตร์ให้มีความนำร่องมากขึ้นในการใช้เป็นเครื่องคาดการณ์ การเปลี่ยนแปลงสภาพภูมิอากาศ เนื้อหาที่สำคัญประการหนึ่ง คือ ได้มีการยืนยันเช่นเดิม เมื่อเทียบกับการรายงานครั้งที่ผ่านมาว่า กิจกรรมของมนุษย์ยังคงเป็นสาเหตุหลักที่ทำให้เกิดการเปลี่ยนแปลงสภาพภูมิอากาศส่งผลให้อุณหภูมิพื้นผิวโลกมีแนวโน้มเพิ่มสูงขึ้นในช่วงระยะเวลาเกือบ 100 ปีที่ผ่านมา (ภาพ 2) และจากการคาดการณ์ของหน่วยงาน IPCC ยังพบว่า ระดับอุณหภูมิบางช่วงในระยะเวลา 10 ปี เพิ่มขึ้นอย่างชัดเจนเมื่อเทียบกับค่าเฉลี่ยในระยะยาว (ภาพ 2) ซึ่งเป็นผลมาจากการที่มนุษย์มีกิจกรรมทางเศรษฐกิจและเทคโนโลยี และการเปลี่ยนแปลงสภาพภูมิอากาศ อย่างไรก็ตาม เมื่อพิจารณาในภาพรวมแล้วพบว่า ระดับอุณหภูมิที่เพิ่มขึ้นนี้ ส่งผลกระทบต่อการเปลี่ยนแปลงของระบบภูมิอากาศในหลายภาคส่วน ทั้งระบบภูมิอากาศพื้นดิน ระบบภูมิอากาศพื้นสมุทร ระบบภูมิอากาศน้ำจีด ระบบภูมิอากาศชายฝั่ง รวมทั้งระบบภูมิอากาศของมนุษย์ ทำให้เกิดความเปลี่ยนแปลงหรือความอ่อนแอกันทำให้เกิดความเสียหาย และมีความเสี่ยง หลากหลายประการเพิ่มขึ้นในอนาคตอีกด้วย'



ภาพ 2 ค่าเฉลี่ยของอุณหภูมิพื้นผิวโลกจากข้อมูลระหว่างปี ค.ศ.1961-1990

ที่มา: IPCC, 2013

IPCC (Intergovernmental Panel on Climate Change) เป็นหน่วยงานระหว่างรัฐบาลที่มีภารกิจด้านการเปลี่ยนแปลงสภาพภูมิอากาศโดยก่อตั้งขึ้นมาตั้งแต่ปี ค.ศ. 1988 โดยได้รับการสนับสนุนจากองค์การสหประชาชาติ (The United Nations: UN) และเป็นหน่วยงานที่มีความสำคัญระดับโลก และเป็นที่ยอมรับในระดับสากลโดยมีการอ้างอิงข้อมูลทางด้านวิชาการทั่วโลกในประเด็นเนื้อหาการเปลี่ยนแปลงสภาพภูมิอากาศของโลกที่ส่งผลกระทบต่อมนุษย์ ส่งผลกระทบต่อสิ่งแวดล้อมในหลายๆ ด้าน และส่งผลกระทบต่อด้านเศรษฐกิจสังคมโลก IPCC จะมีการเผยแพร่ข้อมูลออกมานิทุกรอบ 4-7 ปี โดยเรียกว่า IPCC Assessment Report (AR) ซึ่งในปัจจุบันได้มีการออกรายงานมาทั้งหมด 5 ฉบับแล้ว และรายงานล่าสุดซึ่งเผยแพร่ออกมานิปี ค.ศ. 2013-ค.ศ. 2014 ซึ่งในรายงานฉบับนี้ยังคงยืนยันว่ามนุษย์เป็นตัวการสำคัญที่ทำให้สภาพภูมิอากาศของโลกเปลี่ยนแปลงไปจนถึงขั้นวิกฤต (IPCC, 2013) โดยมีการทำนายโดยใช้ภาพฉายอนาคตที่เรียกว่า Representative Concentration Pathways (RCPs) ซึ่งจะสะท้อนให้เห็นว่าในอนาคตแต่ละประเทศจะมีการพัฒนาทางด้านเศรษฐกิจ สังคม และเทคโนโลยีใหม่ๆ ที่แตกต่างกันส่งผลต่อการปลดปล่อยก๊าซเรือนกระจกในระดับที่ต่างกัน และส่งผลต่อค่าแรง弗รังส์ (RF) ในแต่ละพื้นที่ต่างกันไปทำให้เกิดการเปลี่ยนแปลงของสภาพภูมิอากาศโลกภายในปี ค.ศ. 2100 ซึ่ง RCPs ได้ถูกแบ่งตามระดับค่าแรง弗รังส์ และระดับคุณภาพที่เพิ่มขึ้น รวมทั้งแนวโน้มการปลดปล่อยก๊าซเรือนกระจกจากฐานการพัฒนาประเทศในอนาคตเป็นตัวกำหนด คือ RCP 2.6, RCP 4.5, RCP 6.0 และ RCP 8.5 เมื่อเทียบกับปี ค.ศ. 2011 ดังนี้ (IPCC, 2013)

RCP 2.6: peak scenario เป็นภาพฉายอนาคตที่พัฒนามากจากที่มีวิจัย IMAGE modeling ของสถาบันทักษิณธรรมและแลนด์ เป็นการแสดงทางระดับการปลดปล่อยค่า Radiative forcing ที่ระดับ 2.6 W.m^{-2} ซึ่งเป็นตัวแทนภาพฉายอนาคตในรูปแบบของการปลดปล่อยก๊าซเรือนกระจกในความเข้มข้นระดับต่ำหรือถูกเรียกว่า peak scenario ค่า Radiative forcing เพิ่มขึ้นครั้งแรก และแตะระดับสูงสุดที่ 3.1 W.m^{-2} ภายในศตวรรษที่ 21 นี้จะลดลงกลับมาที่ระดับ 2.6 W.m^{-2} ภายในปี ค.ศ. 2100 ซึ่งหมายความว่าการเกิดขึ้นของสภาพอากาศที่เพิ่มขึ้นจะต้องมีการลดการปลดปล่อยก๊าซเรือนกระจก และมลสารในอากาศคืนๆ ที่จะส่งผลโดยตรงต่อการเกิดก๊าซเรือนกระจกอย่างยั่งยืน RCP 2.6 แสดงถึงภาพฉายอนาคตที่มีการลดการปลดปล่อยก๊าซเรือนกระจกอย่างได้ผล จนส่งผลทำให้ค่า Radiative forcing เพิ่มเพียง 2.6 W.m^{-2} ($2.3-2.9 \text{ W.m}^{-2}$) ในปี ค.ศ. 2100 โดยแสดงค่าความเข้มข้นของก๊าซ CO_2 ที่ระดับ 430-480 ppm และคุณภาพเพิ่มขึ้นเฉลี่ย 1.0°C ในช่วงพิสัย 0.3-1.7 (Detlef et al., 2007)

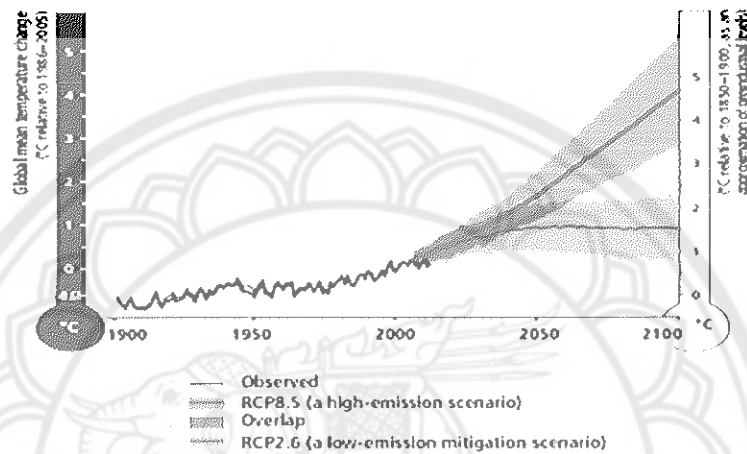
RCP 4.5: stabilization scenario ถูกพัฒนาโดย the MiniCAM modeling team at the Pacific Northwest National Laboratory's Joint Global Change Research Institute (JGCRI) เป็นภาพฉายอนาคตที่เรียกว่า stabilization scenario (ภาพฉายแบบเสถียร) เป็นสถานการณ์ที่รักษาระดับค่า Radiative forcing ให้มีความเสถียรก่อน ค.ศ.2100 โดยไม่เกินที่ระดับ 4.5 W.m^{-2} (ที่ระดับ $3.9-4.5 \text{ W.m}^{-2}$ / $4.5-5.1 \text{ W.m}^{-2}$) และค่าความเข้มข้นของก๊าซ CO_2 อยู่ที่ระดับ 580-650 ppm / 650-720 ppm เกิดจากการร่วมมือกันเพื่อกิจกรรม/นโยบาย และเทคโนโลยีที่นำไปสู่การลดการปลดปล่อยก๊าซเรือนกระจก และอุณหภูมิเพิ่มขึ้นเฉลี่ย 1.8°C ในช่วงพิสัย 1.1-2.6 (Clarke et al., 2007; Wise et al., 2009)

RCP 6.0 stabilization scenario ถูกพัฒนามาจาก AIM modeling team at the National Institute for Environmental Studies (NIES) ประเทศญี่ปุ่น เป็นภาพฉายอนาคตที่เรียกว่า (stabilization scenario) เช่นเดียวกับ RCP 4.5 แต่สภาวะระดับ Radiative forcing จะเสถียรหลังจากปี ค.ศ. 2100 โดยไม่เกินที่ระดับ 6.0 W.m^{-2} ($5.1-6.8 \text{ W.m}^{-2}$) และค่าความเข้มข้นของก๊าซ CO_2 อยู่ที่ระดับ 750-1,000 ppm ซึ่งสะท้อนการร่วมมือกันในด้านกิจกรรม/นโยบายหรือเทคโนโลยีเพื่อลดการปลดปล่อยก๊าซเรือนกระจก และอุณหภูมิเพิ่มขึ้นเฉลี่ย 2.2°C ในช่วงพิสัย 1.4-3.1 $^\circ\text{C}$ (Fujino et al., 2006; Hijioka et al., 2008; Masui et al., 2011)

RCP 8.5 ถูกพัฒนาโดย the MESSAGE modeling team and the IIASA Integrated Assessment Framework at the International Institute for Applied Systems Analysis (IIASA), Austria เป็นภาพฉายในรูปแบบสภาวะที่มีการเพิ่มระดับการปลดปล่อยก๊าซเรือนกระจกในระยะยาวอย่างต่อเนื่อง ซึ่งทำให้มีระดับก๊าซเรือนกระจกอยู่ในระดับสูง เป็นภาพสะท้อนการพัฒนาประเทศ และการพัฒนาเศรษฐกิจในระดับสูงมาก จนทำให้ค่าแรงแปรร้งตัว Radiative forcing เพิ่มขึ้นเป็น 8.5 W.m^{-2} หรือมากกว่า 6.8 W.m^{-2} ขึ้นไป และความเข้มข้นของก๊าซ CO_2 อยู่ที่ระดับมากกว่า 1,000 ppm และอุณหภูมิเพิ่มขึ้นเฉลี่ย 3.7°C ในช่วงพิสัย $2.6-4.8^\circ\text{C}$ (Riahi et al., 2007)

ในภาพ 3 แสดงการคาดการณ์ระดับอุณหภูมิ ซึ่งเปรียบเทียบระหว่างการปลดปล่อยก๊าซเรือนกระจกภายใต้สถานการณ์ RCP 2.6 และ RCP 8.0 จากภาพดังกล่าวแสดงให้เห็นว่า เมื่อเปรียบเทียบการเปลี่ยนแปลงระดับอุณหภูมิจากปีฐานในช่วงปลายศตวรรษที่ 20 ไปจนถึงศิ้นศตวรรษที่ 21 เมื่อประเทศที่มีเทคโนโลยีลดการปลดปล่อยก๊าซเรือนกระจก หรือมีการใช้เทคโนโลยีที่สะอาด ส่งผลให้อุณหภูมิเพิ่มขึ้นไม่เกิน 2°C และเมื่อเปรียบเทียบกับภาพฉายอนาคตของ RCP 8.0 แสดงถึงประเทศที่มีการพัฒนาทางด้านเศรษฐกิจ อุตสาหกรรม และเทคโนโลยีขั้นสูงแต่ไม่เน้น

การใช้พลังงานทดแทนจากฟอสซิลจึงส่งผลให้มีการปล่อยก๊าซเรือนกระจกออกอุกกาภานในปริมาณสูง ทำให้อุณหภูมิเพิ่มขึ้นเกือบ 4°C ปัจจุบันมีหน่วยงานที่เกี่ยวข้องนักวิชาการ นักวิจัย รวมทั้งหน่วยงาน IPCC ได้ประยุกต์ใช้ภาพฉายอนาคต RCPs เพื่อคาดการณ์ผลกระทบต่อระบบโลกร้อน ผลผลิตทางการเกษตร หรือแนวโน้มระดับอุณหภูมิที่จะเกิดขึ้นในพื้นที่ต่างๆ



ภาพ 3 ระดับแนวโน้มของอุณหภูมิที่เพิ่มสูงขึ้นภายใต้ภาพฉายอนาคต RCP 2.6 และ RCP 8.0 ในช่วงปี ค.ศ.2000-ค.ศ.2100

ที่มา: IPCC, 2014

ถั่วเหลือง (Soybean)

1. ข้อมูลทั่วไปของถั่วเหลือง

ถั่วเหลือง (*Glycine max* (L.) Merrill) เป็นพืชตระกูลถั่วที่จัดว่าเป็นพืชเศรษฐกิจที่สำคัญของโลกตามถึงประเทศไทยด้วยโดยเฉพาะอย่างยิ่ง ในพื้นที่เขตตอบคุณ และพื้นที่เขตร้อนนิยมปลูกกันอย่างแพร่หลายในหลายประเทศ เนื่องจากว่าถั่วเหลืองเป็นถั่วพืชที่เมล็ดสามารถนำมารับประทานได้ และเป็นพืชที่มีปริมาณโปรตีน และปริมาณน้ำมันในเมล็ดค่อนข้างสูง ปริมาณผลผลิตของถั่วเหลืองอยู่ที่ประมาณ 88 ล้านตัน และอยู่ในอันดับที่ 5 ของโลก ซึ่งนิยมปลูกมากกว่าพืชตระกูลถั่วนิดเดียว นอกจากนี้ยังสามารถนำมาแปรรูปให้เป็นผลิตภัณฑ์ที่เป็นประโยชน์ในเชิงของโภชนาการ หรือนำมาแปรรูปเป็นอาหารเลี้ยงสัตว์ ประเทศที่นิยมแปรรูปผลิตภัณฑ์จากถั่วเหลือง และนิยมบริโภคจะอยู่ในแบบเอเชีย ได้แก่ ไทย จีน ไต้หวัน อินเดีย อินโดนีเซีย

และถือเป็น ดังนั้นพืชตระกูลถั่วเหลืองจึงรับได้กว่าเป็นพืชทางเศรษฐกิจของโลก และในอนาคต ข้างหน้าประชารถของโลกจะเพิ่มขึ้นมากกว่า 3,000 ล้านคน ทั้งนี้จึงจำเป็นที่จะต้องเพิ่มปริมาณ อาหารให้เพียงพอ กับจำนวนประชากรที่เพิ่มขึ้น โปรดีนก็เป็นสารอาหารที่จำเป็นของมนุษย์ที่ควร จะได้รับ แต่ในปัจจุบันมีพื้นที่ในการปลูกถั่วเหลืองน้อยลง ส่งผลให้หัวใจความคิดเห็นผลผลิต ของถั่วเหลือง รวมไปถึงประเทศไทยได้รับผลกระทบเช่นกัน (อภิพรวณ พุกภักดี, 2546)

ถั่วเหลืองนิยมปลูกกันในหลายพื้นที่ของโลก (ตาราง 1) และรวมทั้งโลกนั้นพื้นที่ที่มี การเก็บเกี่ยวมากที่สุด คือ ปี พ.ศ.2557 มีพื้นที่ทั้งหมด 735 ล้านไร่ ส่งผลให้มีผลผลิตมากถึง 308 ล้านตัน และผลผลิตต่อไร่ 419 กิโลกรัม แสดงให้เห็นว่าผลผลิต และพื้นที่เก็บเกี่ยวเพิ่มขึ้น ในทุกปี ตั้งแต่ปี พ.ศ.2555 สาเหตุนี้แสดงให้เห็นว่าทั่วโลกมีจำนวนประชากรเพิ่มขึ้นอย่างต่อเนื่อง นอกจากนี้ถั่วเหลืองยังเป็นพืชที่สำคัญมีสารอาหารที่จำเป็นต่อร่างกาย ดังนั้นในอนาคตอาจทำให้ เกษตรกรหันมาปลูกถั่วเหลืองมากขึ้น ทั้งนี้บ่งชี้ได้ว่าประเทศไทยรู้สึกว่ามีการปลูกถั่วเหลือง มากที่สุด รองลงมา คือ ประเทศไทยซึ่งมาจากมีการเพิ่มจำนวนของประชากร ส่วนประเทศไทย นั้นมีพื้นที่ปลูกถั่วเหลืองน้อยที่สุด เมื่อเปรียบเทียบกับประเทศไทยรู้สึกเมริกาในปี พ.ศ.2555-2557 อย่างไรก็ตาม เมื่อเปรียบเทียบพื้นที่เพาะปลูกภายในประเทศไทยพบว่าภาคเหนือเป็นพื้นที่ที่นิยม ปลูกถั่วเหลืองมากที่สุด (ตาราง 2) และรองลงมา คือ ภาคตะวันออกเฉียงเหนือ (สำนักงาน เศรษฐกิจการเกษตร, 2558)

ตาราง 1 พื้นที่เก็บภาษีอากร ผลผลิต และผู้ผลิตต่อไร่ ของประเทศไทย 10 อันดับแรก [1] 2555-2557

ประเภท	พื้นที่เก็บภาษีอากร (1,000 ไร่)			ผลผลิต (1,000 ตัน)			ผลผลิตต่อไร่ (กิโลกรัม)
	2555	2556	2557	2555	2556	2557	
ชวัญชลี	658,849	697,886	735,928	241,580	278,092	308,439	367
สหัสขามรีغا	192,868	192,868	210,087	82,791	91,389	108,014	430
ปราจีนบุรี	156,095	174,417	189,211	65,849	81,724	86,761	422
อ่างทอง	109,858	121,368	120,328	40,100	49,306	53,398	365
สุโขทัย	44,820	42,444	42,067	13,011	11,951	12,201	290
ปราจีนบุรี	67,750	76,250	68,175	14,666	11,948	10,528	216
ปราจีนบุรี	18,250	19,250	21,875	4,345	9,086	9,975	238
แม่嫁ดา	10,494	11,626	13,969	5,086	5,359	6,049	485
ญี่ปุ่น	8,828	8,444	11,206	2,410	2,774	3,882	273
ปัตตานี	8,080	8,299	8,492	2,662	2,968	3,275	329
ยะลา	5,523	6,563	8,259	2,112	2,765	3,163	382
สงขลา	243	193	219	64	53	58	261
เชียงใหม่	36,248	36,164	42,072	8,237	8,629	11,006	227
							274
							239
							262

ที่มา: สำนักงานศรćeสธ. กองการเกษตรฯ, 2558

ตาราง 2 พื้นที่ ผลผลิต และผลผลิตต่อไร่ เนินราษฎร์ 2557-2558

ภาค/จังหวัด	พื้นที่เพาะปลูก (ไร่)	พื้นที่เก็บเกี่ยว (ไร่)	ผลผลิต (ตัน)	ผลผลิตต่อไร่ (ก.g.)
รวมทั้งประเทศ	2557	2558	2557	2558
เหนือ	237,021	217,171	219,174	213,969
ตะวันออกเฉียงเหนือ	173,907	155,276	156,640	152,832
กลาง	63,114	61,895	62,534	61,137
	0	0	0	0

ที่มา: สำนักงานศรีสะเกษวิชาการเกษตร, 2558

2. อนุกรมวิธาน ถั่วเหลืองเป็นพืชล้มลุกใบเดี่ยงคู่ จัดอยู่ใน Family Fabaceae ชื่อวิทยาศาสตร์คือ *Glycine max (L.) Merrill* สามารถจัดจำแนกตามลำดับชั้นของอนุกรมวิธาน (taxonomic rank) ได้ดังนี้

ตาราง 3 อนุกรมวิธานของถั่วเหลืองจำแนกตามพฤติศาสตร์

Kingdom	Plantae
Division	Spermatophyta
Class	Dicotyledoneae
Order	Polypetalaee
Family	Fabaceae
Genus	Glycine
Species	<i>Glycine max</i>

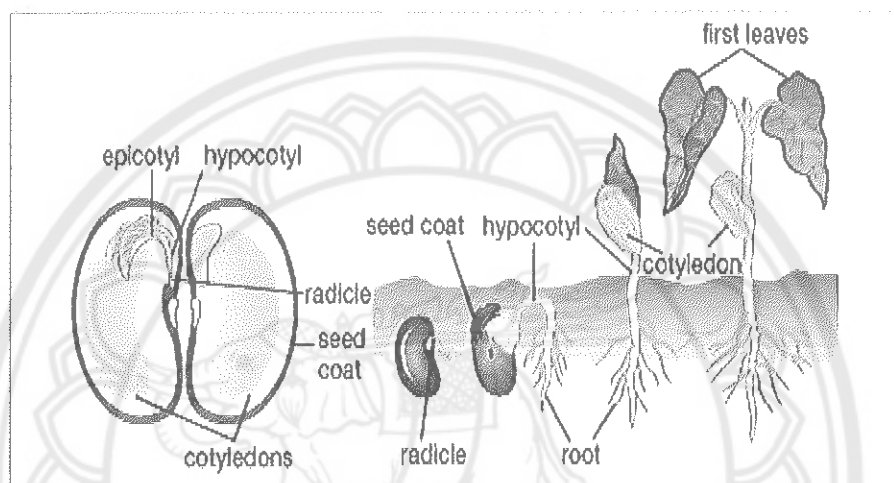
ที่มา: อภิพราณ พุกภักดี, 2546

3. ลักษณะทางพฤกษศาสตร์ของถั่วเหลือง

3.1 ราก เป็นระบบรากแก้ว (tap root system) สามารถหยับลึกลงไปในดินได้ถึง 150 เซนติเมตร รากส่วนใหญ่พบราก อยู่ลึกลงไปในดินประมาณ 60 เซนติเมตร จากผิดตัวและในส่วนของรากแขนงที่แตกออกจากรากแก้วนั้นสามารถเจริญเติบโตในแนวขันนากับผิดตัวได้ถึง 150 เซนติเมตร ห่างออกจากลำต้น และรากยังทำหน้าที่ดูดซับธาตุอาหาร น้ำ และสามารถสร้างปมของเชื้อไธโอลิปอย (Rhizobium spp.) เมื่อเจริญเติบโตเต็มที่รากแขนง และรากแก้วจะมีลักษณะที่คล้ายคลึงกันนอกจานี้รากจะหยุดการเจริญเติบโตในช่วงการเจริญพันธุ์ (reproductive growth) หรือในช่วงที่เมล็ดเริ่มสะสมอาหาร

3.2 ลำต้น มีลักษณะตั้งตรงเป็นพุ่มสูงประมาณ 50-150 เซนติเมตร และแตกแขนงจำนวนมาก ส่วนของลำต้นประกอบด้วย ใบเดี่ยง (cotyledon) ส่วนที่อยู่ใต้ใบเดี่ยง (hypocotyl) ส่วนที่อยู่เหนือใบเดี่ยง (epicotyl) และมีขนอ่อน (trichome หรือ hair) ปกคลุมทั่วไป ยกเว้นใบเดี่ยง และกลีบดอก (ภาพ4) การเจริญเติบโตแบ่งเป็น 2 ประเภท คือ การเจริญเติบโตแบบทอตยอด (Indeterminate type) และการเจริญเติบโตแบบไม่ทอตยอด (Determinate type)

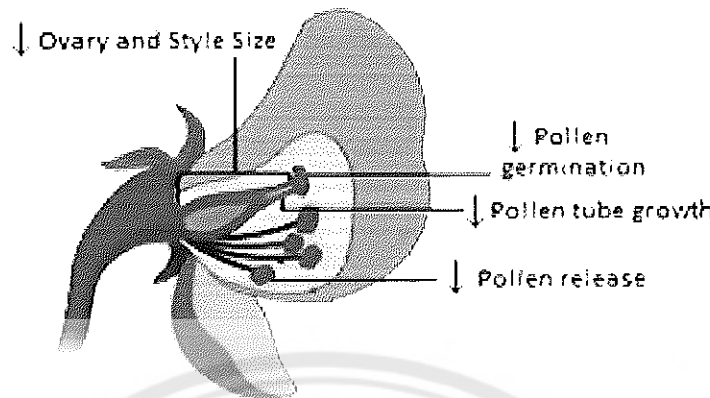
3.3 ใบ ระยะต้นอ่อนจะมีใบเลี้ยงที่ผลขึ้นมาเหนือพื้นดินเพื่อใช้ในการสั่งเคราะห์แสง และเจริญเติบโตไปเป็นใบจริง ต่อมาจะกลายเป็นใบประกอบ 3 ใบย่อย (trifoliage compound leaves) คือ มีใบย่อยด้านปลาย 1 ใบ ในย่อยด้านซ้ายด้านขวา 2 ใบ ลักษณะของใบเป็นรูปไข่ ส่วนที่โคนของก้านใบประกอบจะมีหูใบ 2 อัน และส่วนที่โคนของก้านใบย่อยมีหูใบย่อย 1 อัน ผิวใบมีขนสั้นๆตามปกคลุมอยู่ทั่วไป (ภาพ 4)



ภาพ 4 การเจริญเติบโตของตัวเหลือง

ที่มา: John Heslop-Harrison, 2017

3.4 ดอก เกิดเป็นช่อกลีบดอกมีสีขาว หรือสีขาว "ไม่มีขีน" เมื่อดอกบานเต็มที่จะมีขนาดประมาณ 3-8 เซนติเมตร ส่วนประกอบของดอกจะมีกลีบเลี้ยง (Calyx) 5 กลีบ กลีบดอก (Corolla) 5 กลีบ โดยมีกลีบดอกทางด้านบน 1 กลีบ มีขนาดใหญ่และแฟ่อออก เรียกว่า standard (ภาพ 5) กลีบดอก 2 กลีบทางด้านซ้าย แผ่ออกคล้ายปีกเรียกว่า wing และกลีบดอก 2 กลีบทางด้านล่าง เซื่อมติดกันเรียกว่า keels ห้อหุ้มเกรสรักษาสองเพศไว้ เกรสรเพศผู้ (Stamen) จำนวน 10 อัน และเกรสรเพศเมีย (Pistil) จำนวน 1 อัน ภายในมีอุจล (ovule) เรียกเป็นแควเดียวทางด้านซ้าย (marginal placentation)



ภาพ 5 ดอกของถั่วเหลือง

ที่มา: Annie et al., 2019

3.5 ฝักและเมล็ด เป็นฝักอ่อนมีลักษณะเป็นสีเขียวเมื่อฝักแก่จะมีลักษณะฝักเป็นสีน้ำตาลหรือดำ เมล็ดจะมีรูปร่างกลมรียาวประมาณ 2-7 เซนติเมตร ในฝักหนึ่งจะมีเมล็ด 1-5 เมล็ด ขนาดและน้ำหนักของเมล็ดมักจะไม่เท่ากันขึ้นอยู่กับพันธุ์ของถั่วเหลืองที่แตกต่างกัน (อภิพรรณ พุกภักดี, 2546; สำนักงานเกษตรและสหกรณ์จังหวัดสุโขทัย, 2560)

4. การเจริญเติบโตทางต้นของถั่วเหลือง มีการเจริญเติบโตอยู่ 2 แบบ ดังนี้

4.1 การเจริญเติบโตแบบทอดยอด (Indeterminate) เป็นการเจริญเติบโตของลำต้นที่ไม่สิ้นสุดในขณะถั่วเหลืองเริ่มเข้าสู่ระยะออกดอก และในขณะที่ถั่วเหลืองเริ่มออกดอกไปจนถึงระยะสิ้นสุดการออกดอก การเจริญเติบโตของลำต้นจะสิ้นสุดลงทันที ซึ่งสามารถสังเกตได้ดังนี้

4.1.1 การออกดอกของถั่วเหลืองในต้นเดียวกันมักจะออกดอกไม่พร้อมกันโดยดอกแรกจะบานตั้งแต่ข้อล่างๆ และทยอยบานขึ้นตามบน ในขณะที่ลำต้นมีการเจริญเติบโตและสร้างใบเพิ่มขึ้น

4.1.2 เมื่อดอกของถั่วเหลืองบานไปจนถึงยอดต้นบนของลำต้น การเจริญเติบโตทางลำต้นของถั่วเหลืองจะเริ่มหยุดการเจริญเติบโต ถือว่าเป็นการสิ้นสุดการเจริญเติบโตทางลำต้นทันที

4.1.3 เมื่อดอกของต้นถั่วเหลืองบานไม่พร้อมกันการเจริญเติบโตของฝักและเมล็ดก็จะสูง และแก่ไม่พร้อมกัน

4.2 การเจริญเติบโตแบบไม่ทodore (Determinate) เป็นการเจริญเติบโตของลำต้นที่สิ้นสุดลงในขณะที่ถ้าเหลืองเริ่มเข้าสู่ระยะออกดอกออก และหลังจากที่ถ้าเหลืองเริ่มออกดอกแล้วพืชจะมีการเจริญพันธุ์ทันที เช่น การสร้างเม็ดซึ่งสามารถสังเกตได้ดังนี้

4.2.1 ถ้าเหลืองจะออกดอกพร้อมกันทั้งต้นจนพัฒนาเป็นช่อใหญ่ ระยะการออกดอกจะใช้เวลา 1-2 วัน ถ้าเหลืองก็จะออกดอกพร้อมกันทั้งต้น

4.2.2 ผลผลิตที่สูงแก่เต็มที่ในเวลาที่พร้อมกันจะส่งผลให้สะเด็กในการเก็บเกี่ยว

5. ระยะการเจริญเติบโตของถ้าเหลือง แบ่งได้ 2 ระยะ ดังนี้

5.1 ระยะการเจริญเติบโตทางลำต้น (Vegetative stages) เริ่มนับตั้งแต่วัยที่พืชผลพันธุ์ (VE) และระยะใบเลี้ยง (VC) ในระยะการเจริญเติบโตจะถูกกำหนดโดยข้อ (node) ซึ่งจะเริ่มจากที่ระยะ V₁ ถึงระยะ V_(n) ซึ่งระยะการเจริญเติบโตทางลำต้นได้แสดงไว้ในตาราง 4 ดังนี้

ตาราง 4 ระยะการเจริญเติบโตของ V-stage ในถ้าเหลือง

Growth stage	ระยะการเจริญเติบโต	รายละเอียด
VE	ระยะผลพันธุ์ (emergence)	ใบเลี้ยงพึ่งโผล่และอยู่เหนือผิวดิน
VC	ระยะใบเลี้ยง (cotyledon)	ใบประกอบเริ่มคลี่กางและขอบใบประกอบไม่แตกกัน
V ₁	ระยะข้อที่ 1 (first node)	ใบประกอบที่กางเต็มที่ในข้อที่ 1
V ₂	ระยะข้อที่ 2 (second node)	ใบจริงที่ 1 (1 st trifoliolate leaf) คลี่กางออกในข้อที่ 2
V ₃	ระยะข้อที่ 3 (third node)	ต้นถ้าเหลืองมีข้อ 3 ข้อ แล้วบานลำต้นและในข้อที่ 3 จะมีใบจริงที่ 2 คลี่กางออก
V _(n)	ระยะข้อที่ (n) (n-node)	(n) เท่ากับลำดับข้อบนลำต้นที่มีใบจริงคลี่กางออกเต็มที่

ที่มา: Fehr and Caviness, 1977

5.2 ระยะการเจริญพันธุ์ (Reproductive stage) เริ่มนับตั้งแต่ถ้าเหลืองเข้าสู่ระยะออกดอก ออกผึ้ก เมล็ดเริ่มมีการพัฒนาไปจนถึงเมล็ดสุกแก่ และในระยะการเจริญเติบโตนี้จะถูกกำหนดด้วยตัวย่อ R แล้วตามตัวเลข 1, 2, 3, (n) ซึ่งระยะการเจริญเติบโตทางลำต้นได้แสดงไว้ในตาราง 5 ดังนี้

ตาราง 5 ระยะการเจริญเติบโตของ R-stage

Growth stage	ระยะการเจริญเติบโต	รายละเอียด
R ₁	เริ่มออกดอก (beginning bloom)	มีดอกบานหนึ่งดอกบนข้อใดๆ ก็ตาม บนลำต้น
R ₂	ออกดอกเต็มที่ (full bloom)	มีดอกบานที่ข้อใดข้อหนึ่งบนข้อบนสุด สองข้อที่มีใบคลื่นกางเต็มที่
R ₃	เริ่มติดผึ้ก (beginning pod)	ฝักยาวขนาด 5.0 มม. ปรากวีขึ้นที่ข้อใดข้อหนึ่งบนข้อบนสุด 4 ข้อ
R ₄	ติดผึ้กเต็มที่ (full pod)	ฝักยาวขนาด 2.0 ซม. ปรากวีขึ้นที่ข้อใดข้อหนึ่งบนข้อบนสุด 4 ข้อ
R ₅	เริ่มติดเมล็ด (beginning seed)	เมล็ดยาวขนาด 3.0 มม. ในผึ้กที่ติดอยู่ในข้อใดข้อหนึ่งบนข้อบนสุด 4 ข้อ
R ₆	เมล็ดพัฒนาเต็มที่ (full seed)	ผึ้กซึ่งมีเมล็ดสีเขียวเจริญเติบโตจนเต็ม ซ่องว่างของฝักปรากวีให้เห็นในข้อใดข้อหนึ่ง 4 ข้อบนสุดของลำต้น
R ₇	เริ่มสุกแก่ (beginning maturity)	ฝักได้ผึ้กหนึ่งเริ่มเป็นสีน้ำตาล หรือ น้ำตาลใหม่
R ₈	สุกแก่เต็มที่ (full maturity)	95% ของฝักเปลี่ยนสีเป็นสีน้ำตาล หรือ น้ำตาลใหม่

ที่มา: Fehr and Caviness, 1977

6. ถั่วเหลืองพันธุ์เชียงใหม่ 60 "ได้มีการรับรองจากกรมวิชาการเกษตรในปี พ.ศ. 2530 แล้วว่าลักษณะของลำต้นแข็งแรง มีการเจริญเติบโตแบบไม่ทอโดยออด ดอกเป็นสีขาว เมล็ดมีผิวมัน สีเหลือง และลักษณะของตาเป็นสีน้ำตาล ให้ผลผลิตค่อนข้างสูงประมาณ 246 กิโลกรัม/ไร่ เมล็ดมีปริมาณน้ำมันถึง 20 % และปริมาณโปรตีน 43.8 % ทนต่อโรคราสนิม และใบอุดมนุน สามารถปรับตัวเข้ากับสภาพแวดล้อมได้เร็วจึงส่งผลให้ปลูกได้ทั้งฤดูแล้ง และฤดูฝน ทั้งนี้ต้องระวัง ในการปลูกในเดือนที่ค่อนข้างแห้ง เนื่องจากถ้าข้าวแล้วเมล็ดจะไม่งอกและเน่า สามารถเก็บเกี่ยว ได้ใน 3 เดือน หรือ 90 วัน นอกจากนี้ยังนิยมปลูกนิยมปลูกเป็นอันดับต้นๆ ของชาวเกษตรกร ภาคเหนือ (เมียรชัย อารยะกุร, 2541; วิศวาน ปานพร, 2557; ศุภยิริยาพิชัยเรืองใหม่, 2560)

7. องค์ประกอบเกี่ยวกับโภชนาการของถั่วเหลือง เมล็ดถั่วเหลืองมีปริมาณน้ำมัน และโปรตีนเป็นองค์ประกอบที่สำคัญ โดยทั่วไปถั่วเหลืองจะให้ผลผลิตที่สูง มีปริมาณโปรตีน ในเมล็ดประมาณ 40-42 % และมีปริมาณของน้ำมันประมาณ 20-22 % เมื่อนำมาเบรเยบเทียบกับ น้ำหนักแห้ง นอกจากนี้โปรตีนในถั่วเหลืองยังมีน้ำมันที่ค่อนข้างสูง (ตาราง 6) จะเห็นได้ว่าการนำพืชถั่วเหลืองมาเป็น ต่อร่างกายของมนุษย์ในปริมาณที่ค่อนข้างสูง (ตาราง 6) จะเห็นได้ว่าการนำพืชถั่วเหลืองมาเป็น ส่วนประกอบในการทำอาหารจะทำให้มนุษย์ได้รับโปรตีนที่สมบูรณ์ และได้รับสารอาหารที่เพียงพอ ต่อร่างกาย ตามเกณฑ์มาตรฐานขององค์กรอาหารและเกษตรแห่งสหประชาชาติ นอกจากนี้ ในถั่วเหลืองยังมีน้ำมันในปริมาณที่สูง ซึ่งประกอบด้วยกรดไขมันชนิดไม่อิ่มตัว และเป็นกรดไขมัน ที่เป็นประโยชน์ หรือจำเป็นต่อร่างกาย (essential fatty acid) ได้แก่ กรดลิโนเลอิก (linoleic acid) ที่มีกรดไขมันโอมก้า 3 และกรดลิโนเลนิกที่เป็นกรดไขมันโอมก้า 6 ในปริมาณสูง ซึ่งกรดไขมัน เหล่านี้เป็นสิ่งที่จำเป็นต่อการสร้างเสริม และการเจริญเติบโตของเด็กทารก และเด็กในช่วง อายุที่เจริญเติบโต ดังนั้นจึงเป็นน้ำมันที่ดี และมีประโยชน์ต่อสุขภาพ (อภิพรวน พุกภักดี, 2546)

ถั่วเหลืองเป็นพืชที่มีคุณค่าทางโภชนาการค่อนข้างสูง มีสารอาหารที่เป็นประโยชน์ ต่อร่างกายมากน้อย เช่น โปรตีน ไขมัน วิตามิน แร่ธาตุ คาร์บอไฮเดรตต่างๆ และเมื่อบริโภคเทียบกับ ถั่วชนิดอื่นๆ ก็ถือได้ว่าถั่วเหลืองมีคุณค่าทางสารอาหารมากกว่าถั่วชนิดอื่น ปริมาณของโปรตีน อาจจะมีน้อยกว่าโปรตีนในเนื้อสัตว์ถึงแม่กระจาดจะมีกรดอะมิโนที่จำเป็นครบ 8 ชนิด แต่ก็มีในปริมาณ ที่น้อยไม่เพียงพอต่อความต้องการของร่างกายมนุษย์ เพราะร่างกายนั้นจะต้องใช้โปรตีน ในกระบวนการย่อย และดูดซึม ขณะนั้นมนุษย์จึงต้องหาพืชชนิดอื่นๆ มารับประทานเสริมไปด้วย เช่น ข้าวสาลี ข้าวโพด เป็นต้น (สุมาลี ทองแก้ว, 2541)

ตาราง 6 กรดอะมิโนต่างๆ ในเมล็ดถั่วเหลือง แบ่งถั่วเหลือง อาหารข้น และส่วนที่แยกเป็นอิสระ เมื่อเทียบกับปริมาณที่องค์กรอาหารและเกษตรแห่งสหประชาชาติ (FAO) กำหนดเป็นมาตรฐานของอาหารที่มีคุณภาพดี

กรดอะมิโน	ถั่วเหลือง					แยก ออกเป็น อิสระ (g/100g)
	มาตรฐาน (g/100g)	FAO	เมล็ด	แบ่ง	อาหารข้น	
		(g/100g)	(g/100g)	(g/100g)	(g/100g)	
Cystine	4.2	1.3	1.6	1.6	1.6	1.3
Isoleusine	4.2	4.5	4.7	4.8	4.8	4.9
Leusine	4.8	7.8	7.9	7.8	7.8	7.8
Lysine	4.2	6.4	6.3	6.3	6.3	6.4
Methionine	2.2	1.3	1.4	1.4	1.4	1.3
Phenylalanine	2.8	4.9	5.3	5.2	5.2	5.4
Theonine	2.8	3.9	3.9	4.2	4.2	3.6
Tryptophan	1.4	1.3	1.3	1.5	1.5	1.4
Tyrosine	2.8	3.1	3.8	3.9	3.9	4.3
Valine	4.2	4.8	5.1	4.9	4.9	4.7

ที่มา: Weingartner, 1987

โปรตีนและกรดอะมิโน

1. โปรตีน เป็นสารอินทรีย์ซึ่งเป็นโพลิเมอร์ และสามารถให้พลังงานได้โดยโปรตีน 1 กรัม จะให้พลังงานทั้งหมด 4 แคลอรี่ โปรตีนเป็นส่วนประกอบพื้นฐานที่สำคัญอีกประการหนึ่ง ของร่างกาย และเซลล์สิ่งมีชีวิต เช่น เอนไซม์ ฮอร์โมน ภูมิคุ้มกันโรค เซลล์เม็ดเลือดแดง และเซลล์เม็ดเลือดขาว ซึ่งในร่างกายของคนเรา นั้นจะมีโปรตีนที่เป็นส่วนประกอบในร่างกาย ประมาณ 19 % ของน้ำหนักตัว โปรตีนมีหน้าที่ช่วยซ่อมแซมส่วนที่สึกหรอของร่างกาย และช่วยให้อวัยวะต่างๆ ทำงานเป็นปกติ สำหรับแหล่งโปรตีนที่สำคัญหลักๆ จะมาจากเนื้อสัตว์ต่างๆ และจากพืชตระกูลถั่วต่างๆ เช่น ถั่วเหลืองถือได้ว่าเป็นแหล่งโปรตีนที่สำคัญจากพืชอีกชนิดหนึ่ง

และมีความสำคัญทางด้านอาหาร รวมทั้งเป็นพืชเศรษฐกิจที่สำคัญของโลก เมื่อรับประทานอาหาร ประเภทโปรตีนเข้าไปร่างกายจะย่อยสลายโปรตีนให้กล้ายเป็นกรดอะมิโนที่เป็นหน่วยย่อย ที่เล็กที่สุดเพื่อไปเลี้ยงส่วนต่างๆ ของร่างกาย นอกจากนี้โปรตีนยังเป็นสารประกอบพื้นฐานที่สำคัญ ของวิตามินอีกด้วย โปรตีนมีโครงสร้างทางเคมีไม่แตกต่างกันที่มีกรดอะมิโนเข้มต่อ กันด้วยพันธะ เพปไทด์ และสายพอลิเพปไทด์ 1 สาย จะมีโครงสร้างทั้งหมด 4 ระดับ ได้แก่

1.1 โครงสร้างปฐมภูมิ (Primary structure) เป็นโครงสร้างพื้นฐานของการสร้าง โปรตีนที่เกิดจากจำนวนของกรดอะมิโนหลายๆ ชนิดเท็อมต่อกันด้วยพันธะเพปไทด์แล้วได้สายพอลิ เพปไทด์ 1 สาย โดยปลายอีกข้างหนึ่งเป็น amino end และปลายอีกข้างหนึ่งเป็น carboxyl end (ภาพ 6)

1.2 โครงสร้างทุติยภูมิ (Secondary structure) เป็นโครงสร้างที่เกิดจากการลดอะมิโน ที่อยู่ในสายพอลิเพปไทด์เดียวกันทำปฏิกิริยา กันด้วยพันธะไฮโดรเจน จนทำให้เกิดโครงสร้าง สามมิติของโปรตีนขึ้น แบ่งออกเป็น 2 แบบ ดังนี้

1.2.1 แบบเกลียวอัลฟ่า (alpha helix) มีลักษณะเป็นเกลียวยาวเหมือนสปริง จะเกิดจากการบิดของสายพอลิเพปไทด์หลายแบบ ซึ่งในหนึ่งรอบเกลียวจะมีกรดอะมิโนมากถึง 3.6 ตัว และเกลียวอัลฟานี้ยังเป็นโครงสร้างพื้นฐานของโปรตีนแบบเส้นใย (fibrous protein) และโปรตีนแบบก้อนกลม (globular protein)

1.2.2 แบบเบต้าชีส (beta sheets) หรือแบบ sheet ซึ่งมีลักษณะเป็นแผ่น ที่สายพอลิเพปไทด์บิดหันขอกันไม่ปม (ภาพ 6)

1.3 โครงสร้าง tertiyary (Tertiary structure) เป็นโครงสร้างสามมิติของสายพอลิ เพปไทด์ที่เกิดหลังจากโครงสร้างทุติยภูมิ เกิดจากพันธะต่างๆ ภายในสายพอลิเพปไทด์ระหว่าง หมู่ R (side chain) ของกรดอะมิโนในสายเดียวกัน แบ่งออกเป็น 4 แบบ คือ

1.3.1 แรงอิเล็ก trostic แบ่งเป็น 3 ประเภท

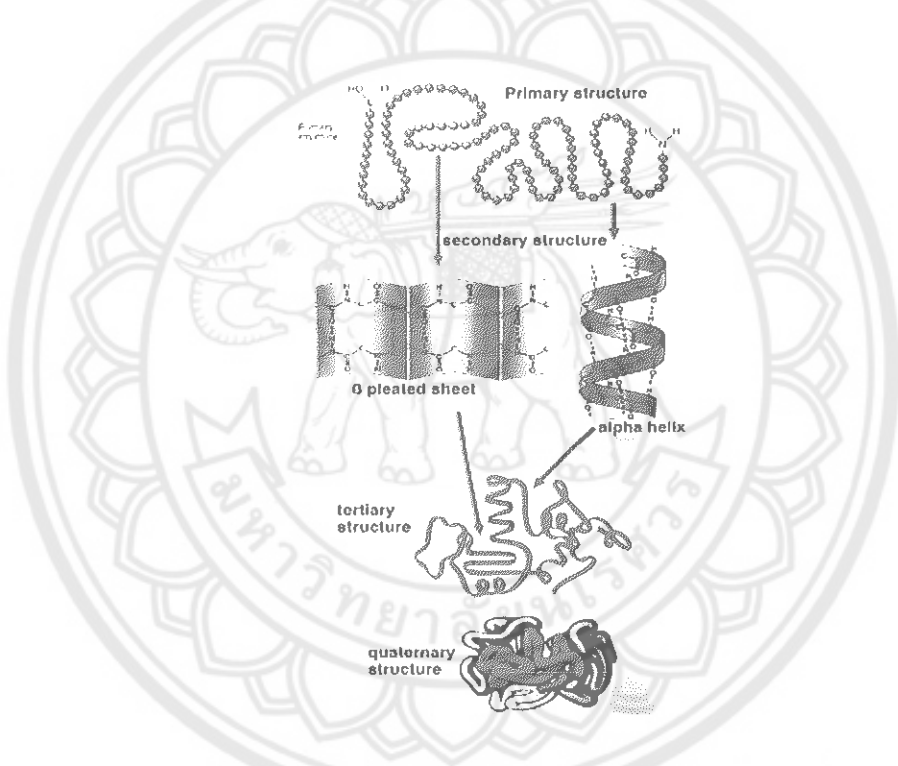
- 1) แรงระหว่างประจุ
- 2) แรงระหว่างประจุกับข้าว
- 3) แรงระหว่างข้าว

1.3.2 พันธะไฮโดรเจน เป็นพันธะที่เกิดขึ้นระหว่างหมู่ R ในสายเดียวกันที่ไม่ใช่ ภายในแกนของสายโปรตีน

1.3.3 แรงไฮโดรฟิบิก เป็นแรงที่ทำให้โครงสร้างสามมิติเสถียร เกิดจากหมู่ R ที่เป็นกรดอะมิโนไม่ซ้อนน้ำ เมื่อโปรตีนอยู่ในน้ำจะทำให้ส่วนที่ไม่ซ้อนน้ำเกิดแรงกระทำระหว่างกัน

1.3.4 แรงแวนเดอร์วัลลส์ เป็นแรงที่เป็นทั้งแรงดูด และแรงผลัก ซึ่งแรงแวนเดอร์วัลลส์จะมากจากกรดอะมิโนหมู่ R เป็นหมู่ไฮโดรคาร์บอน เมื่อมีจำนวนที่เพียงพอจะเกิดการคงสภาพภายในโครงสร้างได้ (ภาพ 6)

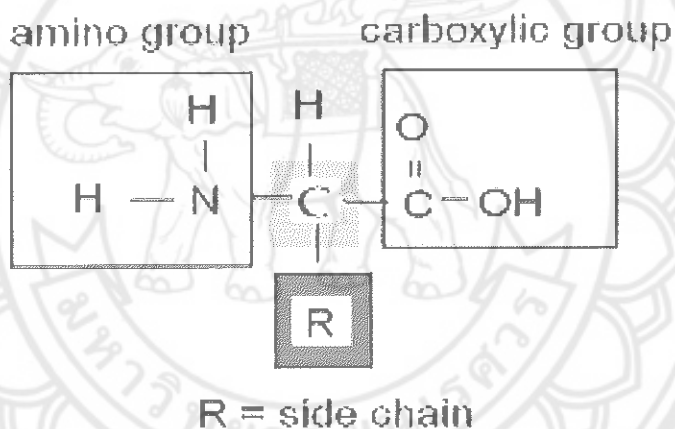
1.4 โครงสร้างจตุรภูมิ (Quaternary structure) เป็นโครงสร้างโปรตีนที่เกิดการรวมตัวของสายพอดิเพปไทด์มากกว่า 1 สาย ด้วยแรงดึงดูดอย่างอ่อนระหว่างหมู่ R กับสายพอดิเพปไทด์ที่ยังไม่เกิดพัมมะ (ภาพ 6) (สมາลี ทองแก้ว, 2541; อุษณ พรา อภิรักษ์อรรำวงศ์, 2549)



ภาพ 6 โครงสร้างของโปรตีนจตุรภูมิ

ที่มา: Campbell, & Reece, 2005

2. กรดอะมิโน เป็นหน่วยที่เล็กที่สุดของโปรตีน (protein) และมีอยู่ในโปรตีนประมาณ 20 ชนิด นอกจากรูปแบบแล้วมีการต่อเขื่อมกันกล้ายเป็นโมเดลที่ใหญ่ กรดอะมิโนส่วนใหญ่ได้มาจากกระบวนการไฮดรอไลซ์ (hydrolyze) จึงกล้ายเป็นโปรตีนอย่างสมบูรณ์ และกรดอะมิโนมีโครงสร้างทั้งหมด 7 กลุ่มใหญ่ๆ คือ กลุ่ม aliphatic side chain, กลุ่ม side chain ที่มีหมุ่ไซด์รอกซิล, กลุ่ม side chain ที่มีชัลเฟอร์, กลุ่ม side chain ที่มีหมุ่กรด, กลุ่ม side chain ที่มีหมุ่เบส, กลุ่ม side chain เป็นวงแหวนอะโรมาติก นอกจากรูปแบบแล้วกรดอะมิโนยังถูกแบ่งออกเป็น 2 ประเภท คือ กรดอะมิโนชนิดที่จำเป็น และกรดอะมิโนชนิดที่ไม่จำเป็น (สันหนา สุชาดา, 2536) ในถัวเฉลียงนั้นยังมีกรดอะมิโนที่จำเป็น และไม่จำเป็นรวม 19 ชนิด และนอกจากนี้องค์ประกอบของกรดอะมิโนยังได้ถูกกำหนดตามเกณฑ์ของ The Food and Nutrition Board of the National Research Council หรือ FNB (ภาพ 7) (Francis et al., 1999; อวยพร อภิรักษ์อรุณวงศ์, 2549)



ภาพ 7 โครงสร้างของกรดอะมิโน

ที่มา: Campbell, & Reece, 2005

กรดอะมิโนในถั่วเหลืองที่ทำการศึกษาในงานวิจัยครั้งนี้ ได้แก่ กรดอะมิโน 3 ชนิด คือ Glycine acid, Lysine acid และ Methionine acid (ภาพ 8)



ภาพ 8 โครงสร้างของกรดอะมิโน Glycine Lysine และ Methionine

ที่มา: Campbell, & Reece, 2005

การแปรรูปผลิตภัณฑ์

1. คุณลักษณะของเต้าหู้ เต้าหู้เป็นผลิตภัณฑ์ที่ทำมาจากถั่วเหลือง ซึ่งมีลักษณะ เป็นก้อนแข็ง หรืออ่อนนิ่ม มีสีขาวอ่อน ตัวของเต้าหู้จะไม่มีรสชาติ และนอกจากรสชาติ ให้ พลังงานต่ำ มีคุณค่าทางโภชนาการสูง และมีสารอาหารประเทืองโปรตีนสูง เช่นเดียวกับเนื้อสัตว์ นิยมในการนำมาปูองอาหารเพื่อสุขภาพอีกด้วย และลักษณะของเต้าหู้สามารถเปลี่ยนรูปแบบ เนื้อสัมผัสได้ 3 ชนิด ดังนี้ (จันทร วรากุลเทพ และคณะ, 2546; อุบล ดีสวัสดิ์, 2546)

1.1 เต้าหู้แข็ง (Hard or extra firm tofu) มีลักษณะเป็นเนื้อแข็ง ซึ่งวิธีการทำจะใช้ แคลเซียมคลอไรด์ หรือแมกนีเซียมซัลเฟตที่ช่วยให้เกิดการตกตะกอนโปรตีนของน้ำนมถั่วเหลือง ที่ผ่านความร้อน และนำมากรองใส่ผ้าขาวบางแล้วใช้ข้องหนักกดทับน้ำออกจะได้เต้าหู้แข็งสีขาว

1.2 เต้าหู้อ่อน (Soft or firm tofu) มีลักษณะสีขาวนวล วิธีการทำเช่นเดียวกับการทำ เต้าหู้แข็งใช้เจี๊ยะกอ หรือแคลเซียมซัลเฟตในการตกตะกอนโปรตีน การกดทับจะใช้น้ำหนัก ที่น้อยกว่าเต้าหู้แข็ง เต้าหู้ที่ได้จะมีลักษณะของเนื้อที่อ่อนนุ่มกว่าเต้าหู้แข็ง

1.3 เต้าหู้หลอด (Bagged or silken tofu) มีลักษณะเนื้อคุ้ม สีขาวนวล ซึ่งมีลักษณะเดียวกันกับเต้าหู้อ่อน วิธีการทำจะนำน้ำมันถั่วเหลืองบรรจุลงไปในหลอดพลาสติกสูญญากาศพร้อมกับตากตะกอนของโปรตีนด้วยกลูโคโนเดลต้าแลคโตน (glucono-delta-lactone) โดยไม่กดทับน้ำออก ทำให้เต้าหู้มีความชื้น และลื่นกว่าเต้าหู้อ่อน

จากการศึกษาวิจัยในครั้งนี้ได้ทำการวิเคราะห์คุณลักษณะของเต้าหู้แข็งเพื่อขึ้นรูปเป็นผลิตภัณฑ์ และต้องมีลักษณะทั่วไป คือ เป็นแผ่น หรือเป็นก้อน ไม่แตกออกจากกันจับตัวเป็นก้อนได้ค่อนข้างดี ลักษณะของเส้นใยต้องขาวนวล มีกลิ่น爵士ที่ดีตามส่วนประกอบที่ใช้ “ไม่มีกลิ่นบุด รสขม รสเบร์ยา” ลักษณะของเนื้อสัมผัสต้องเนียน “ไม่เละ หรือมีฟองอากาศ นอกจากนี้จะต้องไม่มีสิ่งแปลกปลอม เช่น เส้นผม ดิน ทรัพย์ เป็นต้น ปริมาณของโปรตีน และกรดอะมิโนในถั่วเหลือง สังผ肚ต่อปัจจัยที่สำคัญในการแปรรูปผลิตภัณฑ์เต้าหู้แผ่น โดยถั่วเหลืองที่มีปริมาณโปรตีนมาก จะเป็นตัวที่ทำให้น้ำมันถั่วเหลืองที่ได้จากการบัน และการองมาเป็นน้ำมันถั่วเหลืองมีลักษณะที่เป็นลิม ซึ่งมาจากกระบวนการตากตะกอน ดังนั้นปริมาณโปรตีนจึงมีผลต่อการผลิตเต้าหู้ให้แข็งตัว หรือมีลักษณะเป็นเครื่อง นอกจากนี้ยังมีผลต่อลักษณะเนื้อสัมผัสของเต้าหู้ที่บ่งบอกได้ว่ามีลักษณะหยาบ หรือละเอียด (สำนักงานมาตรฐานอุตสาหกรรม, 2546)

เต้าหู้เป็นผลิตภัณฑ์ที่ทำมาจากถั่วเหลืองซึ่งเป็นที่นิยมในประเทศไทย และประเทศแถบเอเชีย นอกจานนี้ผลิตภัณฑ์ที่ทำมาจากถั่วเหลืองยังมีคุณค่าทางโภชนาการสูงโดยเฉพาะอย่างยิ่งโปรตีน และลักษณะเนื้อสัมผัสของเต้าหู้นั้นจะเป็นตัวกำหนดคุณภาพของผลิตภัณฑ์เต้าหู้ (Zuo et al., 2016)

ผลกระทบของสภาวะอุณหภูมิสูงที่มีต่อสรีรวิทยาของพืช

1. ผลกระทบต่อสรีรวิทยาทั่วไปของพืช พืชทุกชนิดจะมีการตอบสนองต่อปัจจัยสิ่งแวดล้อมภายนอกอยู่ตลอดเวลา ซึ่งแสงก็เป็นปัจจัยหนึ่งของพืชที่ขาดไม่ได้ในกระบวนการรับประทานพลังงาน เนื่องจากแสงให้พืชมีการเจริญเติบโตตั้งแต่ระยะเริ่มออกดอกไปจนถึงระยะออกผล นอกจากแสงแล้วอุณหภูมิก็เป็นปัจจัยที่สำคัญอีกปัจจัยหนึ่งที่พืชต้องได้รับ เพื่อกระตุ้นให้พืชมีการเจริญเติบโตในช่วงออกดอก และออกผลเช่นกัน และยังส่งผลให้เมแทบอลิซึมต่างๆ ของพืชทำงานได้อย่างปกติ (ภาควิชีพ ประจำปี พ.ศ. ๒๕๕๐) ทั้งนี้ถ้าพืชได้รับอุณหภูมิสูงเกินไปจะทำให้พืชมีการเจริญเติบโตลดลง เนื่องจากความเครียดจากอุณหภูมิ ซึ่งเป็นสภาวะที่ระดับคุณภาพสูง เกินระดับช่วงความทนทานสัมฤทธิ์ทางการค้า เนื่องจากอุณหภูมิสูงเกินไปจะทำให้พืช (Hasanuzzaman et al., 2013)

กระบวนการสังเคราะห์แสงของพืชนั้นจำเป็นที่จะต้องใช้พลังงานจากดวงอาทิตย์ โดยคลื่นแสงที่พืชนั้นใช้คือ คลื่นแสงที่สามารถมองเห็นได้ (visible light) (Wallace, & Hobbs, 2006) ในสภาวะอุณหภูมิปกติ CO_2 จะรวมตัวกับ RuBP (Ribulose-1, 5-bisphosphate) โดยมีอิทธิพลจากเอนไซม์ Rubisco ทำให้เกิดสารประกอบที่มีคาร์บอน 3 อะตอม คือ 3-PGA ซึ่งจะมีการเปลี่ยนแปลงไปเป็นน้ำตาลในกระบวนการต่อเนื่อง แต่ในสภาวะที่พืชเจริญเติบโต ภายใต้ระดับอุณหภูมิสูงจะเกิดผลกระทบต่อการสังเคราะห์แสงของพืช คือ การเกิดกระบวนการหายใจแสงแทนที่การสังเคราะห์แสง (photosynthesis) โดยมี O_2 เป็นตัวยับยั้งทำให้ไม่สามารถเกิดวัฏจักรคลัติน เนื่องจากเมื่ออุณหภูมิสูงขึ้นจะเกิดภาวะที่เอนไซม์ Rubisco มีอิทธิพลต่อการทำให้ O_2 รวมตัวกับ RuBP ได้ดีกว่าจะเข้าไปแทนที่ CO_2 ดังนั้นจึงส่งผลทำให้เกิดกระบวนการหายใจแสง (photorespiration) ดังกล่าวจนทำให้สารประกอบที่มีคาร์บอน 2 อะตอม คือ ฟอสฟอไกลโคเลต (Phosphoglycolate: PG) และเนื่องจาก PG เป็นพิษต่อพืช ดังนั้นพืชจะมีกลไกในการกำจัด PG ซึ่งกระบวนการกำจัด PG นี้เกิดขึ้นใน Chloroplast ผ่านเข้าสู่ Organelle Peroxisome จนในที่สุดผ่านเข้าสู่ mitochondria ซึ่งเป็นพื้นที่สุดท้ายทำให้มีการเปลี่ยนรูปสาร Glycine (ซึ่งถูกสร้างขึ้นในกระบวนการกำจัด PG) ณ บริเวณนี่จะคงสร้างโมเลกุลส่วนหนึ่งถูกเปลี่ยนแปลงกลายเป็น CO_2 และปลดปล่อย CO_2 ผ่านทางปากใบทำให้พืชสูญเสีย CO_2 แทนที่พืชจะกักเก็บ CO_2 ไว้ในใบก็จะกลายเป็นการปลดปล่อย CO_2 ออกจากใบแทน ซึ่งพบว่ากระบวนการนี้ทำให้พืชสูญเสีย CO_2 สูงถึง 30-50 % ของปริมาณที่ต้องได้ส่งผลต่อการลดประสิทธิภาพในการสังเคราะห์แสง และนอกจากนั้นยังพบว่าในกระบวนการกำจัด PG ใน Organelle Peroxisome นั้นทำให้เกิดกระบวนการสร้าง H_2O_2 (Hydrogenperoxide) ซึ่งเป็นสารที่เกิดจากปฏิกิริยาออกซิเดชันของ glycolate และเป็นพิษต่อพืช รวมทั้งเป็นสารตั้งต้นในการสร้างสารอนุมูลอิสระชนิด OH ในพืชซึ่งจัดเป็นสารออกซิเดนท์ที่มีฤทธิ์รุนแรงส่งผลต่อการเปลี่ยนแปลงโครงสร้างของสารประกอบทางชีวเคมีอย่างต่อเนื่อง และเป็นสาเหตุสำคัญของการหนึ่งของการเปลี่ยนแปลงโครงสร้างของสารอาหารของพืช (กนิตา ธนเจริญ ณ ภาส, 2558; Thomas, 2001; Bonan, 2002)

เมื่อสภาวะอุณหภูมิสูงขึ้นพืชจะปักบ่องตัวเองไม่ให้สูญเสียน้ำโดยการปิดปากใบ เพื่อทำให้เย็นลง และลดการหายใจ ถ้าพืชมีการหายใจมากจนเกินไปจะทำให้ขาดความสมดุล การสังเคราะห์แสงก็จะลดลงตามไปด้วยส่งผลต่อการยับยั้งการดูดน้ำในดิน ราก และลำต้น ทำให้น้ำมีการแพร่เข้าสู่ใบอย่าง ส่งผลต่อการลดประสิทธิภาพในการดึงธาตุอาหารมาใช้

ผลลัพธ์ลดลงจนรบกวนกระบวนการขันส่งผลลัพธ์ ส่งผลให้การเจริญเติบโตของพืชลดลง เกิดผลกระทบต่อศรีร่วิทยาของพืช (Hollister, & Webber, 2000)

ผลกระทบของอุณหภูมิสูงที่มีต่อศรีร่วิทยาของอัญพืช

ระดับอุณหภูมิที่สูงขึ้นในบรรยากาศทำให้พืชมีการเปลี่ยนแปลงกระบวนการทางศรีร่วิทยาเพื่อปรับตัวตอบสนองในระดับเล็กน้อย หรือในระดับรุนแรงจนกระทั่งมีการทำลายโครงสร้างบางประการของพืช ทั้งนี้ความรุนแรงจะมาก หรือน้อยขึ้นอยู่กับปัจจัยหลายประการ เช่น ชนิด สายพันธุ์ ช่วงอายุ พันธุกรรม จากการศึกษาของ (Zhang et al., 2016) ได้ทำการวิจัย ในพื้นที่ทางตอนเหนือของจีนพบว่า การเปลี่ยนแปลงของอุณหภูมิก่อให้เกิดผลกระทบต่อการเจริญเติบโตของพืช และรวมทั้งผลผลิต ดังนั้นจึงมีการศึกษาระยะหนึ่งแล้วในประเทศ ผลกระทบของการเพิ่มอุณหภูมิที่มีต่ออัญพืชที่สำคัญของโลก อาทิ เช่น ข้าวสาลี ข้าวเจ้า และข้าวโพด การศึกษาส่วนใหญ่พบว่าสภาพภูมิอากาศที่มีระดับร้อนขึ้น (กว่าระดับปกติ ในพื้นที่นั้น) อาจส่งผลกระทบต่อการออกดอก การออกผล การสังเคราะห์แสง คุณภาพ และสารอาหารของพืช จากการศึกษาของ (He et al., 2005) ได้ศึกษาในประเทศไทยพบว่า กระบวนการทางศรีร่วิทยาต่างๆ ของพืชอาจเสื่อมลง เพราะมีการตอบสนองต่ออุณหภูมิที่เพิ่มสูงขึ้น จากการศึกษาได้ศึกษาการเปลี่ยนแปลงของ membrane lipid peroxidation ปริมาณโปรตีน และกรดอะมิโนทั้งหมด protease activity ที่เกี่ยวข้องกับการตอบสนองของอุณหภูมิที่ค่อนข้างสูงขึ้นจากการได้รับสัมผัสอุณหภูมิในระยะสั้นไปจนถึงระยะยาว เมื่อพืชได้รับสัมผัส กับอุณหภูมิที่เพิ่มสูงขึ้นประมาณ 20°C , 25°C , 30°C , 35°C และ 40°C (ออกแบบการทดลอง 4 ชั้ง) ในระยะเวลา 7 วัน ระดับอุณหภูมิที่เพิ่มขึ้นเรื่อยๆ จะทำให้พืชเกิดภาวะความเครียดจากความร้อน (gradual heat stress: GHS) หรือพืชที่เกิดความเครียดจากความร้อนที่อุณหภูมิ 40°C ในระยะเวลา 28 วัน สำหรับพืชที่ได้รับความเครียดจากความร้อนเป็นระยะเวลาที่ยาวนาน (prolonged heat stress: PHS) ในช่วงที่มีการเจริญเติบโตใน chambers ผลการศึกษาพบว่า ถัวเหลืองที่ปลูกภายในได้สภาวะ GHS ที่ระดับ 30°C ในช่วงระยะเวลา 7 วัน นั้นปริมาณ MDA (malondialdehyde) เพิ่มขึ้นแต่ปริมาณโปรตีนในมวลชีวภาพ嫩尖 (shoot) และกรดอะมิโนลดลงอย่างมีนัยสำคัญทางสถิติ เมื่อเปรียบเทียบกับผลการศึกษาที่ระดับ 20°C ขณะเดียวกัน พบว่าภายในได้ระดับอุณหภูมิในรูปแบบ gradual heat stress: GHS กิจกรรมของเอนไซม์โปรตีอส (Protease Activity) ซึ่งทำหน้าที่เร่งปฏิกิริยาการไฮโดรไลซ์โปรตีน (protein) ซึ่งเป็นพอลิ펩ไทด์ หรือพอลิเมอร์ของกรดอะมิโน (amino acid) ได้เป็นเพปไทด์ที่สายสั้นลงนั้นเพิ่มขึ้นที่ระดับอุณหภูมิ

25 °C แต่กิจกรรมของเอนไซม์proto köสจะลดลงเมื่อเพิ่มระดับอุณหภูมิไปที่ระดับ 30-40 °C (gradual heat stress: GHS) (He et al., 2005) และพบว่าปริมาณกรดอะมิโนลดลงภายใต้รูปแบบอุณหภูมิ GHS ตั้งแต่ระดับอุณหภูมิ 25 °C นอกจากนี้ผลการศึกษา�ังบ่งชี้ว่าปัจจัยด้านปริมาณโปรตีน กรดอะมิโน และ Protease Acitivity มีการตอบสนองต่อรูปแบบอุณหภูมิทั้ง GHS หรือ PHS มากกว่า lipid peroxidation การเปลี่ยนแปลง metabolic ของ Protease Acitivity ปริมาณโปรตีน กรดอะมิโน และ lipid peroxidation อาจจะทำให้ใบแก่ และมีประสิทธิภาพต่ำในสภาวะความเครียดจากความร้อนที่รุนแรงและยาวนาน (He et al., 2005)

ผลกระทบของสภาวะอุณหภูมิสูงที่มีต่อผลผลิตในพื้นที่เกษตรกรรมของโลก

1. ผลกระทบต่อผลผลิตในพื้นที่เกษตรกรรมในภาพรวม ในระยะเวลาหลายสิบปี ที่ผ่านมา นักวิชาการ และนักวิจัยจำนวนมากได้ทำการศึกษาผลกระทบ และความเสี่ยงของสภาวะโลกร้อน และการเปลี่ยนแปลงสภาวะภูมิอากาศที่มีต่อผลผลิตทางการเกษตรของโลกในพื้นที่สำคัญต่างๆ ถึงแม้ว่าได้มีการประเมินว่าบางพื้นที่ได้รับผลกระทบจากสภาวะโลกร้อน หรือการเปลี่ยนแปลงภูมิอากาศโลก อาทิ เช่น มีปริมาณฝนตกมากขึ้น ภาคฤดูร้อนขึ้นในระดับที่เหมาะสม หรือปัจจัยอื่นๆ อย่างไรก็ตามพบว่า พื้นที่เกษตรกรรมส่วนใหญ่ของโลกกลับได้รับผลกระทบในรูปแบบของการลดลงของผลผลิตในพื้นที่ปลูกซึ่งหากคำนวณมุกค่าความเสี่ยหายนเชิงเศรษฐศาสตร์แล้วพบว่า มีแนวโน้มสูงขึ้นอย่างต่อเนื่องโดยเฉพาะอย่างยิ่ง พื้นที่เขตร้อนของโลกซึ่งสภาวะโลกร้อนทำให้ระดับอุณหภูมิที่สูงอยู่แล้วในสภาวะปกติกลับยิ่งมีแนวโน้มจะเพิ่มสูงขึ้น จนใกล้เข้าสู่ระดับเกินช่วงความทนของสิ่งมีชีวิตทั้งสัตว์และพืช รวมทั้งพืชทางการเกษตรซึ่งแน่นอนว่าย่อมทำให้พื้นที่เกษตรกรรมในเขตร้อนกลับเป็นพื้นที่เสี่ยงต่อการเปิดรับระดับอุณหภูมิสูงกว่าเขตอื่นๆ ของโลก (กนิตา ชนเจริญชานภาก, 2558; Cline, 2008) ประเทศไทยในเขตร้อนที่คาดการณ์ว่าเป็นพื้นที่เสี่ยงดังกล่าว เช่น กลุ่มประเทศทางอเมริกาใต้ อาทิ บราซิล อาร์เจนตินา และประเทศไทยในเขตทวีปแอฟริกา โดยการคาดการณ์ในปี ค.ศ. 2008 ระบุว่าผลผลิตของประเทศไทยนี้จะลดลงประมาณ 6-19 % ส่วนประเทศไทยใต้ และเอเชียตะวันออกเฉียงใต้ ประสบภัยการสูญเสียมากที่สุด (Cline, 2007; Cline, 2008)

อย่างไรก็ตามพื้นที่โซนเขตหนาวอุ่น หรือเขตอื่นๆ ก็ได้รับผลกระทบจากสภาวะโลกร้อน หรือการเปลี่ยนแปลงภูมิอากาศ เช่นเดียวกัน เช่น ประเทศไทยในเขตอเมริกาเหนือ อาทิ แคนาดา ประเทศออสเตรเลีย ฯลฯ คาดการณ์จากการวิจัยภาคสนามว่าผลผลิตจะลดลงประมาณ 6 % ภายในตัวสภาวะอุณหภูมิสูง (ไม่เพิ่มระดับคาร์บอนไดออกไซด์ในบรรยากาศ และพื้นที่ที่จะได้รับผลกระทบมากที่สุด คือ

เขตตะวันออกเฉียงใต้ และตะวันตกเฉียงใต้ ในกรณีคาดการณ์ด้วยแบบจำลองทางคณิตศาสตร์ (Agronomic model) พบว่าผลผลิตข้าวพืชจะลดลง 25 % ในกรณีที่มีระดับคาร์บอนไดออกไซด์เพิ่มขึ้นด้วย และจะลดลงเพิ่มขึ้นถึงระดับ 35 % ในกรณีที่ไม่เพิ่มระดับคาร์บอนไดออกไซด์ และคาดการณ์ว่าประเทศไทยจะประสบปัญหาที่คล้ายคลึงกันกับประเทศไทย (Cline, 2007)

ในเขตเอเชียพบว่าประเทศไทยเดียวกับประเทศไทยจะประสบปัญหาการสูญเสียผลผลิตภายในครึ่งหนึ่งในระดับที่สูงถึง 30-40 % โดยเฉพาะอย่างยิ่งในพื้นที่เกษตรกรรมที่ใกล้เส้นศูนย์สูตร จะเพิ่มระดับการสูญเสียผลผลิตมากขึ้น สรุปประเทศไทยถึงแม้ว่าเป็นพื้นที่ที่ตั้งอยู่ในเอเชีย เช่นเดียวกัน และกลับพบผลกระทบน้อยกว่าในเขตประเทศไทยเดียว เนื่องจากตั้งอยู่ห่างจากเส้นศูนย์สูตรมากกว่า (ดูตั้งอยู่ที่ละตitud 38 องศาเหนือ สรุปวินัยเดียตั้งอยู่ในเขตละตitud 22 องศาเหนือ) ยิ่งกว่านั้นพบว่าจะเกิดผลกระทบ 2 รูปแบบที่ตรงข้ามกัน คือ ผลผลิตบางพื้นที่จะลดลงประมาณ 7 % ขณะเดียวกันผลผลิตจะเพิ่มขึ้นประมาณ 7 % (Cline, 2008)

2. ผลกระทบของสภาพอุณหภูมิสูงที่มีต่อพืชถั่วเหลือง ปัจจุบันพืชตระกูลถั่วนิยมปลูกกันอย่างแพร่หลายหนึ่งในนั้น คือ ถั่วเหลือง (soybean) เป็นขัญพืชที่มีความสำคัญมากของมนุษย์ เนื่องจากเป็นขัญพืชที่เป็นแหล่งโปรตีน และน้ำมันที่เป็นประโยชน์ต่อมนุษย์ที่สำคัญ และที่สำคัญความต้องการถั่วเหลืองในอนาคตยังเพิ่มมากขึ้น เนื่องจากปัจจัยการเพิ่มจำนวนของประชากร ถ้าเรามีความเข้าใจต่อการตอบสนองทางด้านสิริวิทยาจะนำไปสู่ประโยชน์ต่อความมั่นคงทางด้านอาหารของโลกนำไปสู่การรับมือการเปลี่ยนแปลงผลผลิตของถั่วเหลือง ในอนาคตภายใต้ climate change และ global warming มีงานวิจัยจำนวนมากได้ศึกษาเพื่อประเมินปัญหานี้ โดยมีรูปแบบการศึกษาทั้งการใช้แบบจำลองทางคณิตศาสตร์และการศึกษาในภาคสนาม (Zhang et al., 2016) เช่นการวิจัยโดยคณะของ (Lobell et al., 2003) ซึ่งใช้แบบจำลองทางคณิตศาสตร์ประเมินผลกระทบของระดับอุณหภูมิที่เพิ่มขึ้นที่มีต่อผลผลิตถั่วเหลือง ผลการศึกษาบ่งชี้ว่าผลผลิตของถั่วเหลืองจะลดลงตามระดับอุณหภูมิที่เพิ่มสูงขึ้นในฤดูกาลที่ปัจุก และได้ประเมินว่าผลผลิตของถั่วเหลืองจะลดลง 17 % เมื่ออุณหภูมิเพิ่มขึ้นทุกๆ 1 °C สรุปการวิจัยในรูปแบบการศึกษาภาคสนามซึ่งใช้ตู้ทดลองระบบเปิด (Open Top Chambers) หรือในรูปแบบไกล์เดียกันพบว่า เมื่อเพิ่มอุณหภูมิในระดับที่ไม่เกินระดับความทนของถั่วเหลือง (temperature threshold) จะส่งผลกระทบตุ่นการเพิ่มผลผลิตอย่างไรก็ตามในทางตรงข้ามพบว่า ถ้าเพิ่มระดับอุณหภูมิเกินกว่าช่วงความทนของถั่วเหลือง (above the temperature threshold level) ผลผลิตจะลดลงอย่างมีนัยสำคัญ ยิ่งกว่านั้นยังมีการศึกษาที่พบว่า ในกรณีที่อุณหภูมิเพิ่มขึ้นในระยะการสร้างเมล็ดในฝักจะส่งผลต่อการลดผลผลิตอย่างชัดเจน (Dornbos, &

Mullen, 1991; Gibson, & Mullen, 1996) นอกจากนี้จากการศึกษาทางด้านสุริวิทยาของพีช พบว่า การเพิ่มระดับอุณหภูมิในระดับหนึ่งนั้นอาจส่งผลต่อการลด หรือเพิ่มผลผลิตก็ได้ทั้งนี้ขึ้นอยู่ กับปัจจัยหลายๆ ประการ อาทิเช่น ระยะของซีพลักชน์ของถั่วเหลืองในช่วงที่ได้รับผลกระทบ หรือช่วงระยะเวลาเจริญเติบโต (Growth stages) (ระยะการเจริญเติบโตแต่ละช่วงมีความอ่อนไหว ของระดับอุณหภูมิแตกต่างกัน) และขนาดของใบ หรือส่วนใดส่วนหนึ่งที่เกี่ยวข้องกับการสังเคราะห์แสงของพีชด้วย เช่น ขนาดพื้นที่ใบที่แตกต่างกันส่งผลต่อศักยภาพในการสังเคราะห์แสงของพีช เช่นเดียวกัน (Zhang et al., 2016)

งานวิจัยที่เกี่ยวข้อง

ประเทศไทยต่างๆ ทั่วโลกและในเอเชีย เช่น สหรัฐอเมริกา จีน มาเลเซีย ญี่ปุ่น อินเดีย รวมทั้งประเทศไทยต่างๆ ได้ตระหนัก และให้ความสนใจศึกษาในประเด็นนี้อย่างแพร่หลาย ในระยะเวลากลายปีที่ผ่านมา ซึ่งขอบเขตการศึกษาส่วนหนึ่ง คือ การประเมินผลกระทบของการเปลี่ยนแปลงระดับอุณหภูมิที่มีต่อธัญพืชอาหารสำคัญ คือ ถั่วเหลือง ดังปรากฏอยู่ในบทความทางวิชาการมากมาย อาทิเช่น ประเทศไทยซึ่งถือว่าพืชถั่วเหลืองเป็นธัญพืชที่สำคัญมากของประเทศไทย จีน เตียงขาดข้อมูลการวิจัยภาคสนามที่แม่นยำดังนั้น กลุ่มนักวิจัยซึ่งนำโดย (Zhang at el., 2016) และคณะได้ทำการทดลองภาคสนามในปี ค.ศ. 2013 เพื่อให้ทราบถึงลักษณะผลกระทบของระดับอุณหภูมิที่เพิ่มขึ้น (warming) ที่มีต่อการสังเคราะห์แสง ผลผลิต รวมทั้งลักษณะของการตอบสนองกลไกเชิงสุริวิทยาที่ส่งผลต่อการลดผลผลิตของถั่วเหลืองภายใต้สภาวะการเปลี่ยนแปลงภูมิอากาศ

ในการศึกษาดังกล่าวใช้พื้นที่ภาคเหนือของประเทศไทย ณ แปลงวิจัยภาคสนาม ของมหาวิทยาลัย Heana University จังหวัด Heana ได้วางแผนการทดลองออกเป็น 2 สิ่งทดลอง คือ สิ่งทดลองที่ระดับอุณหภูมิระดับปกติ เป็นชุดควบคุม (C) และสิ่งทดลองที่เพิ่มระดับอุณหภูมิ ในช่วงกลางวัน (W) โดยใช้เครื่องสร้างคลื่นแสงอินฟราเรด (Infrared Radiator) เพื่อให้เกิด การแพร่ความร้อนในระดับ 1600 W ในพื้นที่ $10 \text{ m}^2/1$ เครื่อง แต่ละชุดทดลองมีจำนวน 6 ชั้า ผลการศึกษาพบว่า ระดับอุณหภูมิในบรรยากาศ และในดินที่เพิ่มขึ้น 0.4 และ 0.7°C ในสิ่งทดลอง W ตามลำดับ มีผลกระทบต่อปัจจัยด้านซีพลักชน์โดยพบว่า ถั่วเหลืองมีการออกดอกในช่วงที่ เร็วกว่าปกติ หรือช่วงก่อนออกดอกลดลง 3.84 วัน และช่วงระยะเวลาเจริญเติบโตสั้นลง หรือถั่วเหลืองมีการเติบโตได้เร็วกว่าปกติ 4.5 วัน ลดประสิทธิภาพในการสังเคราะห์แสงลง 6.6 % และ 10.3 % ที่ระยะออกดอก และระยะสร้างเมล็ด ตามลำดับ พร้อมกับลดปริมาณ คลอรอฟิลล์ในใบในช่วงออกดอก และออกฝักลดลง 5.8 % และ 7.8 % ตามลำดับ ผลการศึกษา

ระดับการเปิด-ปิดปากใบพบว่า การเปิด-ปิดปากใบของถั่วเหลืองในระยะออกดอก และระยะสร้างเมล็ดลดลง 18.8 % และ 18.4 % ตามลำดับ แต่พบว่าอัตราการหายน้ำของใบในระยะการออกดอก ระยะสร้างเมล็ด และระยะออกฝัก มีอัตราการหายน้ำเพิ่มขึ้น 9.4 %, 15.7 % และ 14.1 % ตามลำดับ และที่สำคัญพบว่า ลดผลผลิตในระดับที่ค่อนข้างสูง คือ น้ำหนัก 100 เมล็ดลดลง 20.8 % และลดผลผลิตในภาพรวมลง 45 % (170.78 กรัม/ตารางเมตร) นอกจากงานวิจัยของ (Zhang et al., 2016) ที่มีการศึกษาผลกระทบจากการเพิ่มระดับอุณหภูมิในบรรยายกาศที่มีต่อ ถั่วเหลืองยังได้มีการศึกษาจากนักวิชาการ และมีการตีพิมพ์อย่างมาจำนวนหนึ่งทั้งในประเทศอเมริกา เกอเรีย และประเทศไทย ดังเช่นงานวิจัยในพื้นที่ประเทศไทยโดย (Xu et al., 2016) พบว่าพืชถั่วเหลืองที่ปลูกใน open top chambers มีการควบคุมอุณหภูมิ 3 ระดับ คือ อุณหภูมิระดับ เหมาะสมที่ 28/24 °C อุณหภูมิระดับต่ำที่ 22/18 °C และอุณหภูมิระดับสูงที่ 36/32 °C และควบคุมให้มีระดับ CO₂ ที่ 400 ไมโครโมล/ม³ นอกจานี้ยังเพิ่มสิ่งทดลองอีก 3 รูปแบบ คือ การเพิ่มระดับ CO₂ เพื่อให้พืชได้รับอย่างต่อเนื่องจากระดับ 400 เป็น 800 ไมโครโมล/ม³ ใน 3 สิ่งทดลองเดิม (อุณหภูมิระดับต่ำ ระดับเหมาะสม และระดับสูงของ CO₂) และกำหนดให้พืชได้รับ สภาวะดังกล่าวในวันที่ 42, 53, 69 และ 95 หลังจากปลูก (Days After Planting: DAP) และวัด คาร์บอไฮเดรต, organic acids, amino acids, protein, lipid, soluble amino acids ผลการศึกษา พบว่าระดับสารอาหารที่ตรวจวัดในงานวิจัยนี้มีความแตกต่างกันค่อนข้างชัดเจนภายใต้สภาวะ ความแตกต่างของระดับอุณหภูมิ และระดับคาร์บอนไดออกไซด์ เนื่องจากพบว่าระดับ carbohydrates , amines และ organic acids ในเมล็ดลดลง 80 % ในระยะเก็บเกี่ยวภายใต้ สภาวะอุณหภูมิสูง อย่างไรก็ตาม rinitol และ oleate ปรับเพิ่มขึ้นภายใต้สภาวะอุณหภูมิสูง และสุดท้ายพบว่าภายใต้สภาวะการเพิ่ม CO₂ ผลงานต่อการเปลี่ยนแปลงระดับ metabolite ในช่วง ระยะการพัฒนาเมล็ด แต่กลับเพิ่มประสิทธิภาพของใบถั่วเหลืองในการสังเคราะห์แสง

Bhattarai et al. (2017) ใช้แบบจำลองทางคณิตศาสตร์ Environmental Policy Integrated Climate Model (EPIP) คาดการณ์ผลผลิตในอนาคตของถั่วเหลือง และถั่วพืช บางประเทศในอเมริการ่วมกับ Atmosphere Ocean General Circulation Model (AOGCM) สำรวจเส้นทางการปลดปล่อยก๊าซเรือนกระจก 3 สถานการณ์ในปี ค.ศ.2015-2099 ผลการวิจัย แสดงให้เห็นว่าค่าเฉลี่ยผลผลิต 20 ปี ทั้งถั่วพืช และถั่วเหลืองในปี ค.ศ. 2080-2099 ที่มีการใช้ แบบจำลอง EPIP และ AOGCM ภายใต้สถานการณ์การปลดปล่อยก๊าซเรือนกระจกจะระดับต่ำ ระดับปานกลาง และระดับสูง พบว่าเพิ่มขึ้นเมื่อเทียบกับค่าเฉลี่ยของผลผลิต 20 ปี ในปี ค.ศ. 2015-2034 และภายใต้สถานการณ์ที่มีการปล่อยก๊าซเรือนกระจกสูงผลผลิตของถั่วพืช

และถ้าเหลือในปี ค.ศ. 2080-2099 จะลดลงเมื่อเทียบกับปี ค.ศ. 2015-2034 โดยเกิดจากปัจจัยด้านการเปลี่ยนแปลงภูมิอากาศ

การศึกษาวิจัยในประเทศไทยโดย (Puteh et al., 2013) ดำเนินการศึกษาภาคสนามณ พื้นที่วิจัย คณะเกษตรศาสตร์ มหาวิทยาลัย Putra Malaysia (UPM) ในช่วงระหว่างเดือนกรกฎาคม ค.ศ. 2009 ถึง ตุลาคม ค.ศ. 2010 ใช้ถั่วเหลือง 3 สายพันธุ์ที่มีขนาดแตกต่างกัน ได้แก่ AGS190 (เมล็ดขนาดใหญ่), Willis (เมล็ดขนาดกลาง), Dieng (เมล็ดขนาดเล็ก) และจากนั้นควบคุมระดับอุณหภูมิ 3 ระดับ ให้มีความแตกต่างกัน คือ T1 (Control, ambient temperature) เป็นสิ่งทดลองควบคุม ซึ่งระดับอุณหภูมิเทียบเท่ากับระดับธรรมชาติ, T2 (high temperature, around 30 °C) เป็นสิ่งทดลองที่ควบคุมให้อุณหภูมิมีระดับสูง และ T3 (very high temperature, around 35 °C) เป็นสิ่งทดลองที่ควบคุมให้อุณหภูมิมีระดับสูงมาก จากการศึกษาการรับสัมผัสในระยะยาวของพืชในระยะ R1-R5 (ระยะสีบพันธุ์ช่วงเริ่มออกดอกออกผลถึงระยะติดเมล็ด) ภายใต้อุณหภูมิสูงมาก 35 °C ส่งผลกระทบในด้านลบระดับสูงในปัจจัยด้านองค์ประกอบผลผลิตมากกว่าการรับสัมผัสในระยะสั้นในช่วงระยะ R1-R2 (ระยะสีบพันธุ์ช่วงเริ่มออกดอกออกผลถึงระยะออกสนบูรณ์) และที่อุณหภูมิประมาณ 30 °C องค์ประกอบผลผลิตไม่มีผลกระทบอย่างมีนัยสำคัญ เมื่อเปรียบเทียบกับชุด control (25 °C) แต่พบผลกระทบอย่างมีนัยสำคัญทางสถิติในองค์ประกอบผลผลิตภายใต้ระดับอุณหภูมิสูงมากที่ระดับ 35 °C ทั้ง 2 ระยะ (R1-R5 และ R1-R2) และเมื่อเปรียบเทียบระหว่างสายพันธุ์พบว่าสายพันธุ์ซึ่งมีเมล็ดขนาดเล็ก (Dieng) มีความอ่อนไหวน้อยกว่าเมื่อสัมผัสระดับอุณหภูมิสูง เมื่อเปรียบเทียบกับเมล็ดขนาดใหญ่ (AGS190) ซึ่งหมายความว่าพันธุ์ AGS190 มีความอ่อนไหวต่อระดับอุณหภูมิมากกว่า

การศึกษาผลกระทบของสภาพภูมิอากาศแปรปรวนที่มีต่อผลผลิตถั่วเหลืองในประเทศไทยเดียวกันโดย (Lal et al., 1999) ในพื้นที่ภาคกลาง และพื้นที่ราบลุ่มแม่น้ำคงคา โดยใช้แบบจำลองทางคณิตศาสตร์ CROPGRO เพื่อศึกษาปัจจัยแปรปรวนของระดับอุณหภูมิ และความชื้นในระดับวิกฤต ผลการศึกษาระบุว่าผลผลิตถั่วเหลืองในเขตพื้นที่เกษตรกรรมตอนกลางของประเทศไทยเดียวกันลดลง และเมื่อพิจารณาปัจจัยการปลูกถั่วเหลืองภายใต้สภาพอุณหภูมิสูงเป็นระยะเวลาหนึ่ง ต่อเนื่องทั้งฤดูกาลปลูกพบว่า ผลกระทบขุนแวงกว่าการสัมผัสในระยะสั้นไม่ต่อเนื่อง และเมื่อพิจารณาจากปัจจัยร่วมระหว่างการเพิ่มระดับ CO_2 และระดับอุณหภูมิพบว่า ในกรณีการเพิ่มระดับ CO_2 เพียงปัจจัยเดียวทำให้ผลผลิตถั่วเหลืองเพิ่มขึ้นถึง 50 % แต่ในกรณีการปลูกภายใต้ปัจจัยร่วมระหว่างการเพิ่ม CO_2 และเพิ่มระดับอุณหภูมิขึ้นไปอีก 3 °C กลับยังยังการเพิ่มผลผลิตถั่วเหลืองเมื่อพิจารณาถึงปัจจัยร่วมอื่นๆ เช่น การเพิ่มจำนวนประชากรซึ่งคาดการณ์ว่าจะเพิ่มเป็น

1.6 พันล้าน ภายในปี ค.ศ.2050 ปัญหาการขาดแคลนทรัพยากรน้ำ ระดับอุณหภูมิสูงขึ้น ระดับ CO_2 ในบรรยากาศสูงขึ้น และความแปรปรวนของปัจจัยภูมิอากาศต่างๆ ปัจจัยเหล่านี้ จะยิ่งทำให้ปัญหาการขาดแคลนอาหารฐานแรงขึ้นในแบบที่ร้าบคุ้ม แม่น้ำคงคงทั้งในปัจจุบัน และอนาคต (กนิตา ชนเจริญชันภาษา, 2558)

การศึกษาวิจัยในประเทศไทยปัจุบันได้ผลการศึกษาที่แตกต่างกับประเทศต่างๆ ดังที่ได้กล่าวถึงมาแล้วโดย (Kumagai and Sameshima, 2014) ดำเนินการวิจัยในพื้นที่ภาคสนาม เช่น กันโดยทำการปลูกในช่วงเดือนมิถุนายน ถึง เดือนกันยายน ในระยะเวลาต่อเนื่อง 3 ปี คือ ปี ค.ศ.2011, ค.ศ.2012 และค.ศ.2013 ใช้ถั่วเหลือง 3 สายพันธุ์ คือ สายพันธุ์ Enrei สายพันธุ์ Ryuhou และสายพันธุ์ Yukihomare ซึ่งนิยมปลูกในพื้นที่ภาคเหนือของญี่ปุ่น กำหนดสิ่งทดลอง ภายใต้ระดับอุณหภูมิที่แตกต่างกัน 3 ระดับ คือ T1 (ambient) สิ่งทดลองที่ระดับอุณหภูมิเทียบเท่า กับระดับธรรมชาติ, T2 (อุณหภูมิสูงกว่า ambient 1.8-3.6 °C) สิ่งทดลองที่ระดับต้นอุณหภูมิสูง กว่าระดับธรรมชาติ 1.8-3.6 °C , T3 (อุณหภูมิสูงกว่า ambient 4.8-5.7 °C) สิ่งทดลองที่ระดับ อุณหภูมิสูงกว่าระดับธรรมชาติ 4.8-5.7 °C ปลูกในตู้ทดลองภาคสนามซึ่งมีพลาสติกคลุม จากการทดลองแสดงให้เห็นว่าการเพิ่มระดับอุณหภูมิในการวิจัยครั้งนี้กลับส่งผลทำให้อัตราการ สังเคราะห์แสง และประสิทธิภาพของการใช้ PSII (การสังเคราะห์แสงในระบบแสง 2) และอัตรา ผลผลิตในภาพรวมเพิ่มขึ้น รวมทั้งเพิ่มขนาดใบ จำนวนดอก จำนวนผัก และจำนวนเมล็ด ในสิ่งทดลอง T2 และ T3 อย่างมีนัยสำคัญทางสถิติ ทั้ง 3 สายพันธุ์ อย่างไรก็ตามพบว่า ระดับอุณหภูมิสูงส่งผลต่อชีพลักษณ์บางประการโดยพบว่า ระยะเวลาระหว่างช่วงเริ่มปลูกจนถึง ระยะเริ่มออกดอก (R1) ลดลงทั้ง 3 สายพันธุ์ แต่กลับเพิ่มระยะเวลาตั้งแต่ R1 จึงถึงช่วงเริ่มสร้างฝัก ให้ยาวนานขึ้น ผลการศึกษานี้ค่อนข้างวิจัยได้มีความคิดเห็นว่าเขตพื้นที่ซึ่งมีระดับอุณหภูมิต่ำ ในประเทศไทยจะได้รับประโยชน์จากการทดลองการคาดการณ์ระดับอุณหภูมิที่จะเพิ่มขึ้น ในศตวรรษที่ 21

จากการศึกษาผลกระทบของอุณหภูมิในบรรยากาศที่สูงขึ้นต่อองค์ประกอบผลผลิต และคุณภาพอาหารในถั่วเหลืองพันธุ์เขียงใหม่ 60 (นราศ จำเจริญ, 2555) มีการปลูกถั่วเหลือง ในสภาพอุณหภูมิที่แตกต่างกัน 3 ระดับ ในพื้นที่จังหวัดพิษณุโลก ซึ่งทำการปลูกภายใต้ตู้ทดลอง แบบเปิด (Open Top Chamber) ดังนี้ ความคุณระดับอุณหภูมิให้ต่ำกว่าสภาพธรรมชาติภายนอก ตู้ทดลอง (LT) ระดับอุณหภูมิอยู่ที่ 30-33 °C ความคุณระดับอุณหภูมิให้ใกล้เคียง หรือเทียบเท่ากับ สภาพธรรมชาติภายนอกตู้ทดลอง (AT) 33-36 °C ความคุณระดับอุณหภูมิให้สูงกว่าสภาพ ธรรมชาติภายนอกตู้ทดลอง (HT) 37-40 °C ผลของการศึกษาดังต่อไปนี้ คือ V1 ถึง R8 พบร่วมกับ

ความสูงของถั่วเหลืองพันธุ์เชียงใหม่ 60 มีการตอบสนองในสภาพอากาศดับอุณหภูมิที่เพิ่มสูงกว่า สภาวะธรรมชาติในทิศทางบวก โดยระยะ V3, R1 และ R3 ในตู้ทดลอง (HT) มีอัตราในการเพิ่มขึ้น ของความสูงลำต้นเมื่อเทียบกับตู้ทดลอง (AT และ LT) และองค์ประกอบของผลผลิตนั้นก็ไม่ได้รับผลกระทบต่อสภาวะอากาศดับอุณหภูมิที่เพิ่มสูงกว่าสภาวะธรรมชาติมาก สามารถสรุปได้ว่าอุณหภูมิ ในการศึกษาครั้งนี้กระตุ้นให้พืชมีความสูงมากขึ้น แต่อย่างไรก็ตามในการศึกษาครั้งนี้ยังไม่ได้ วิเคราะห์ในด้านสารอาหารแต่อย่างใด

การศึกษาผลผลกระทบของการเพิ่มระดับอุณหภูมิร่วมกับปัจจัยการเปลี่ยนแปลงความชื้น บรรยายกาศที่มีต่อถั่วเหลืองพันธุ์เชียงใหม่ 60 โดย (Thanacharoenchanaphas, & Rugchat, 2015) ในพื้นที่จังหวัดพิษณุโลก ในปี ค.ศ.2013 พบร้าบู่จัญเดียว คือ ระดับอุณหภูมิเพิ่มขึ้นที่ระดับ 36°C เพียงบัด济เดียวทำให้ผลผลิตถั่วเหลืองลดลง 40 % และน้ำหนัก 100 เมล็ด ลดลงอย่างมี นัยสำคัญ แต่พบว่าถ้ามีปัจจัยร่วมระหว่างระดับอุณหภูมิสูงร่วมกับความชื้นสูงกว่าระดับธรรมชาติ (80 %) ในระยะต่อเนื่องทำให้ผลผลิตรวมลดลง 47 % แต่ไม่ส่งผลกระทบต่อน้ำหนัก 100 เมล็ด แต่อย่างใด และเมื่อวิเคราะห์สารอาหารพบว่าอุณหภูมิระดับสูงเพียงบัด济เดียวส่งผลต่อการลดลง ของกรดไขมันไม่อิมตัวเชิงเดี่ยวรวม (Total mono-unsaturated fatty acids) 1.2 % อย่างมี นัยสำคัญทางสถิติ

จากสภาวะการเปลี่ยนแปลงภูมิอากาศโลกและการเกิดภัยแล้งร้อน มีการศึกษา มากมายที่พบว่า ส่งผลกระทบต่อพื้นที่แบบເອເຊີຍຕະວັນອອກເຂົ້າງໄດ້ ຈາກກາරສຶກຫາໂດຍໃຫ້ ແບບຈຳລອງທາງຄົນຕະຫຼາດພບວ່າ ປະເທດລາວ ເວີຍດນາມ ໄທຍ ພມ່າ ອິນໂດນີເຕີຍ ພິລິປິນສ ບຽນ ມາເລີເຊີຍ ເປັນພື້ນທີ່ໄດ້ຮັບສະກະໃລກຮ້ອນ ແລະເປັນພື້ນທີ່ອຳນິໄຫວອຍ່າງເໜີນໄດ້ຫັດເຈັນ ຕຶງແນ້ວ່າ ປະເທດໃນແບບເອເຊີຍຕະວັນອອກເຂົ້າງໄດ້ຈະມີການປ່ອຍກຳຂໍາຄວບອນໄດ້ອາໄຫຼດອາກາມເພີ້ມ 1045.95 ລ້ານຕັນ ເນື້ອເປົ້າຢືນເຖິງກັບປະເທດເມັນເກົກ ຮ້ອງປະເທດຈີນມີການປ່ອຍກຳຂໍາຄວບອນໄດ້ອາໄຫຼດອາກາມກົງ 5975.10 ລ້ານຕັນ ແລະ 6103.49 ລ້ານຕັນ (Lee et al., 2013) ອຍ່າງໄວ້ກຳຕາມໃນອາຄຕແນວໂນ້ມຂອງພື້ນທີ່ແບບເອເຊີຍຕະວັນອອກເຂົ້າງໄດ້ຈະມີການປ່ອຍກຳຂໍາຄວບອນໄດ້ອາໄຫຼດເພີ້ມຂຶ້ນທຸກປະເທດວ່າປະເທດໄທຍ (ກົມືຕາ ດັນເຈົ້າຍຸພະນາສ, 2558) ດັ່ງນັ້ນຈຶ່ງມີແນວໃນໝ່ວ່າສະກະການເພີ້ມອຸນຫຼວມຈະເພີ້ມຂຶ້ນອຍ່າງຕ່ອນເນື້ອງໃນອາຄຕ ແລະຍ່ອມຈະສັງຜູ ກະຮະບູບຕ່ອນພື້ນທີ່ເກະທຽກຮ່ວມ ສິ່ງປະເທດໄທຍນັ້ນເປັນປະເທດທີ່ມີພື້ນທີ່ເກະທຽກຮ່ວມ ແລະຈະປະສົບ ປັບປຸງຫາຕ່ອງການເປົ້າຢືນເຖິງກັບປະເທດຈີນມີການປ່ອຍກຳຕ່າງໆ ດ້ວຍອາຫານ ຂະໜັ້ນຈຶ່ງຕ້ອງມີການຫາແນວທາງຮັບມືອື່ນເປົ້າຢືນເຖິງກັບຕ່າງໆ ແລະຈະປະສົບ ດ້ວຍອາຫານ ຂະໜັ້ນຈຶ່ງຕ້ອງມີການຫາແນວທາງຮັບມືອື່ນເປົ້າຢືນເຖິງກັບຕ່າງໆ

การวิเคราะห์เชิงปริมาณขององค์ประกอบอะมิโนในเมล็ดถั่วเหลืองที่มีผลกระทบมาจาก การเปลี่ยนแปลงสภาพภูมิอากาศ ซึ่งส่งผลต่อศรีร่วมของพืชในกระบวนการสร้างเมล็ด (beginning seed: R5-full maturity: R8) จากการศึกษากรดอะมิโนที่ทำการวิเคราะห์จากเมล็ดถั่วเหลืองที่ปัจจุบัน ทั้งหมด 31 ตัวอย่าง ใน การทดสอบภาคสนามที่ สภาวะแตกต่างกัน ดำเนินการในประเทศไทย เจรจาติดตามผลการศึกษาพบว่า กรดอะมิโนรวมมีปริมาณทั้งหมด 31.69-49.14 % กรดอะมิโนชนิด ที่จำเป็น และกรดอะมิโนชนิดที่ไม่จำเป็น มีความแตกต่างกัน 12.83-19.02 % และ 18.86-31.15 % ตามลำดับ ซึ่งแสดงให้เห็นอย่างชัดเจนว่า สภาวะภูมิอากาศที่เปลี่ยนแปลงส่งผลกระทบเชิงลบ ต่อระดับกรดอะมิโน ดังนั้น ปริมาณกรดอะมิโนจะมีความสัมพันธ์กับระดับอุณหภูมิที่เพิ่มขึ้นในช่วง การสร้างเมล็ด โดยเฉพาะกรดอะมิโนที่มีชัลเฟอร์เป็นองค์ประกอบ (sulfur amino acids) ได้แก่ methionine, cysteine มีปริมาณลดลง เนื่องจากเป็นกรดอะมิโนชนิดที่อ่อนไหวต่ออุณหภูมิ ที่เพิ่มขึ้น (Constanza et al., 2011) ในปัจจุบันมีแนวโน้มที่อุณหภูมิจะเพิ่มสูงขึ้น ซึ่งถั่วเหลือง จะได้รับความเครียดจากความร้อนเพิ่มมากขึ้น ส่งผลกระทบทางตรงต่อองค์ประกอบผลผลิต และปริมาณสารอาหารในถั่วเหลือง

จากการศึกษาของ (Bainy et al., 2008) ผู้嫩ไปที่การประเมินผลของการสูญเสียสภาพ ธรรมชาติของโปรตีนจากความร้อน ซึ่งส่งผลต่อการสร้างเจลโปรตีนของถั่วเหลืองที่เกิดขึ้น จากความร้อน ซึ่งถั่วเหลืองเป็นที่รู้จักกันดีว่าเป็นพืชตระกูลถั่วที่มีคุณค่าทางโภชนาการสูงโดยเฉพาะ โปรตีน น้ำมัน และกรดไขมันที่ไม่อิ่มตัว นอกจากนี้ยังมีโปรตีนชนิด β -conglycinin (7S) และ glycinin (11S) พบมากที่สุดในเมล็ดถั่วเหลือง และการสูญเสียสภาพโปรตีนจะเกิดขึ้น ในกระบวนการที่สกัดโปรตีนออกจากนมถั่วเหลือง (soy protein isolation: SPI) มีการทดสอบโดย differential scanning calorimetry (DSC) พบร่วงดับความร้อนที่อุณหภูมิประมาณ 70°C จะส่งผลให้โปรตีนชนิด 7S มีการเสียสภาพ และสกัดโปรตีนจากนมถั่วเหลืองได้ในปริมาณมาก แต่ในทางกลับกันส่งผลให้โปรตีนชนิด 11S มีการเสียสภาพหรือรูปทรงชาติดลง เพราะโปรตีนชนิดนี้ จะต้องผ่านความร้อนที่อุณหภูมิระดับสูงประมาณ 80°C จึงจะสามารถสกัดโปรตีนจากนมถั่วเหลืองได้ในปริมาณมาก และนอกจากนี้โปรตีนชนิด 11S ยังทนต่อความร้อนได้มากกว่าโปรตีนชนิด 7S โดยโปรตีนทั้ง 2 ชนิดนี้ มีความแตกต่างกันในการสร้างเจล ซึ่งโปรตีนชนิด 11S จะมีปริมาณกรดอะมิโน methionine และ cysteine ที่มีชัลเฟอร์เป็นองค์ประกอบ (sulfur containing amino acid) มากกว่าโปรตีนชนิด 7S ประมาณ 3-4 เท่า ดังนั้น โปรตีนชนิด 11S จึงเป็นตัวช่วยในการเขื่อมต่อระหว่างโครงสร้างเจลให้มีความแข็ง มีความแน่น และมีความยืดหยุ่น โดยมีพันธะไดออกไซด์เป็นตัวเขื่อมจึงทำให้เต้าหู้มีเนื้อสัมผัสที่เรียบเนียนเป็นเนื้อดียวกัน

และถ้าเหลืองคุณภาพที่ดีต้องมีลักษณะของเม็ดขนาดใหญ่ มีข้าวเมล็ด (hilum) ที่ชัดเจน และมีอัตราส่วนของโปรตีนชนิด 11S และ 7S ในปริมาณที่เพียงพอจึงจะได้รับความนิยม ในอุตสาหกรรมการผลิตอาหารโดยเฉพาะผลิตภัณฑ์เต้าหู้

เต้าหู้เป็นที่นิยมมากในประเทศไทย เนื่องจากมีอิทธิพลต่อคุณภาพของเต้าหู้ คือ ปริมาณโปรตีน และกรดอะมิโนในถัวเหลือง เพราะเป็นองค์ประกอบที่สำคัญมาก นอกจากนี้ ถัวเหลืองที่มีปริมาณโปรตีนสูง มีเม็ดขนาดใหญ่ และมีข้าวเมล็ด (hilum) ชัดเจนจะส่งผลให้เต้าหู้ มีคุณภาพ และผลผลิตที่ดี ยิ่งไปกว่านั้นในถัวเหลืองจะพบโปรตีนชนิด 11S และ 7S หากที่สุด ซึ่งมีอิทธิพลต่อเนื้อสัมผัส การแข็งตัวของเต้าหู้ เมื่อเกิดสภาพภาวะดับอุณหภูมิเพิ่มสูงขึ้นจะทำให้ ปริมาณโปรตีนห้ง 2 ชนิดนี้ลดลง และส่งผลให้ A₃ subunit ซึ่งเป็นหน่วยย่อยของโปรตีนชนิด 11S ลดลงตามไปด้วย จึงส่งผลกระทบเชิงลบต่อเต้าหู้ เพราะ A₃ subunit เป็นตัวช่วยในการ เพิ่มความแข็ง และความแน่นของเต้าหู้ และขนาดของเม็ดก็ถือได้ว่าเป็นคุณสมบัติที่สำคัญ ของถัวเหลืองคือประการหนึ่งในการคำนวณพานิชย์ เนื่องจากว่าเม็ดที่มีขนาดเล็กจะไม่ได้รับ ความนิยมจากอุตสาหกรรมการแปรรูปอาหารโดยเฉพาะเต้าหู้ (Shi Meng et al., 2016) ดังนั้น ในอนาคตจึงต้องให้ความสำคัญต่อระดับอุณหภูมิที่เพิ่มขึ้นที่ส่งผลต่อถัวเหลืองเพื่อเป็น กระบวนการป้องกันคุณภาพอาหารในอนาคตต่อไป

บทที่ 3

วิธีดำเนินงานวิจัย

พื้นที่ศึกษา

1. พื้นที่วิจัยภาคสนาม ใน การศึกษาวิจัยในครั้งนี้ใช้พื้นที่ป่าดิบแล้งในแปลงวิจัย ด้านการเกษตร คณะเกษตรศาสตร์ทรัพยากรธรรมชาติและสิ่งแวดล้อม มหาวิทยาลัยแม่ฟ้าหลวง จังหวัดพิษณุโลก ซึ่งตั้งอยู่ที่ละติจูด 16 องศาเหนือ 44.003 ลิปดา และลองติจูด 100 องศาตะวันออก 11.810 ลิปดา สูงจากระดับน้ำทะเลประมาณ 48 เมตร

2. การวิเคราะห์ในห้องปฏิบัติการ ใน การศึกษาครั้งนี้ทำการวิเคราะห์ในห้องปฏิบัติการดังนี้

2.1 การวิเคราะห์สารอาหาร โปรตีน กรดอะมิโน รวมทั้งการประยุกต์ผลิตภัณฑ์อาหาร จากถัวเหลือง ดำเนินการ ณ ห้องปฏิบัติการภาควิชาอุตสาหกรรมเกษตร คณะเกษตรศาสตร์ ทรัพยากรธรรมชาติและสิ่งแวดล้อม มหาวิทยาลัยแม่ฟ้าหลวง จังหวัดพิษณุโลก

2.2 การวิเคราะห์ธาตุอาหารในดิน และวิเคราะห์ผลผลิต ดำเนินการ ณ ห้องปฏิบัติการ ภาควิชาทรัพยากรธรรมชาติและสิ่งแวดล้อม มหาวิทยาลัยแม่ฟ้าหลวง จังหวัดพิษณุโลก

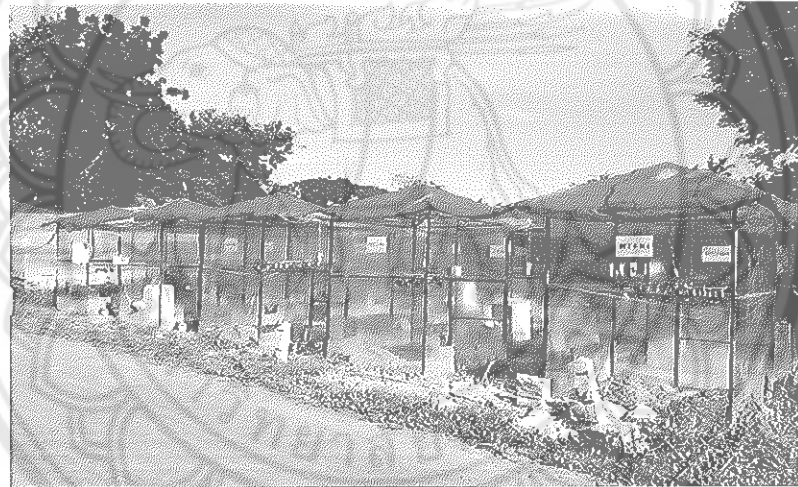
พันธุ์ถัวเหลืองที่ใช้ในงานวิจัย

ในการศึกษาเลือกถัวเหลืองพันธุ์เชียงใหม่ 60 เนื่องจากมีลักษณะที่โดดเด่น คือ เป็นพันธุ์ที่ได้รับการรับรองให้เป็นถัวเหลืองสายพันธุ์ดีเด่นของประเทศไทย ในปี พ.ศ.2530 เป็นพันธุ์ที่ให้ผลผลิตสม่ำเสมอทั้งฤดูแล้ง และฤดูฝน ปรับตัวได้ดีทุกแหล่งปลูกทั่วประเทศ ทนทานต่อโรคราษฎร์ และต้านทานปานกลางต่อโรคใบขาดน้ำ และโรครา内心的 ค้าง เป็นพืชไร่ที่เลือกใช้สำหรับการศึกษาวิจัยในครั้งนี้ เพราะเป็นพืชตระกูลถัวที่ให้คุณค่าทางด้านอาหารสูง และใช้ถัวเหลืองพันธุ์เชียงใหม่ 60 พันธุ์เดียวสำหรับการศึกษาในครั้งนี้ เพราะนิยมปลูกในภาคเหนือตอนล่างมากที่สุด โดยเฉพาะจังหวัดพิษณุโลก และเป็นพันธุ์ที่มีปรตีนสูง 43.8 % น้ำมัน 20 % ให้ผลผลิตที่สูงเฉลี่ย 280-350 กิโลกรัม/ไร่

การควบคุมระดับอุณหภูมิ ณ พื้นที่วิจัยภาคสนาม

การควบคุมระดับอุณหภูมิในการวิจัยภาคสนาม ณ แปลงวิจัยคณะเกษตรศาสตร์ ทรัพยากรธรรมชาติและสิ่งแวดล้อม ดำเนินการโดยใช้ระบบตู้ทดลองเปิดด้านบน (Open Top Chamber) (ภาพ 9) จำนวน 16 ตู้ทดลอง ซึ่งรูปแบบของตู้ทดลองมีลักษณะดังนี้

1. รูปแบบของ Open Top Chamber มีลักษณะเป็นสี่เหลี่ยมจัตุรัสเพื่อความสะดวกในการครอบแปลงวิจัยที่มีลักษณะเป็นแปลงปลูกแนวยาว Open Top Chamber (OTC) มีขนาดกว้าง 1.5 เมตร ยาว 1.5 เมตร และสูง 2 เมตร หุ้มด้วยพลาสติกใสทุกด้าน มีช่องเปิดเพื่อระบายอากาศด้านบน รวมทั้งมีประตู และหลังคาฐานจั่วปิดด้านบนเพื่อป้องกันอุปกรณ์อิเลคทรอนิกส์ จากน้ำฝน และจากความชื้นในช่วงระยะเวลาทำการวิจัยภาคสนาม นอกจากนี้ยังใช้ระบบไฟฟ้า อิเลคทรอนิกส์ในการควบคุมอุณหภูมิอัตโนมัติ



ภาพ 9 ระบบตู้ทดลองภาคสนามระบบเปิดระบายอากาศด้านบน (Open Top Chamber)

2. การควบคุมระดับอุณหภูมิภายในตู้ทดลองให้มีความแตกต่างกัน 4 ระดับ โดยใช้ระบบอิเลคทรอนิกส์ร่วมกับสภาวะธรรมชาติในการควบคุมตามระดับอุณหภูมิที่มีแนวโน้มเพิ่มขึ้นจากการคาดการณ์สภาพอากาศ RCP 2.6, RCP 4.5, RCP 6.0 และ RCP 8.5 ตามลำดับ

2.1 ระดับที่ 1 เป็นสภาวะระดับอุณหภูมิในตู้ทดลองซึ่งถูกควบคุมให้มีระดับใกล้เคียงหรือเทียบเท่ากับอุณหภูมิตามธรรมชาติในฤดูกาลปัจจุบัน การควบคุมดังกล่าวจัดการโดยการใช้เครื่องปรับอากาศลดระดับอุณหภูมิในตู้ทดลองให้ต่ำกว่าระดับอุณหภูมิภายนอก (ambient level)

ประมาณ $2-3^{\circ}\text{C}$ (เนื่องจากระดับอุณหภูมิภายในตู้ทดลอง OTC ในพื้นที่วิจัย จะสูงกว่าระดับอุณหภูมิภายนอกประมาณ $2-3^{\circ}\text{C}$ แม้มีการเพิ่มระดับอุณหภูมิจากระบบอิเล็กทรอนิกส์ไดๆ) กำหนด ชื่อสิ่งทดลองนี้ว่า Control Treatment : CT (เป็นมาตรฐาน) (ภาพ 10)

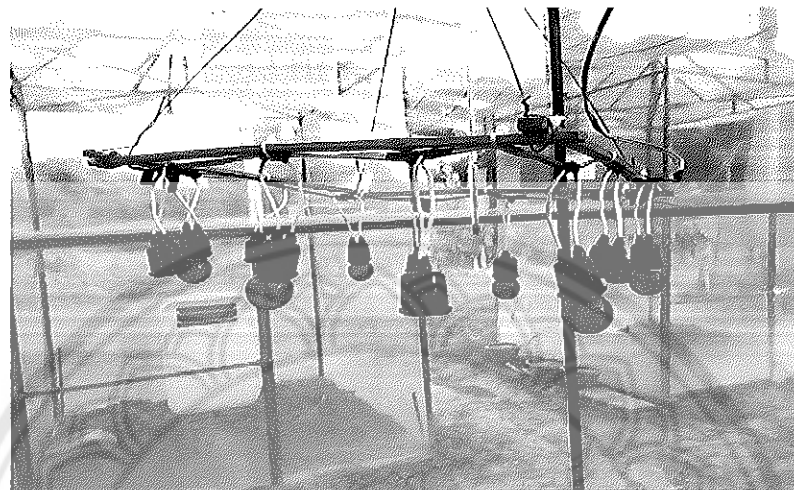


ภาพ 10 การใช้เครื่องปรับอากาศเพื่อควบคุมระดับอุณหภูมิให้เทียบเท่ากับสภาพธรรมชาติ

2.2 ระดับที่ 2 เป็นสภาพระดับอุณหภูมิในตู้ทดลองซึ่งถูกควบคุมให้มีระดับสูงกว่าสิ่งทดลอง CT ในฤดูกาลปัจจุบันควบคุมดังกล่าวจัดการโดยการครอบด้วย OTC ซึ่งจะทำให้ระดับอุณหภูมิสูงกว่าระดับภายนอก (ambient level) ในช่วงประมาณ $2-3^{\circ}\text{C}$ แม้มีการเพิ่มระดับอุณหภูมิจากระบบอิเล็กทรอนิกส์ไดๆ) กำหนด ชื่อสิ่งทดลองนี้ว่า High Temperature : 1st Level (HT1)

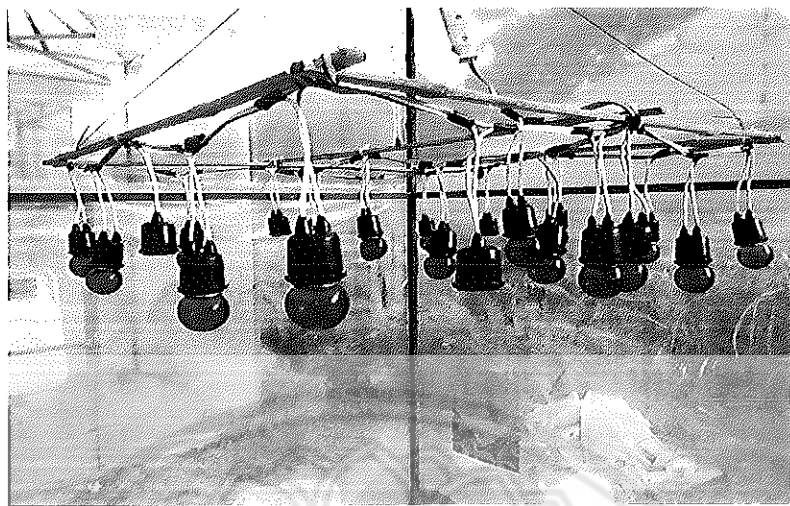
2.3 ระดับที่ 3 เป็นสภาพระดับอุณหภูมิในตู้ทดลองซึ่งถูกควบคุมให้มีระดับสูงกว่าสิ่งทดลอง HT1 ในฤดูกาลปัจจุบันควบคุมดังกล่าวจัดการโดยการครอบด้วย OTC และติดตั้งระบบไฟแสงสีเขียวขนาดเล็กจำนวน 9 หลอด ติดตั้งโดยรอบภายนอกตู้ทดลอง ณ พื้นที่บริเวณเด้านอก OTC ซึ่งหลอดไฟดังกล่าวจะแพร่ระดับความร้อนออกมากประมาณ 1°C ซึ่งจะทำให้

ระดับอุณหภูมิสูงกว่าระดับภายนอก (ambient level) ในช่วงประมาณ $3-4^{\circ}\text{C}$ กำหนด
ชื่อสิ่งทดลองว่า High Temperature : 2nd Level (HT2) (ภาพ 11)



ภาพ 11 การติดตั้งหลอดไฟเพื่อเพิ่มระดับอุณหภูมิในสิ่งทดลอง HT2

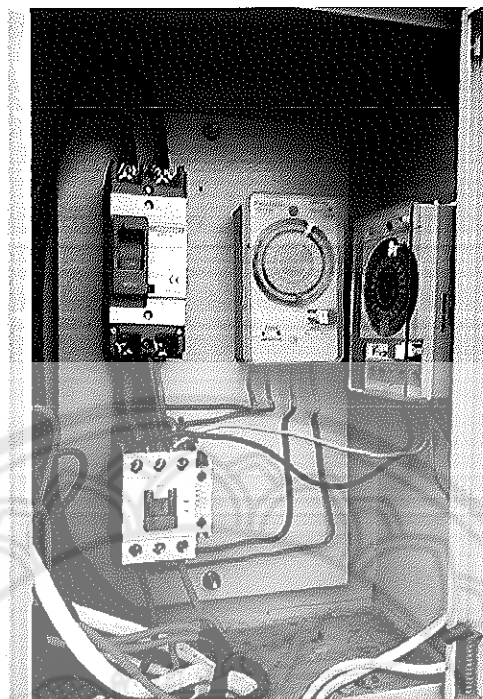
2.4 ระดับที่ 4 เป็นสภาวะระดับอุณหภูมิในตู้ทดลองซึ่งถูกควบคุมให้มีระดับสูงกว่า สิ่งทดลอง HT2 ในฤดูกาลปัจจุบัน กระบวนการดังกล่าวจัดการโดยการครอบด้วย OTC และติดตั้งระบบไฟแสงสีเขียวขนาดเล็กจำนวน 21 หลอด ติดตั้งโดยรอบ ณ พื้นที่บริเวณเพดานของ OTC ซึ่งหลอดไฟดังกล่าวจะแผร์ดับความร้อนออกมากำลัง 2-3 $^{\circ}\text{C}$ ซึ่งจะทำให้ระดับอุณหภูมิสูง กว่าระดับภายนอก (ambient level) ในช่วงประมาณ $4-6^{\circ}\text{C}$ กำหนด ชื่อสิ่งทดลองนี้ว่า High Temperature : 3rd Level (HT3) (ภาพ 12)



ภาพ 12 การติดตั้งหลอดไฟเพื่อเพิ่มระดับอุณหภูมิในสิ่งทดลอง HT3

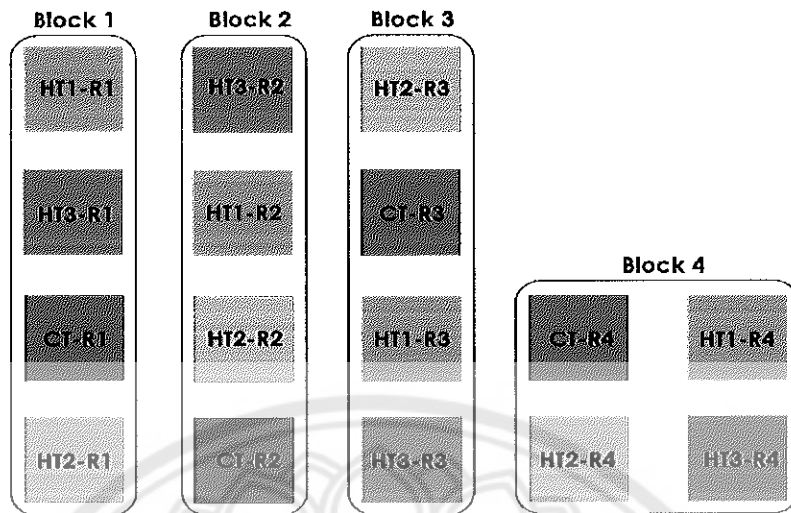
ดังนั้นในการวิจัยกำหนดให้มีสิ่งทดลอง (treatment) ทั้งหมด 4 สิ่งทดลอง (CT, HT1, HT2 และ HT3)

3. ระยะเวลาของการควบคุมระดับอุณหภูมิ เพื่อการควบคุมระดับอุณหภูมิ ในตู้ทดลองทั้ง 16 ตู้ ใช้ระบบควบคุมเวลาอัตโนมัติเพื่อควบคุมระบบเปิด และปิดการทำงาน ของไฟฟ้าในช่วงระยะเวลา 07.00 น. ถึง 17.00 น. (10 ชั่วโมง) ซึ่งเป็นช่วงของการสังเคราะห์แสง ที่มีประสิทธิภาพของพืชทุกวัน ตั้งแต่ระยะถ้วนเหลืองเข้าระยะ V1 จนกระทั่งถึงระยะเก็บเกี่ยว R8 (ภาพ 13)



ภาพ 13 การควบคุมระดับอุณหภูมิในตู้ทดลองโดยใช้ระบบควบคุมเวลาอัตโนมัติ

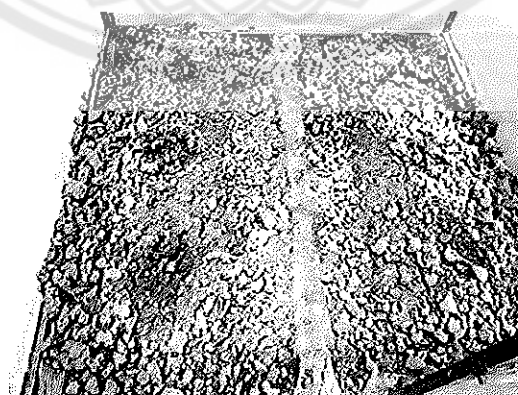
4. การวางแผนการทดลอง วางแผนการทดลองแบบ Randomized Complete Block Design (RCBD) มีจำนวนสิ่งทดลอง (treatment) 4 สิ่งทดลองตามระดับอุณหภูมิที่เพิ่มขึ้น ตามภาพด้านล่าง RCPs และกำหนดให้มี 4 ชั้า ต่อ 1 สิ่งทดลอง (4 replications/treatment) ดังนั้นในการวิจัยจึงกำหนดให้มี 4 สิ่งทดลอง และแต่ละสิ่งทดลองมี 4 ชั้า จะมีจำนวนตู้ทดลองควบคุมอุณหภูมิทั้งหมด 16 ตู้ทดลอง (ภาพ 14)



ภาพ 14 ผังการวางแผนการทดลองแบบ Randomized Complete Block Design (RCBD) มีสิ่งทดลอง 4 รูปแบบ และมี 4 ชั้น

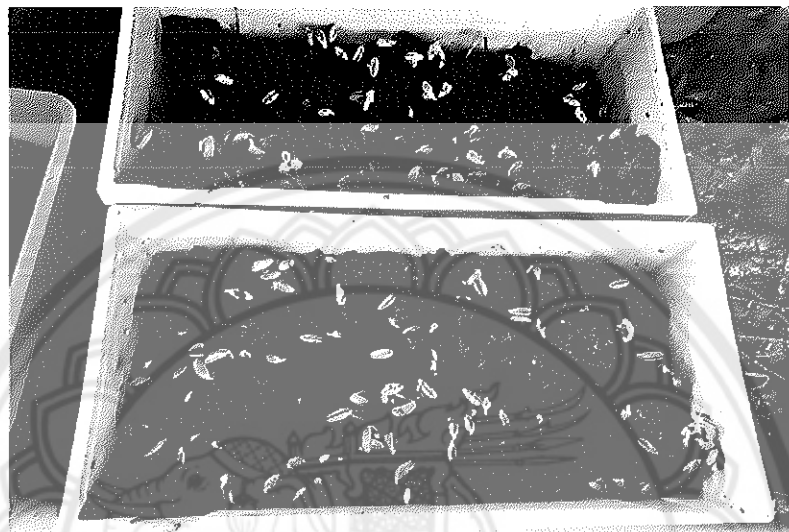
การจัดการการปลูก

- เริ่มปลูกถั่วเหลืองในช่วงต้นเดือนกรกฎาคม พ.ศ. 2560
- ควบคุมดินที่ใช้ปลูกให้เป็นลักษณะเดียวกัน และคำนวณการใช้ปุ๋ยสูตร 15-15-15 ในพื้นที่แต่ละชั้นทดลอง ให้เท่ากันในปริมาณ 3 กรัม/พื้นที่ 1 แปลง (คำนวณจากปริมาณ 25 กิโลกรัม/ไร่)
- เตรียมแปลงปลูกในแต่ละชั้นจำนวน 2 แปลง/ชั้น โดยแต่ละแปลงให้มีพื้นที่กว้าง x ยาว เท่ากับ 20 cm x 120 cm (ภาพ 15)



ภาพ 15 การเตรียมพื้นที่แปลงปลูก

4. เตรียมเพาะเมล็ดถั่วในภาชนะเพื่อเตรียมคัดต้นอ่อนที่มีอัตราการรอต แล้วลักษณะการเจริญเท่าเทียมกัน (อายุประมาณ 3 วัน หลังจากหุงออก: 3 Days of after Emergence : 3 DAE) (ภาพ 16 และ 17)



ภาพ 16 การเพาะเมล็ดถั่วเหลืองในภาชนะเพื่อเตรียมคัดต้นอ่อน



ภาพ 17 ต้นอ่อนที่มีอัตราการรอตเท่าเทียมกัน

5. จัดการร้ายปลูกใน OTC โดยกำหนดให้มีจำนวน 3 หลุม/แปลง และปลูกจำนวน 4 ต้น/หลุม

6. ควบคุมระดับการระดับน้ำให้เท่าเทียมกันโดยใช้ระบบการให้น้ำแบบหยดแบบตั้งเวลาอัตโนมัติ และควบคุมการให้น้ำในปริมาณ และเวลาที่เท่ากัน (ภาพ 18)



ภาพ 18 ระบบการให้น้ำหยดแบบตั้งเวลาอัตโนมัติ

ปัจจัยทางกายภาพที่ศึกษาในตู้ทดลอง

1. ตรวจวัดระดับอุณหภูมิอากาศภายใน OTC 4 ช่วงเวลา ตั้งแต่เริ่มปลูกจนกระทั่งถึงช่วงระยะเวลาเก็บเกี่ยว
2. ตรวจวัดระดับอุณหภูมิในดิน 4 ช่วงเวลา

พารามิเตอร์ที่ต้องการศึกษา

1. ตรวจวัดปริมาณธาตุอาหารในดินก่อนทำการปลูก

ทำการตรวจวัดธาตุอาหารในดินก่อนการปลูกถ้วนเพื่อทดสอบ และยืนยันว่า มีสภาวะที่ไม่แตกต่างกันอย่างมีนัยสำคัญทางสถิติในทุกตู้ทดลอง ปริมาณธาตุอาหารหลักในดิน ได้แก่ ไนโตรเจนทั้งหมด, ไนโตรเจนในรูปแบบที่มีประโยชน์, ฟอสฟอรัสในรูปแบบที่มีประโยชน์ และโพแทสเซียมในรูปแบบที่มีประโยชน์ ซึ่งการวิเคราะห์พารามิเตอร์ดังนี้

1.1 ปริมาณไนโตรเจนทั้งหมด (Total Nitrogen) โดยใช้วิธีการของ Kjeldahl method

1.2 ในต่อเจนในรูปแบบที่มีประโยชน์คือ NH_4^+ , NO_3^- โดยใช้วิธีการของ Steam distillation method

1.3 ฟอสฟอรัสในรูปแบบที่มีประโยชน์ (Monohydrogen Phosphate : HPO_4^{2-}) โดยวิธีใช้น้ำยาสกัดของ Bray II และวัดค่าด้วยเครื่อง Spectrophotometer

1.4 โพแทสเซียมในรูปแบบที่มีประโยชน์ (K^+) โดยวัดค่าด้วยเครื่อง Spectrophotometer

2. องค์ประกอบของผลผลิต (Yield Components)

ทำการเก็บเกี่ยวน้ำฝนหลังระยะ R8 และวิเคราะห์องค์ประกอบผลผลิต และคุณภาพผลผลิตที่สำคัญดังนี้ (Lin et al., 2010)

2.1 จำนวนฝักหั้งหมด/ต้น (Pods/plant) โดยนับเฉพาะฝักที่มีเมล็ด (ไม่นับฝักลีบแบบ)

2.2 จำนวนเมล็ดหั้งหมด/ฝัก (Seeds/pod) โดยนับเฉพาะเมล็ดสมบูรณ์

2.3 จำนวนเมล็ดหั้งหมด/ต้น (Seeds/plant) โดยนับเฉพาะเมล็ดสมบูรณ์

2.4 น้ำหนักเมล็ด 100 เมล็ด (100 – seed weight)

3. สารอาหารสำคัญ

นำเมล็ดที่สมบูรณ์ของแต่ละสิ่งทดลองหั้ง 4 ชั้า ทำการวิเคราะห์คุณภาพสารอาหารในห้องปฏิบัติการดังนี้

3.1 การวิเคราะห์ปริมาณโปรตีนรวม (Crude Protein, CP) โดยวิธีของ AOAC 40.1.06, 1995

3.2 การวิเคราะห์ปริมาณกรดอะมิโน (Amino Acids) โดยวิธีของ AOAC 4.1.13, 1995

วิเคราะห์กรดอะมิโนที่เป็นพารามิเตอร์สำคัญ 3 ชนิด คือ

3.2.1 Lysine

3.2.2 Glycine

3.2.3 Methionine

4. การประชุมถัวเฉลือเป็นผลิตภัณฑ์อาหาร โดยวิธีของ สำนักงานมาตรฐานอุตสาหกรรม, 2546)

เมื่อทำการเก็บเกี่ยวหลังระยะ R8 นำเมล็ดถัวเฉลือหั้ง 4 สิ่งทดลอง มาประชุม เป็นผลิตภัณฑ์เต้าหู้เข็ง เพื่อคุ้ลักษณะของผลิตภัณฑ์ และคุณสมบัติที่เหมาะสมสำหรับการบริโภค ซึ่งขั้นตอนของการประชุมเต้าหู้จากถัวเฉลือมีดังนี้ นำเมล็ดถัวเฉลือมาล้างด้วยน้ำให้สะอาด แห้ง 5-6 ชั่วโมง จากนั้นนำถัวเฉลือมาป่นให้ละเอียดกรองเอกสารถัวเฉลือออก นำน้ำเต้าหู้ที่ได้ไปต้มไฟอ่อนๆ และเติมสารที่ช่วยในการทำให้ตากตะกอนแล้วนำตะกอนที่ได้ส่องแบบพินพท์รองด้วยผ้าขาวบางเพื่อทับน้ำออก จากนั้นจะได้เต้าหู้ที่มีลักษณะเป็นแผ่นหรือก้อน

ระยะเวลาในการทำวิจัย

ทำการวิจัยตั้งแต่ระยะการเติมพื้นที่ปลูก จัดทำระบบตู้ทดลองภาคสนามเพื่อควบคุม อุณหภูมิ และทำการปลูกจนกระทั่งระยะเก็บเกี่ยว และวิเคราะห์คุณภาพสารอาหาร รวมทั้งการ ประชุมเต้าหู้ กระบวนการหั่นห่อมครั้งแรกตั้งแต่เดือนกรกฎาคม-ตุลาคม พ.ศ. 2560

สถิติการวิจัย

ในการศึกษาผู้วิจัยวางแผนการทดลองโดยกำหนดให้มีความแตกต่างระหว่าง 4 สิ่งทดลอง มี 1 ตัวแปร ดังนี้เลือกวิเคราะห์ทางสถิติโดยวิธี F-Test และเลือกวิเคราะห์แบบ One Way ANOVA และเลือกวิธี Duncan's Multiple Range Test (DMRT) ทดสอบเปรียบเทียบ ความสัมพันธ์ระหว่าง 4 สิ่งทดลอง

บทที่ 4

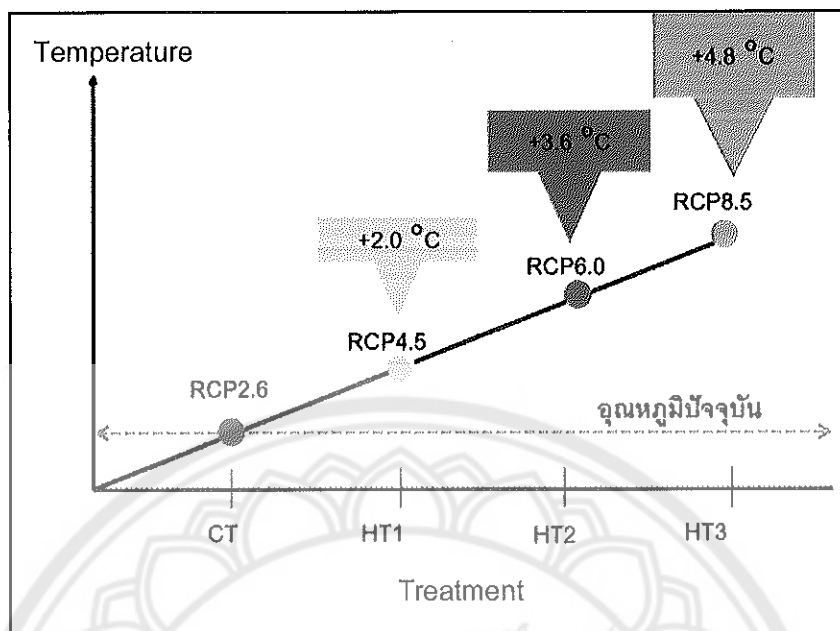
ผลการวิจัย

การประเมินผลกระทบของอุณหภูมิที่เพิ่มขึ้นตามแนวโน้มสภาวะโลกร้อนที่มีต่อผลผลิตคุณภาพสารอาหารที่สำคัญและคุณลักษณะที่สำคัญบางประการของผลิตภัณฑ์จากถั่วเหลืองพันธุ์เขียงใหม่ 60 ผลของการวิจัยมีดังต่อไปนี้

ระดับอุณหภูมิที่ควบคุม

1. ระดับอุณหภูมิภายในตู้ทดลอง

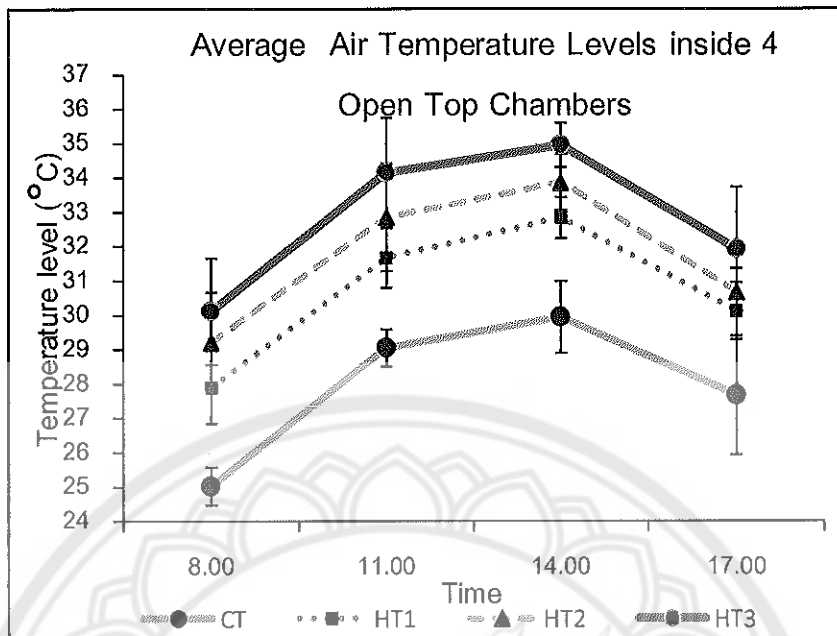
จากการควบคุมระดับอุณหภูมิให้เพิ่มสูงขึ้นในระดับที่แตกต่างกันตามแนวโน้มสภาวะโลกร้อน ซึ่งได้ควบคุมระดับอุณหภูมิตามสภาพชายอนาคต Representative Concentration Pathways (RCPs) ที่มีผลต่อผลผลิต และคุณภาพสารอาหารที่สำคัญในถั่วเหลืองพันธุ์เขียงใหม่ 60 โดยมีการควบคุมระดับอุณหภูมิภายในตู้ทดลองให้มีความแตกต่างกัน 4 ระดับ โดยใช้ระบบอิเลคทรอนิกส์ร่วมกับสภาวะธรรมชาติใน 4 สิ่งทดลอง (4ชั้น) จำนวน 16 ตู้ และในการควบคุมระดับอุณหภูมิในตู้ทดลองทั้งหมด 16 ตู้ จะมีการใช้ระบบควบคุมเวลาอัตโนมัติเพื่อควบคุมระบบเปิด และปิดการทำงานของไฟฟ้าในช่วงระยะเวลา 07.00 น. ถึง 17.00 น. (10 ชั่วโมง) ซึ่งเป็นช่วงเวลาที่พืชมีการสังเคราะห์แสงที่มีประสิทธิภาพ โดยใช้ระยะเวลาตั้งแต่ถั่วเหลืองเข้าระยะที่ V1 จนกระทั่งสิ่งระยะเก็บเกี่ยว R8 (ภาค 19) นอกจากนี้ได้ทำการจดบันทึกผลของระดับอุณหภูมิอากาศภายนอกในตู้ทดลอง และอุณหภูมิในดินภายในตู้ทดลอง 4 ช่วงเวลาใน 1 วัน ดังนี้ 08.00 น., 11.00 น., 14.00 น. และ 17.00 น. จากการศึกษาพบว่าสามารถควบคุมระดับของอุณหภูมิให้มีความแตกต่างกันในแต่ละสิ่งทดลองตลอดระยะเวลาการทดลอง โดยพบว่าค่าเฉลี่ยในการควบคุมอุณหภูมิทั้ง 4 สิ่งทดลอง นั้นมีระดับอุณหภูมิเป็นไปตามแบบจำลองสภาพชายอนาคต RCP2.6, RCP4.5, RCP6.0 และ RCP8.5 ตามรายงานของ IPCC (ตาราง 7 และภาค 20)



ภาพ 19 การควบคุมระดับอุณหภูมิทั้ง 4 สิ่งทดลอง ตามแบบจำลอง
สภาพอากาศ RCP2.6, RCP4.5, RCP6.0 และ RCP8.5

ตาราง 7 เวลาและค่าเฉลี่ยของระดับอุณหภูมิที่เพิ่มขึ้นจากการตรวจวัดในตู้ทดลอง

สิ่งทดลอง	เวลา และระดับอุณหภูมิ ($^{\circ}\text{C}$)				ค่าเฉลี่ย ทั้งวัน
	08.00 น.	11.00 น.	14.00 น.	17.00 น.	
CT	25.02 ± 0.56	29.04 ± 0.54	29.94 ± 1.05	27.67 ± 1.74	28 ± 2.14
HT1	27.90 ± 1.07	31.67 ± 0.87	32.83 ± 0.59	30.11 ± 0.83	30 ± 2.13
HT2	29.21 ± 1.46	32.84 ± 1.57	33.87 ± 0.81	30.67 ± 0.70	31.6 ± 2.10
HT3	30.10 ± 1.54	34.14 ± 1.61	34.95 ± 0.64	31.92 ± 1.81	32.8 ± 2.20



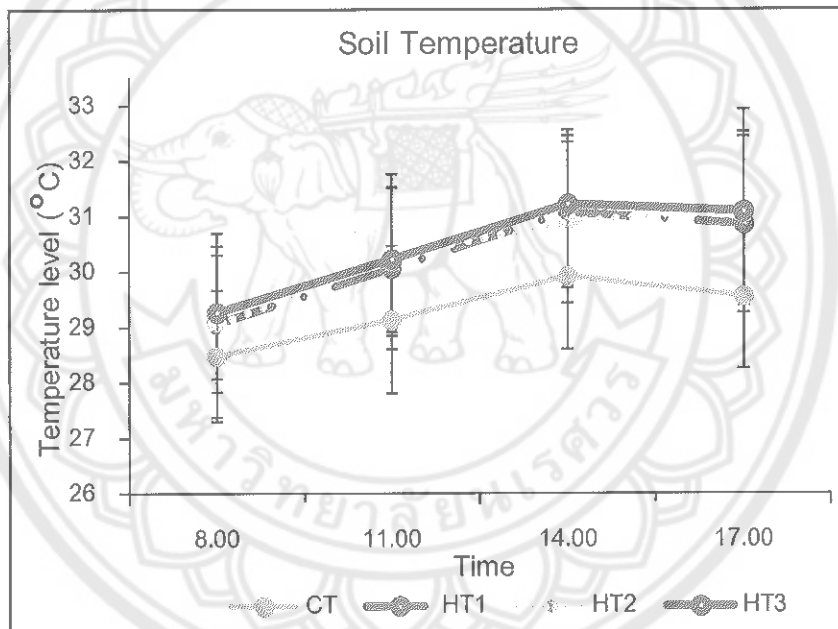
ภาพ 20 ค่าเฉลี่ยของระดับอุณหภูมิอากาศภายในตู้สิ่งที่ดลองทั้ง 4 ระดับ

2. อุณหภูมิในตู้ทดลอง

จากการตรวจวัดระดับอุณหภูมิในดินภายในตู้ทดลอง โดยมีการควบคุมระดับอุณหภูมิภายในตู้ทดลอง ให้มีความแตกต่างกัน 4 ระดับ โดยจะมีการใช้ระบบควบคุมเวลาอัตโนมัติ เพื่อควบคุมระบบเปิด และปิดการทำงานของไฟฟ้าในช่วงระยะเวลา 07.00 น. ถึง 17.00 น. (10 ชั่วโมง) และได้ทำการจดบันทึกผลของระดับอุณหภูมิ 4 ช่วงเวลาใน 1 วัน ดังนี้ 08.00 น., 11.00 น., 14.00 น. และ 17.00 น. จากการศึกษาพบว่าระดับอุณหภูมิภายในดิน ค่าเฉลี่ยใน 4 สิ่งที่ดลอง CT, HT1, HT2 และ HT3 มีความแตกต่างกันอย่างมีนัยสำคัญ (ตาราง 8 และภาพ 21)

ตาราง 8 เวลาและค่าเฉลี่ยของระดับอุณหภูมิในดินจากการตรวจวัดในตู้ทดลอง

สิ่งทดลอง	เวลา และระดับอุณหภูมิในดิน ($^{\circ}\text{C}$)					ค่าเฉลี่ย ทั้งวัน
	08.00 น.	11.00 น.	14.00 น.	17.00 น.		
CT	28.0±1.2	28.6±1.3	29.4±1.3	29.1±1.3	28.8±0.5	
HT1	28.6±1.2	29.6±1.5	30.6±1.4	30.4±1.6	29.8±0.8	
HT2	28.5±1.7	29.8±1.5	30.4±1.4	30.7±1.8	29.8±0.8	
HT3	28.8±1.2	29.7±1.3	30.7±1.3	30.6±1.4	29.9±0.8	



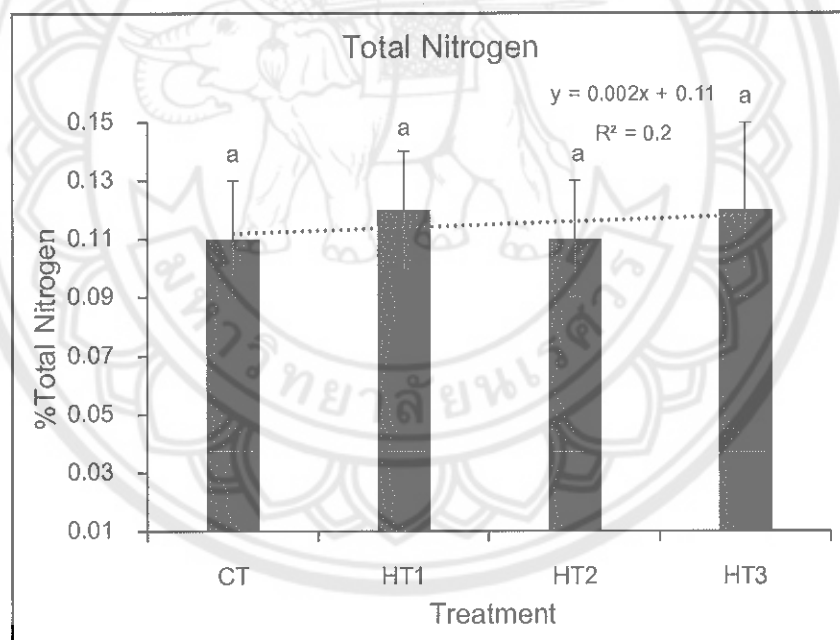
ภาพ 21 ค่าเฉลี่ยของระดับอุณหภูมิในดินภายใต้สิ่งทดลองทั้ง 4 ระดับ

ระดับธาตุอาหารในดิน

1. ปริมาณธาตุอาหารในดินก่อนปลูก

ทำการตรวจวัดปริมาณธาตุอาหารในดินก่อนปลูกเพื่อทดสอบ และยืนยันว่า สภาพของดินไม่มีความแตกต่างกันอย่างมีนัยสำคัญทางสถิติในทุกตัวแปร และปริมาณธาตุอาหารในดินที่ทำการตรวจวัด ได้แก่ ในโตรเจนทั้งหมด, ในไตรเจนในรูปแบบที่มีประโยชน์, ฟอสฟอรัสในรูปแบบที่มีประโยชน์ และโพแทสเซียมในรูปแบบที่มีประโยชน์

1.1 ปริมาณในโตรเจนทั้งหมด (Total Nitrogen) จากการศึกษาของปริมาณในโตรเจนทั้งหมดในดินก่อนปลูก พบว่าปริมาณในโตรเจนทั้งหมดในดินไม่มีความแตกต่างกันอย่างมีนัยสำคัญทางสถิติ ($P>0.05$) ซึ่งมีปริมาณโดยเฉลี่ยใน 4 สิ่งทดลอง เท่ากับ 0.108 ± 0.022 , 0.117 ± 0.016 , 0.109 ± 0.015 และ 0.124 ± 0.031 %T-N ในสิ่งทดลอง CT, HT1, HT2 และ HT3 ตามลำดับ (ภาพ 22)

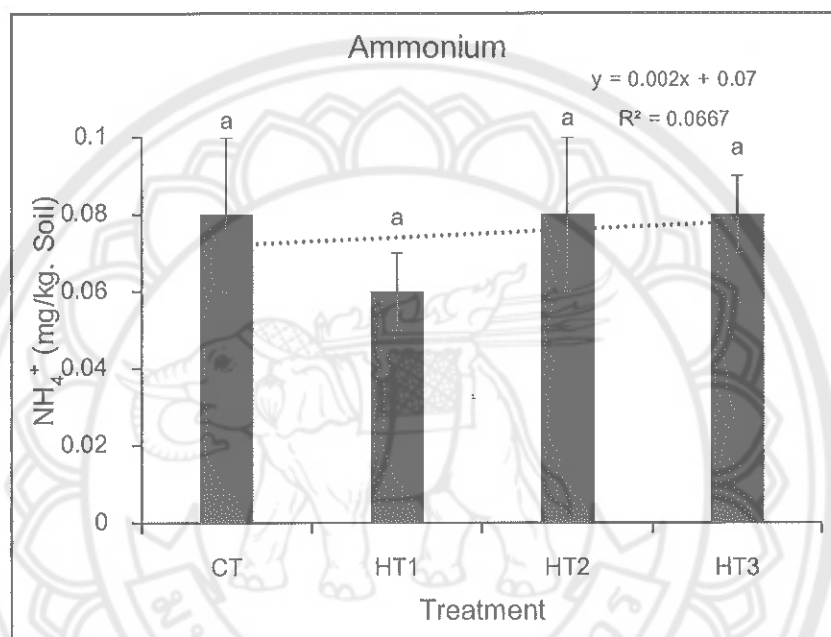


ภาพ 22 ปริมาณในโตรเจนทั้งหมดในดินก่อนปลูกในระดับอุณหภูมิที่แตกต่างกัน

หมายเหตุ: ตัวอักษรที่เหมือนกันแสดงถึงความไม่แตกต่างกันอย่างมีนัยสำคัญทางสถิติ $P>0.05$

ของค่าเบี่ยงเบนมาตรฐาน (Standard Deviation: SD)

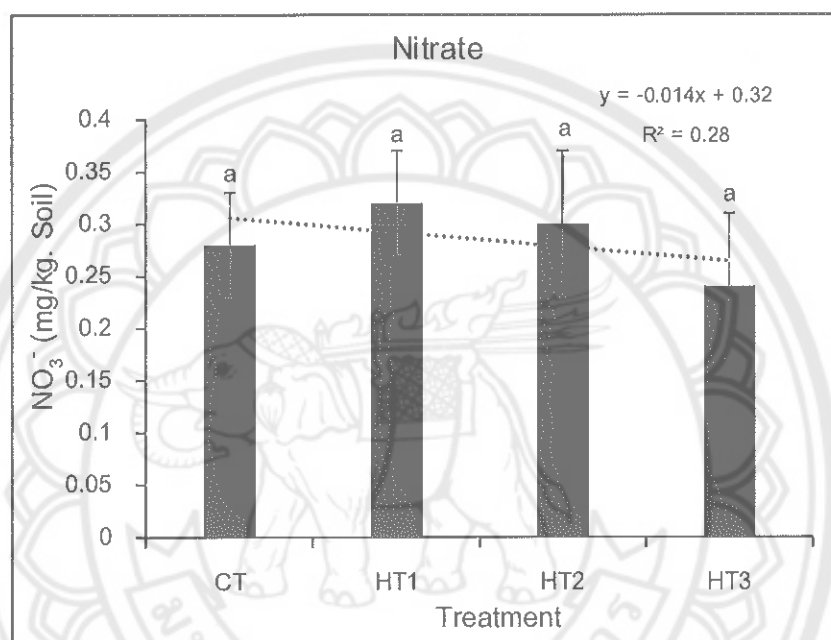
1.2 ปริมาณในต่อเจนในรูปแบบที่มีประโยชน์ในรูปของแอมโมเนียม (Ammonium: NH_4^+) จากการศึกษาปริมาณของแอมโมเนียมในดินก่อนปลูก พบร่วมปริมาณแอมโมเนียมในดินไม่มีความแตกต่างกันอย่างมีนัยสำคัญทางสถิติ ($P>0.05$) ซึ่งมีปริมาณโดยเฉลี่ยใน 4 สิ่งทดลองเท่ากับ 0.085 ± 0.018 , 0.058 ± 0.010 , 0.082 ± 0.021 และ $0.085\pm0.011 \text{ mg/kg}$. Soil ในสิ่งทดลอง CT, HT1, HT2 และ HT3 ตามลำดับ (ภาพ 23)



ภาพ 23 ปริมาณแอมโมเนียมในดินก่อนปลูกในระดับอุณหภูมิที่แตกต่างกัน

หมายเหตุ: ตัวอักษรที่เหมือนกันแสดงถึงความไม่แตกต่างกันอย่างมีนัยสำคัญทางสถิติ $P>0.05$
ของค่าเบี่ยงเบนมาตรฐาน (Standard Deviation: SD)

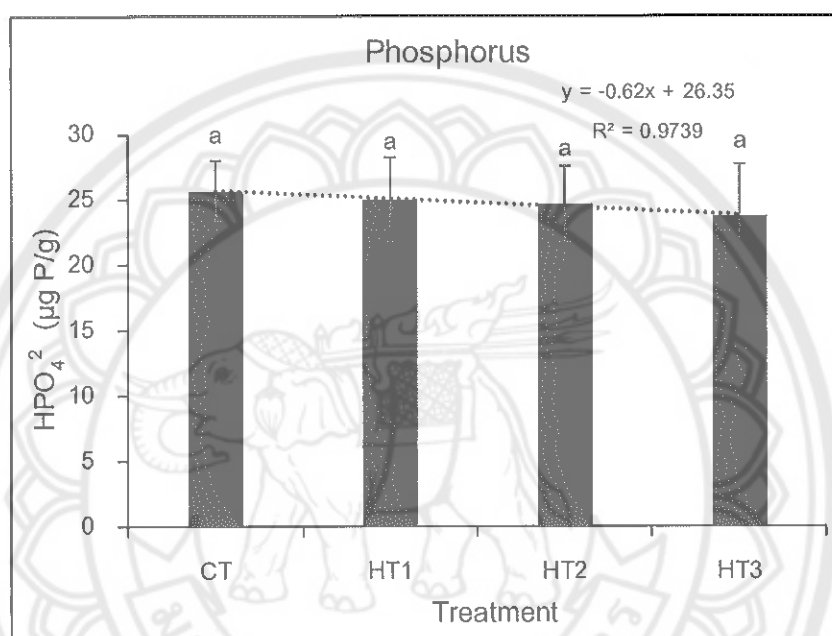
1.3 ปริมาณไนโตรเจนในรูปแบบที่เป็นประไนเตรต (NO_3^-) จากการศึกษาปริมาณไนโตรเจนในดินก่อนปลูก พบว่าปริมาณของไนโตรเจนในดินไม่มีความแตกต่างกันอย่างมีนัยสำคัญทางสถิติ ($P>0.05$) มีปริมาณโดยเฉลี่ยใน 4 สิ่งทดลอง เท่ากับ 0.277 ± 0.053 , 0.315 ± 0.049 , 0.303 ± 0.069 และ $0.236\pm0.069 \text{ mg/kg}$. Soil ในสิ่งทดลอง CT, HT1, HT2 และ HT3 ตามลำดับ (ภาพ 24)



ภาพ 24 ปริมาณธาตุอาหารในเตรอทในดินก่อนปลูกในระดับอุณหภูมิที่แตกต่างกัน

หมายเหตุ: ตัวอักษรที่เหมือนกันแสดงถึงความไม่แตกต่างกันอย่างมีนัยสำคัญทางสถิติ $P>0.05$
ของค่าเบี่ยงเบนมาตรฐาน (Standard Deviation: SD)

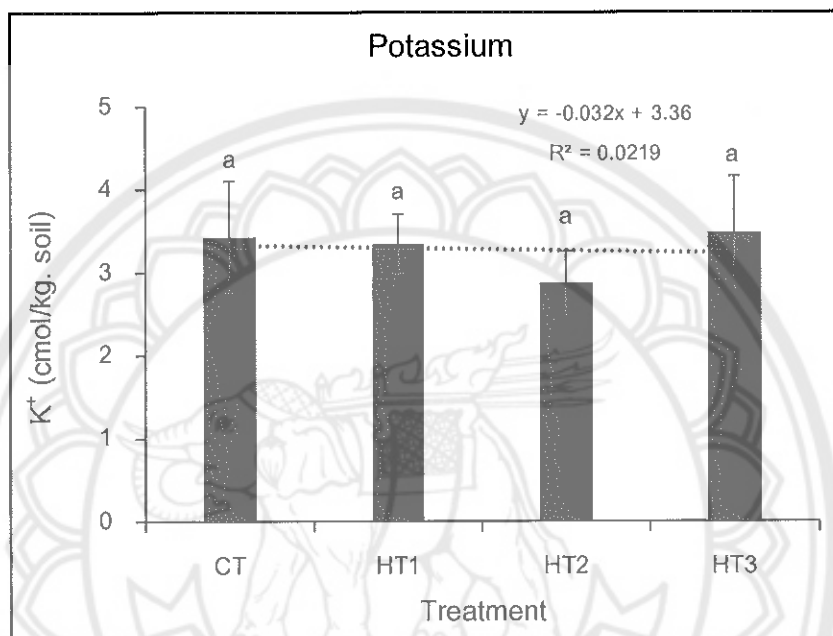
1.4 ฟอสฟอรัสในรูปแบบที่มีประโยชน์ (Monohydrogen Phosphate : HPO_4^{2-}) จากการศึกษาฟอสฟอรัสในดินก่อนปลูก พบว่าปริมาณฟอสฟอรัสในดินที่เป็นประโยชน์ไม่มีความแตกต่างกันอย่างมีนัยสำคัญทางสถิติ ($P>0.05$) มีปริมาณโดยเฉลี่ยใน 4 สิ่งทดลอง เท่ากับ 25.70 ± 2.30 , 25.06 ± 3.22 , 24.68 ± 2.91 และ $23.76\pm3.97 \mu\text{g P/g}$ ในสิ่งทดลอง CT, HT1, HT2 และ HT3 ตามลำดับ (ภาพ 25)



ภาพ 25 ปริมาณธาตุอาหารฟอสฟอรัสในดินก่อนปลูกในระดับอุณหภูมิที่แตกต่างกัน

หมายเหตุ: ตัวอักษรที่เหมือนกันแสดงถึงความไม่แตกต่างกันอย่างมีนัยสำคัญทางสถิติ $P>0.05$
ของค่าเบี่ยงเบนมาตรฐาน (Standard Deviation: SD)

1.5 โพแทสเซียมในรูปแบบที่มีประไนซ์ (K^+) จากการศึกษาโพแทสเซียมในดินก่อนปลูกพบว่าปริมาณโพแทสเซียมในดินไม่มีความแตกต่างกันอย่างมีนัยสำคัญทางสถิติ ($P>0.05$) มีปริมาณโดยเฉลี่ยใน 4 สิ่งทดลอง เท่ากับ 3.430 ± 0.671 , 3.343 ± 0.356 , 2.868 ± 0.394 และ 3.481 ± 0.679 cmol/kg. soil ในสิ่งทดลอง CT, HT1, HT2 และ HT3 ตามลำดับ (ภาพ 26)



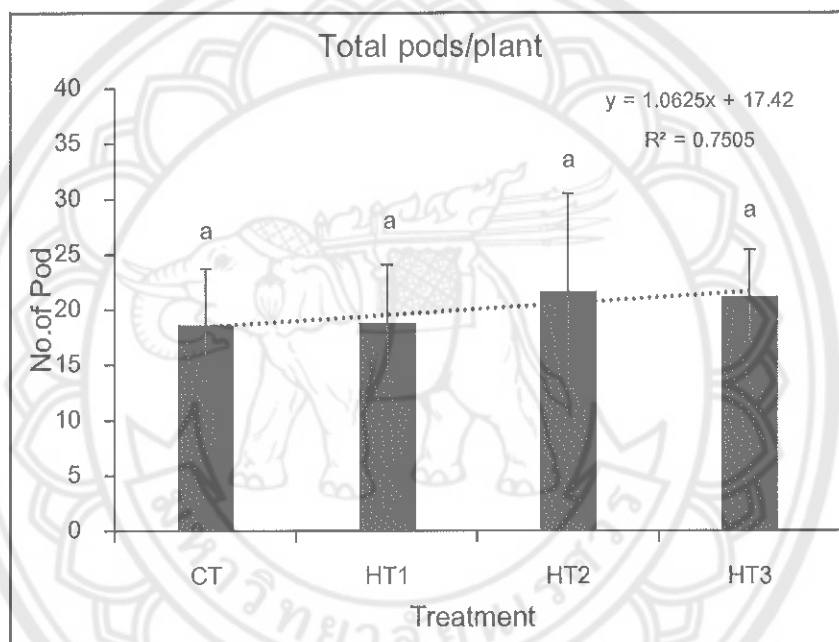
ภาพ 26 ปริมาณธาตุอาหารโพแทสเซียมในดินก่อนปลูกในระดับอุณหภูมิที่แตกต่างกัน

หมายเหตุ: ตัวอักษรที่เหมือนกันแสดงถึงความไม่แตกต่างกันอย่างมีนัยสำคัญทางสถิติ $P>0.05$
ของค่าเบี่ยงเบนมาตรฐาน (Standard Deviation: SD)

องค์ประกอบของผลผลิต

1. จำนวนฝักทั้งหมด/ต้น (Pods/plant)

จากการศึกษาจำนวนฝักทั้งหมด/ต้น พบว่าลักษณะของฝักถ้วนเหลืองที่ทำการปลูกภายใต้สภาวะระดับอุณหภูมิที่เพิ่มขึ้นไม่มีความแตกต่างกันอย่างมีนัยสำคัญทางสถิติ ($P>0.05$) ใน 4 สิ่งทดลอง CT, HT1, HT2 และ HT3 ซึ่งมีจำนวนเท่ากับ 18.63 ± 5.08 , 18.79 ± 5.26 , 21.65 ± 8.88 และ 21.22 ± 4.15 ฝัก/ต้น ตามลำดับ (ภาพ 27) แต่ในสิ่งทดลอง HT2 และ HT3 พบว่า มีลักษณะของฝักลีบแบบอย่างชัดเจน



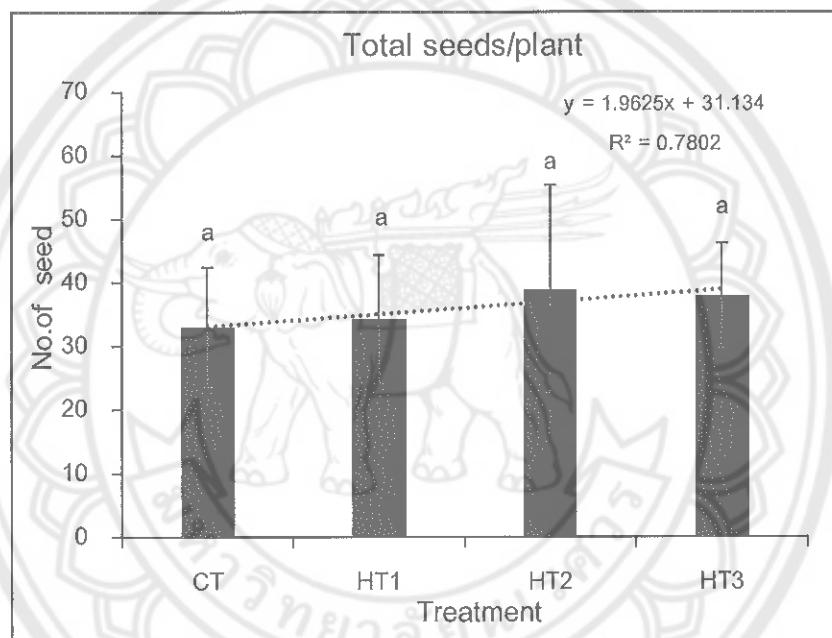
ภาพ 27 จำนวนฝักทั้งหมด/ต้น (Pods/plant)

หมายเหตุ: ตัวอักษรที่เหมือนกันแสดงถึงความไม่แตกต่างกันอย่างมีนัยสำคัญทางสถิติ $P>0.05$

ของค่าเบี่ยงเบนมาตรฐาน (Standard Deviation: SD)

2. จำนวนเมล็ดทั้งหมด/ต้น (Seeds/plant) โดยนับรวมเมล็ดลีบ

จากผลการศึกษาจำนวนเมล็ดทั้งหมด/ต้น โดยนับรวมเมล็ดลีบ พบร่องสักชณะของเมล็ดถ้วนเหลืองที่ทำการปลูกภายใต้สภาพระดับอุณหภูมิที่เพิ่มขึ้น ไม่มีความแตกต่างกันอย่างมีนัยสำคัญทางสถิติ ($P>0.05$) ใน 4 สิ่งทดลอง CT, HT1, HT2 และ HT3 มีจำนวนเท่ากับ 32.97 ± 9.45 , 34.28 ± 10.11 , 38.96 ± 16.33 และ 37.96 ± 8.24 เมล็ด/ต้น ตามลำดับ (ภาพ 28) แต่ในสิ่งทดลอง HT2 และ HT3 แม้ว่าจะมีจำนวนเมล็ดทั้งหมด/ต้น ในปริมาณที่เพิ่มสูงขึ้น แต่สักชณะของเมล็ดลีบเบนอย่างเห็นได้อย่างชัดเจน เนื่องจากสิ่งทดลอง CT และ HT1

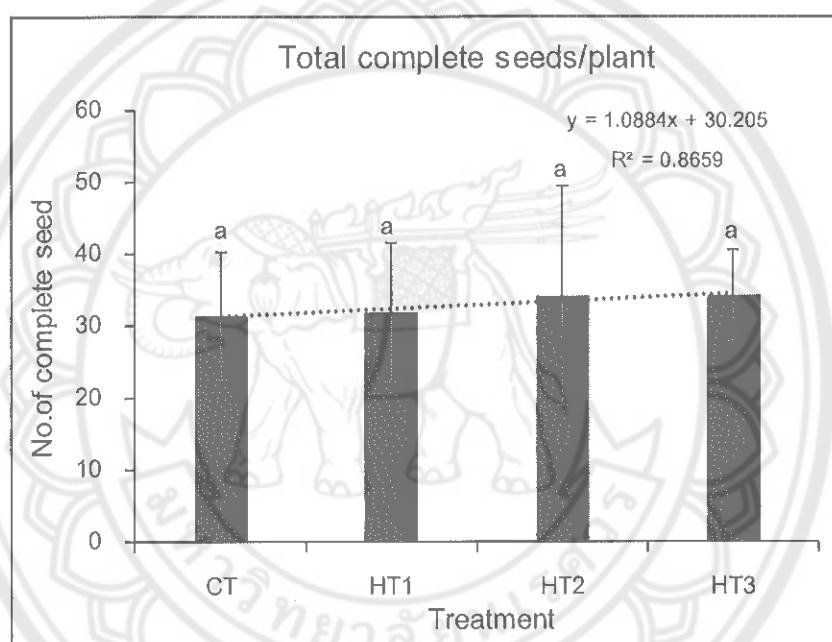


ภาพ 28 จำนวนเมล็ดทั้งหมด/ต้น (Seeds/plant) โดยนับรวมเมล็ดลีบ

หมายเหตุ: ตัวอักษรที่เหมือนกันแสดงถึงความไม่แตกต่างกันอย่างมีนัยสำคัญทางสถิติ $P>0.05$
ของค่าเบี่ยงเบนมาตรฐาน (Standard Deviation: SD)

3. จำนวนเมล็ดทั้งหมด/ต้น (Seeds/plant) โดยไม่นับรวมเมล็ดลีบ

จากผลการศึกษาจำนวนเมล็ดทั้งหมด/ต้น โดยไม่นับรวมเมล็ดลีบ พบร่องรอยของเมล็ดถ้วนเหลืองที่ทำการปลูกภายใต้สภาพระดับอุณหภูมิที่เพิ่มขึ้น ไม่มีความแตกต่างกันอย่างมีนัยสำคัญทางสถิติ ($P>0.05$) ใน 4 สิ่งทดลอง CT, HT1, HT2 และ HT3 มีจำนวนเท่ากับ 31.39 ± 8.88 , 31.87 ± 9.72 , 34.21 ± 15.28 และ 34.24 ± 6.33 เมล็ด/ต้น ตามลำดับ (ภาพ 29) แต่ในสิ่งทดลอง HT2 และ HT3 แม้ว่าจะมีจำนวนเมล็ดทั้งหมด/ต้น ในปริมาณที่เพิ่มสูงขึ้น แต่ลักษณะของเมล็ดมีขนาดเล็กอย่างเห็นได้อย่างชัดเจน เมื่อเทียบกับสิ่งทดลอง CT และ HT1



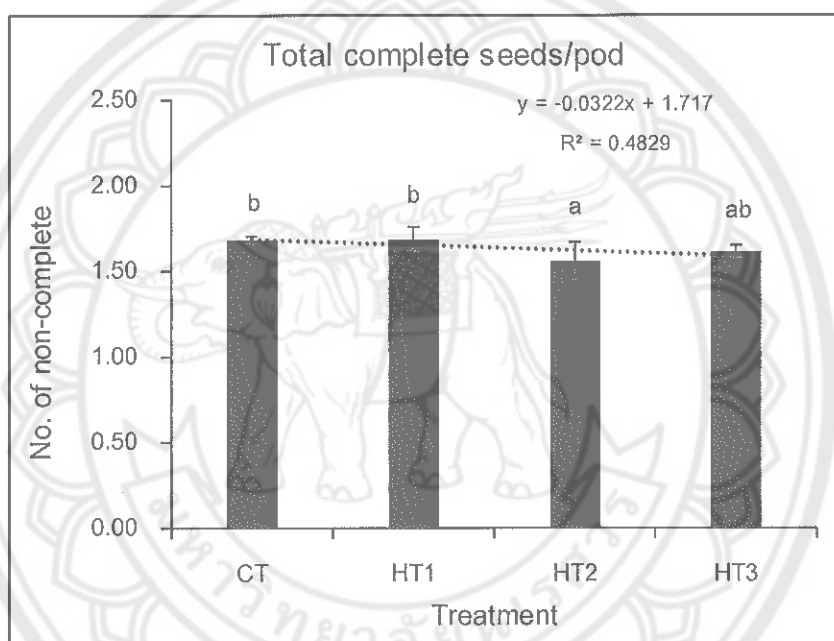
ภาพ 29 จำนวนเมล็ดทั้งหมด/ต้น (Seeds/plant) โดยไม่นับรวมเมล็ดลีบ

หมายเหตุ: ตัวอักษรที่เหมือนกันแสดงถึงความไม่แตกต่างกันอย่างมีนัยสำคัญทางสถิติ $P>0.05$

ของค่าเบี่ยงเบนมาตรฐาน (Standard Deviation: SD)

4. จำนวนเมล็ดทั้งหมด/ฝัก (Seeds/pod) โดยนับเฉพาะเมล็ดสมบูรณ์

จากการศึกษาจำนวนเมล็ดทั้งหมด/ฝัก โดยนับเฉพาะเมล็ดสมบูรณ์ พบว่า ลักษณะของเมล็ดถั่วเหลืองที่ทำการปลูกภายใต้สภาวะระดับอุณหภูมิที่เพิ่มขึ้น ในสิ่งทดลอง CT, HT1, HT2 และ HT3 มีจำนวนเท่ากัน 1.68 ± 0.02 , 1.69 ± 0.07 , 1.56 ± 0.11 และ 1.62 ± 0.03 เมล็ด/ฝัก ตามลำดับ (ภาพ 30) และในสิ่งทดลอง CT, HT1 และ HT3 ไม่มีความแตกต่างกันอย่างมีนัยสำคัญทางสถิติ ($P > 0.05$) แต่ในสิ่งทดลอง HT2 มีจำนวนเมล็ดทั้งหมด/ฝักลดลง 7.1% และมีความแตกต่างกันอย่างมีนัยสำคัญทางสถิติ ($P < 0.05$) เมื่อเปรียบเทียบกับสิ่งทดลอง CT



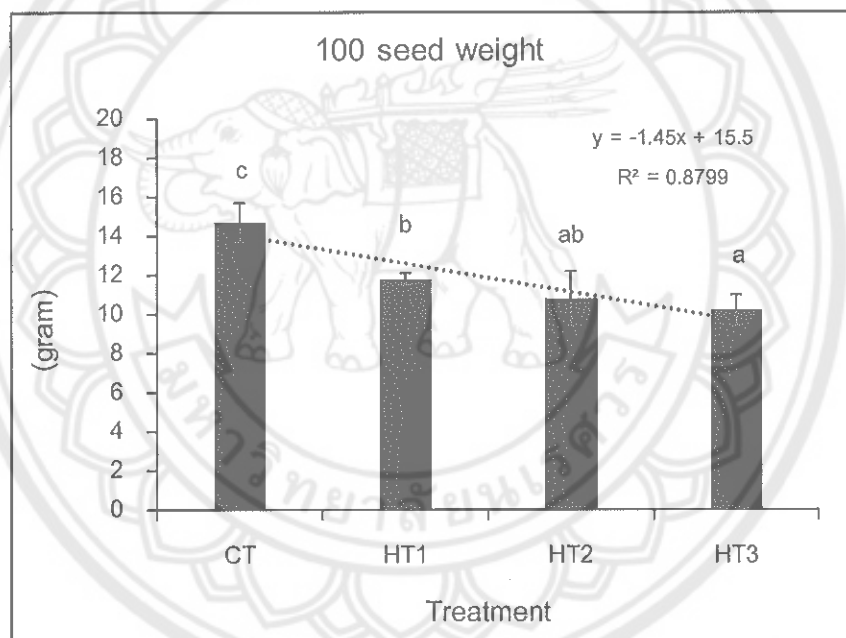
ภาพ 30 จำนวนเมล็ดทั้งหมด/ฝัก (Seeds/pod) โดยนับเฉพาะเมล็ดสมบูรณ์

หมายเหตุ: ตัวอักษรที่เหมือนกันแสดงถึงความไม่แตกต่างกันอย่างมีนัยสำคัญทางสถิติ $P > 0.05$

ของค่าเบี่ยงเบนมาตรฐาน (Standard Deviation: SD)

5. น้ำหนักเมล็ด 100 เมล็ด (100 – seed weight)

จากผลการศึกษาการวิเคราะห์น้ำหนัก 100 เมล็ด (100 – seed weight) พบว่า ลักษณะของเมล็ดถ้วนเหลืองที่ทำการปลูกภายใต้สภาวะระดับอุณหภูมิที่เพิ่มขึ้น มีความแตกต่างกันอย่างมีนัยสำคัญทางสถิติ ($P<0.05$) ใน 4 สิ่งทดลอง CT, HT1, HT2 และ HT3 ทั้ง 4 สิ่งทดลอง มีน้ำหนักเมล็ด 100 เมล็ด เท่ากับ 14.70 ± 1.00 , 11.80 ± 0.30 , 10.80 ± 1.40 และ 10.20 ± 0.80 กรัม ตามลำดับ (ภาพ 31) เมื่อพิจารณาผลการวิเคราะห์ในสิ่งทดลอง HT3 พบว่ามีขนาดของเมล็ดลดลงมากที่สุด 31 % และในสิ่งทดลอง HT1 และ HT2 มีขนาดของเมล็ดลดลงร่องลงมา 20 % และ 27 % เมื่อเทียบกับสิ่งทดลอง CT ตามลำดับ ซึ่งแปรผันตามระดับอุณหภูมิที่เพิ่มขึ้นตามสภาพชายานาคต RCPs เมื่อทดสอบด้วยค่า R^2 พบว่ามีระดับสูงถึง 0.8

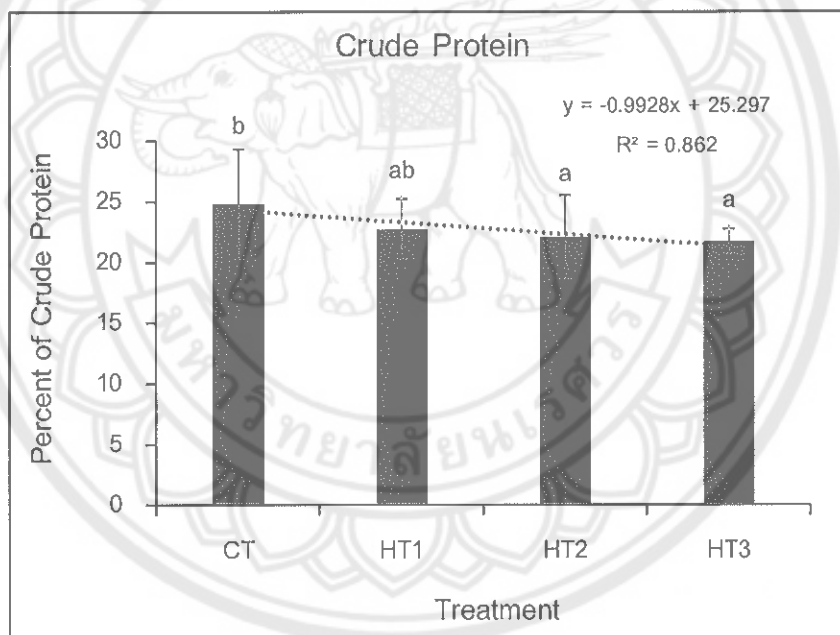


ภาพ 31 น้ำหนักเมล็ด 100 เมล็ด (100-seed weight)

หมายเหตุ: ตัวอักษรที่ต่างกันแสดงถึงความแตกต่างกันอย่างมีนัยสำคัญทางสถิติ $P<0.05$
ของค่าเบี่ยงเบนมาตรฐาน (Standard Deviation: SD)

ปริมาณโปรตีนในเมล็ด

จากการศึกษาปริมาณโปรตีนในเมล็ดถั่วเหลืองพันธุ์เชียงใหม่ 60 ที่ทำการปลูกภายใต้สภาวะระดับอุณหภูมิที่เพิ่มขึ้นพบว่าในสิ่งทดลอง CT, HT1, HT2 และ HT3 มีปริมาณโปรตีนในเมล็ดเท่ากับ 24.79 ± 4.52 , 22.72 ± 2.49 , 22.05 ± 3.46 และ $21.70 \pm 1.02\%$ (ภาพ 32) และในสิ่งทดลอง HT1 เมื่อเปรียบเทียบกับสิ่งทดลอง CT ไม่มีความแตกต่างกันอย่างมีนัยสำคัญทางสถิติ ($P > 0.05$) แต่ในสิ่งทดลอง HT2 และ HT3 มีความแตกต่างกันอย่างมีนัยสำคัญทางสถิติ ($P < 0.05$) โดยปริมาณโปรตีนในเมล็ดลดลง 11 % และ 12 % เมื่อเปรียบเทียบกับสิ่งทดลอง CT ตามลำดับ จากผลการศึกษาแสดงให้เห็นอย่างชัดเจนว่าถั่วเหลืองที่ปลูกภายใต้สภาวะระดับอุณหภูมิที่เพิ่มขึ้นส่งผลให้ปริมาณโปรตีนในเมล็ดลดลง ซึ่งแปรผันตามระดับอุณหภูมิที่เพิ่มขึ้นตามภาพขยายอนาคต RCPs เมื่อทดสอบด้วยค่า R^2 พบว่ามีค่าสูงถึง 0.8



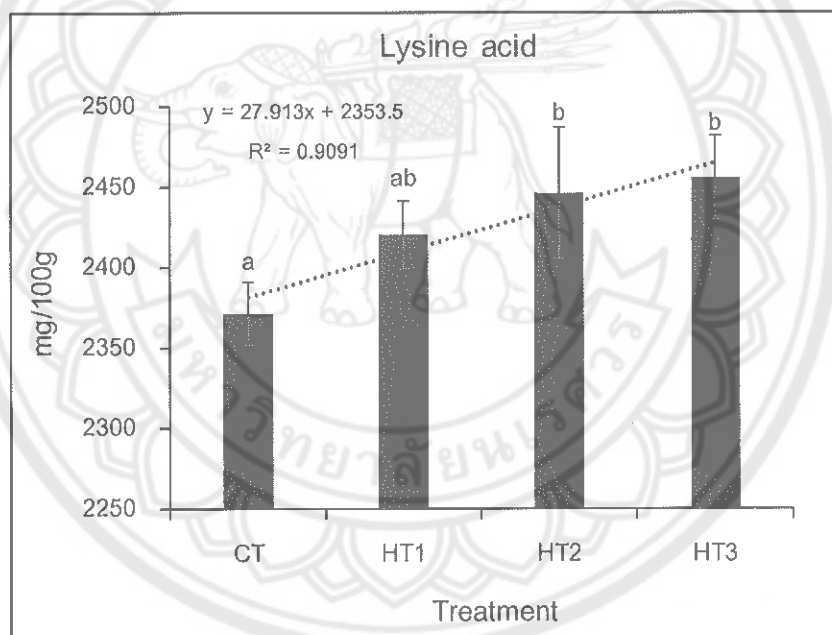
ภาพ 32 ปริมาณโปรตีนในเมล็ด (Crude protein)

หมายเหตุ: ตัวอักษรที่ต่างกันแสดงถึงความแตกต่างกันอย่างมีนัยสำคัญทางสถิติ $P < 0.05$
ของค่าเบี่ยงเบนมาตรฐาน (Standard Deviation: SD)

ปริมาณกรดอะมิโนในเมล็ด

1. Lysine acid

จากผลการศึกษาปริมาณกรดอะมิโน Lysine ในเมล็ดตัวเหลืองพันธุ์เชียงใหม่ 60 ที่ทำการปลูกภายใต้สภาวะระดับอุณหภูมิที่เพิ่มขึ้น พบว่าในสิ่งทดลอง CT, HT1, HT2 และ HT3 มีปริมาณเท่ากับ 2371.30 ± 19.56 , 2420.04 ± 21.13 , 2446.25 ± 40.50 และ 2455.60 ± 26.22 mg/100g ตามลำดับ (ภาพ 33) และในสิ่งทดลอง HT1 เมื่อเปรียบเทียบกับสิ่งทดลอง CT ไม่มีความแตกต่างกันอย่างมีนัยสำคัญทางสถิติ ($P > 0.05$) แต่ในสิ่งทดลอง HT2 และ HT3 มีความแตกต่างกันอย่างมีนัยสำคัญทางสถิติ ($P < 0.05$) โดยมีปริมาณกรดอะมิโน Lysine ในเมล็ดเพิ่มขึ้น 3 % และ 4 % เมื่อเปรียบเทียบกับสิ่งทดลอง CT ตามลำดับ ซึ่งแปรผันตามระดับอุณหภูมิที่เพิ่มขึ้นตามสภาพขยายอุณหภูมิ RCPs เมื่อทดสอบด้วยค่า R^2 พบว่ามีค่าสูงถึง 0.9

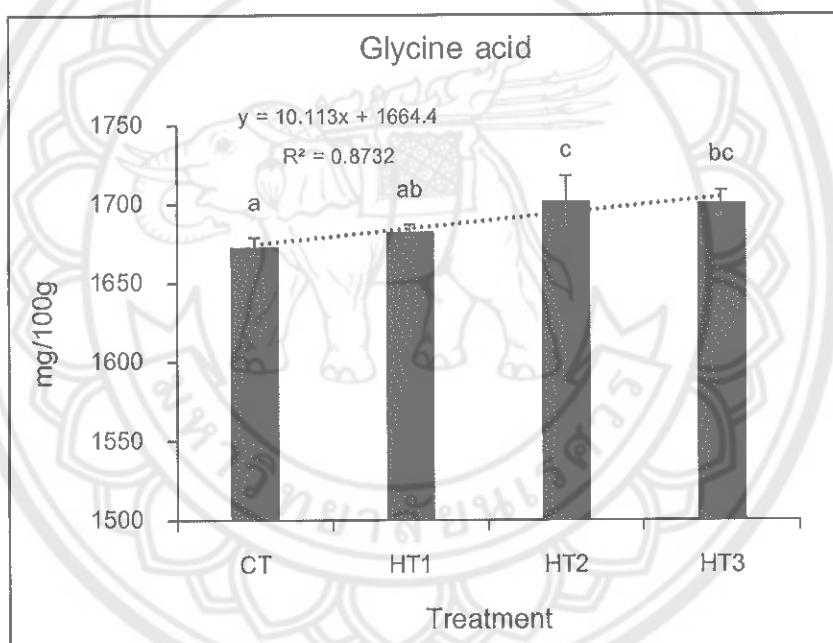


ภาพ 33 ปริมาณกรดอะมิโน Lysine

หมายเหตุ: ตัวอักษรที่ต่างกันแสดงถึงความแตกต่างกันอย่างมีนัยสำคัญทางสถิติ $P < 0.05$
ของค่าเบี่ยงเบนมาตรฐาน (Standard Deviation: SD)

2. Glycine acid

จากการศึกษาปริมาณกรดอะมิโน Glycine ในเมล็ดถั่วเหลืองพันธุ์เจียงใหม่ 60 ที่ทำการปลูกภายใต้สภาวะระดับอุณหภูมิที่เพิ่มขึ้นพบว่าในสิ่งทดลอง CT, HT1, HT2 และ HT3 มีปริมาณเท่ากับ 1673.27 ± 5.65 , 1682.90 ± 4.10 , 1701.95 ± 16.10 และ 1700.63 ± 8.19 mg/100g ตามลำดับ (ภาพ 34) และในสิ่งทดลอง HT1 เมื่อเปรียบเทียบกับสิ่งทดลอง CT ไม่มีความแตกต่าง กันอย่างมีนัยสำคัญทางสถิติ ($P > 0.05$) แต่ในสิ่งทดลอง HT2 และ HT3 มีความแตกต่างกัน อย่างมีนัยสำคัญทางสถิติ ($P < 0.05$) โดยมีปริมาณกรดอะมิโน Glycine ในเมล็ดเพิ่มขึ้น 2 % ทั้ง 2 treatment เมื่อเปรียบเทียบกับสิ่งทดลอง CT ซึ่งแปรผันตามระดับอุณหภูมิที่เพิ่มขึ้นตามสภาพ อนาคต RCPs เมื่อทดสอบด้วยค่า R^2 พบว่ามีค่าสูงถึง 0.8

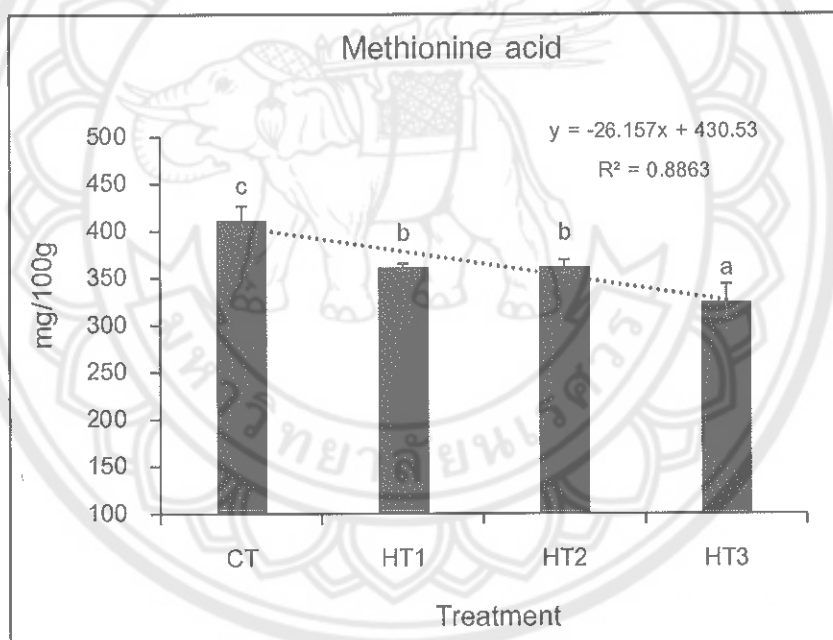


ภาพ 34 ปริมาณกรดอะมิโน Glycine

หมายเหตุ: ตัวอักษรที่ต่างกันแสดงถึงความแตกต่างกันอย่างมีนัยสำคัญทางสถิติ $P < 0.05$
ของค่าเบี่ยงเบนมาตรฐาน (Standard Deviation: SD)

3. Methionine acid

จากการศึกษาปริมาณกรดอะมิโน Methionine ในเม็ดถั่วเหลืองพันธุ์เขียงใหม่ 60 ที่ทำการปลูกภายใต้สภาวะระดับอุณหภูมิที่เพิ่มขึ้น พบว่าในสิ่งทดลอง CT, HT1, HT2 และ HT3 มีปริมาณเท่ากับ 412.06 ± 14.62 , 361.61 ± 3.63 , 362.19 ± 7.19 และ 324.67 ± 18.82 mg/100g ตามลำดับ (ภาพ 35) ซึ่งมีผลต่างข้ามกับกรดอะมิโนในทั้ง 2 ชนิด ดังที่กล่าวมาข้างต้น เพราะกรดอะมิโน Methionine เป็นกรดอะมิโนชนิดเดียวที่ลดลงภายใต้สภาวะระดับอุณหภูมิที่สูงขึ้น และใน 4 สิ่งทดลอง CT, HT1, HT2 และ HT3 มีความแตกต่างกันอย่างมีนัยสำคัญทางสถิติ ($P < 0.05$) และมีปริมาณกรดอะมิโน Methionine ในเม็ดลดลง 12% , 12% และ 21% เมื่อเปรียบเทียบกับสิ่งทดลอง CT ตามลำดับ ซึ่งเปรียบตามระดับอุณหภูมิที่เพิ่มขึ้นตามสภาพอากาศ RCPs เมื่อทดสอบด้วยค่า R^2 พบร่วมมีค่าสูงถึง 0.8



ภาพ 35 ปริมาณกรดอะมิโน Methionine

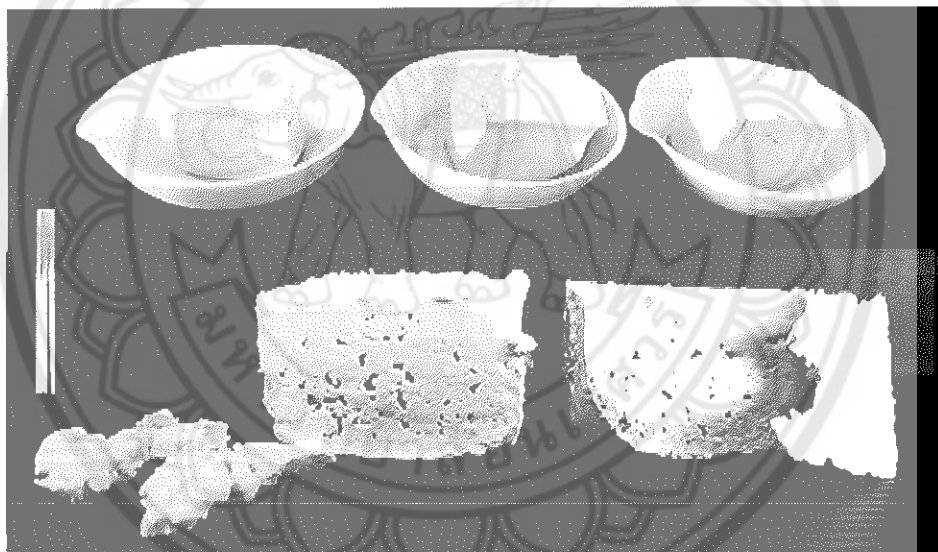
หมายเหตุ: ตัวอักษรที่ต่างกันแสดงถึงความแตกต่างกันอย่างมีนัยสำคัญทางสถิติ $P < 0.05$
ของค่าเบี่ยงเบนมาตรฐาน (Standard Deviation: SD)

คุณลักษณะของเต้าหู้

ลักษณะของผลิตภัณฑ์เต้าหู้ที่แปรรูปจากถั่วเหลืองพันธุ์เชียงใหม่ 60 ในสภาวะอุณหภูมิที่เพิ่มขึ้นในระดับที่แตกต่างกันได้ผลการศึกษาดังนี้

1. ลักษณะเนื้อสัมผัสของเต้าหู้จากการแปรรูปถั่วเหลืองในสิงหลดลง CT

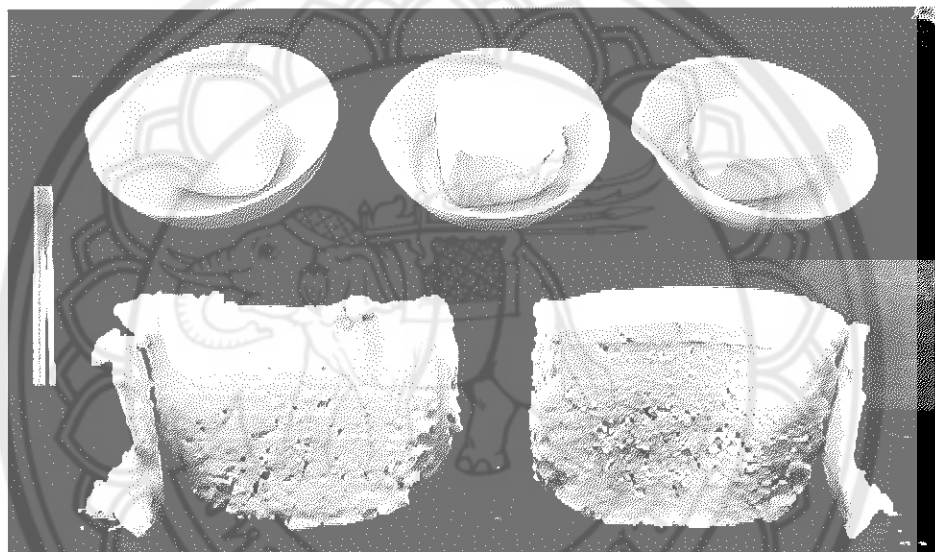
จากผลการศึกษาเต้าหู้มีลักษณะจับตัวกันเป็นก้อนแข็ง ไม่แตกออกจากกัน มีพองอากาศ สีของเต้าหู้มีสีขาวนวล ลักษณะเนื้อของเต้าหู้เรียบเนียนเป็นเนื้อเดียว กัน และมีความแน่น ค่าความเป็นกรดด่างของเต้าหู้เท่ากับ pH 6.7 ค่าการวิเคราะห์เนื้อสัมผัส (Texture analysis) เท่ากับ 88.00 ± 2.65 (ภาพ 40) ค่าความชื้น (Moisture) เท่ากับ 71.00 ± 0.62 (ภาพ 41) และค่า Water Activity (Aw) เท่ากับ 0.8488 ± 0.006 ซึ่งอยู่ในเกณฑ์ของอาหารประเภทกึ่งแห้ง (intermediate moisture food) ที่มีค่า Aw อยู่ในช่วง 0.6-0.85 (ตาราง 9 และภาพ 36)



ภาพ 36 ลักษณะเนื้อสัมผัสของเต้าหู้จากการแปรรูปถั่วเหลืองในสิงหลดลง CT

2. ลักษณะเนื้อสัมผัสของเต้าหู้จากการแปรรูปถั่วเหลืองในสิ่งทดลง HT1

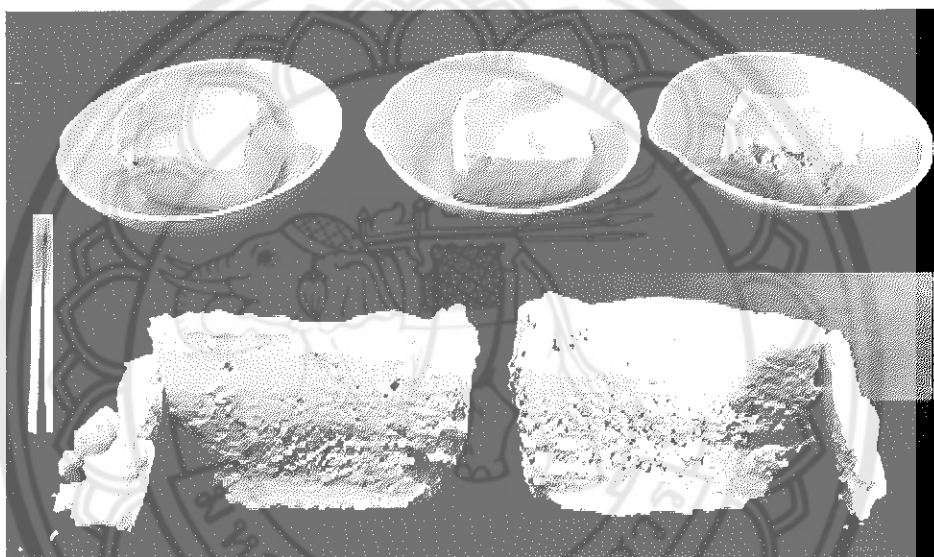
จากการศึกษาเต้าหู้มีลักษณะจับตัวกันเป็นก้อนไม่แข็งมาก ไม่มีฟองอากาศ สีของเต้าหู้มีสีขาวนวล ลักษณะเนื้อของเต้าหู้เปลี่ยนเป็นเนื้อดีกวักนแต่ค่อนข้างเละ ค่าความเป็นกรดด่างของเต้าหู้เท่ากับ pH 6-7 ค่าการวิเคราะห์เนื้อสัมผัส (Texture analysis) เท่ากับ 67.33 ± 2.89 (ภาพ 40) ค่าความชื้น (Moisture) เท่ากับ 72.49 ± 0.07 (ภาพ 41) และค่า Water Activity (Aw) เท่ากับ 0.848 ± 0.005 ซึ่งอยู่ในเกณฑ์ของอาหารปรະเกทกึ่งแห้ง (intermediate moisture food) ที่มีค่า Aw อยู่ในช่วง 0.6-0.85 (ตาราง 9 และภาพ 37)



ภาพ 37 ลักษณะเนื้อสัมผัสของเต้าหู้จากการแปรรูปถั่วเหลืองในสิ่งทดลง HT1

3. ลักษณะเนื้อสัมผัสของเต้าหู้จากการแปรรูปถั่วเหลืองในสิ่งทดลอง HT2

จากการศึกษาเต้าหู้มีลักษณะจับตัวกันเป็นก้อนไม่แข็งมาก ไม่มีฟองอากาศ สีของเต้าหู้มีสีขาวนวล ลักษณะเนื้อของเต้าหู้เรียบเนียนเป็นเนื้อเดียวกันแต่ค่อนข้างละเอียดด่างของเต้าหู้เท่ากับ pH 6-7 ค่าการวิเคราะห์เนื้อสัมผัส (Texture analysis) เท่ากับ 54.67 ± 3.79 (ภาพ 40) ค่าความชื้น (Moisture) เท่ากับ 77.50 ± 0.55 (ภาพ 41) และค่า Water Activity (Aw) เท่ากับ 0.847 ± 0.009 ซึ่งอยู่ในเกณฑ์ของอาหารประเภทกึ่งแห้ง (intermediate moisture food) ที่มีค่า Aw อยู่ในช่วง 0.6-0.85 (ตาราง 9 และภาพ 38)



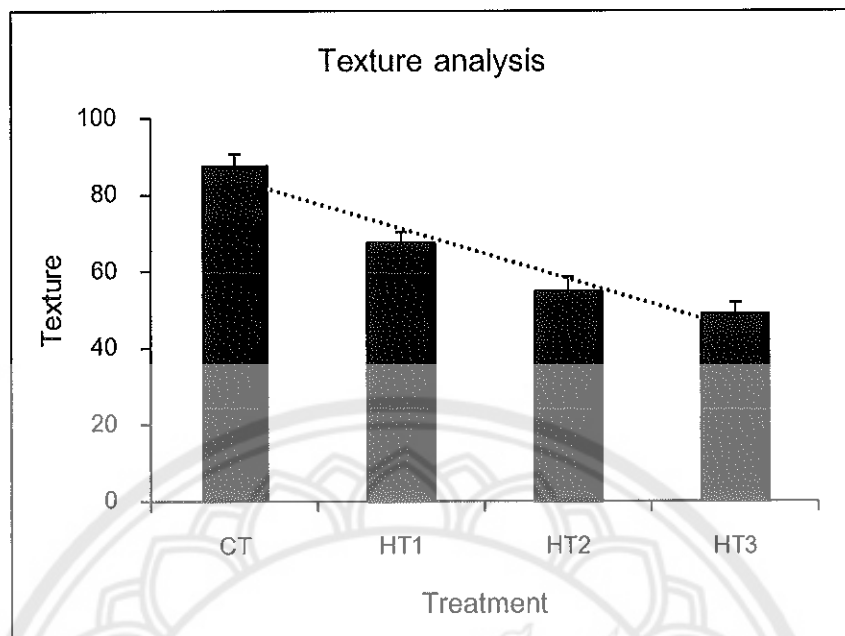
ภาพ 38 ลักษณะเนื้อสัมผัสของเต้าหู้จากการแปรรูปถั่วเหลืองในสิ่งทดลอง HT2

4. ลักษณะเนื้อสัมผัสของเต้าหู้จากการแปรรูปถั่วเหลืองในสิ่งทดลง HT3

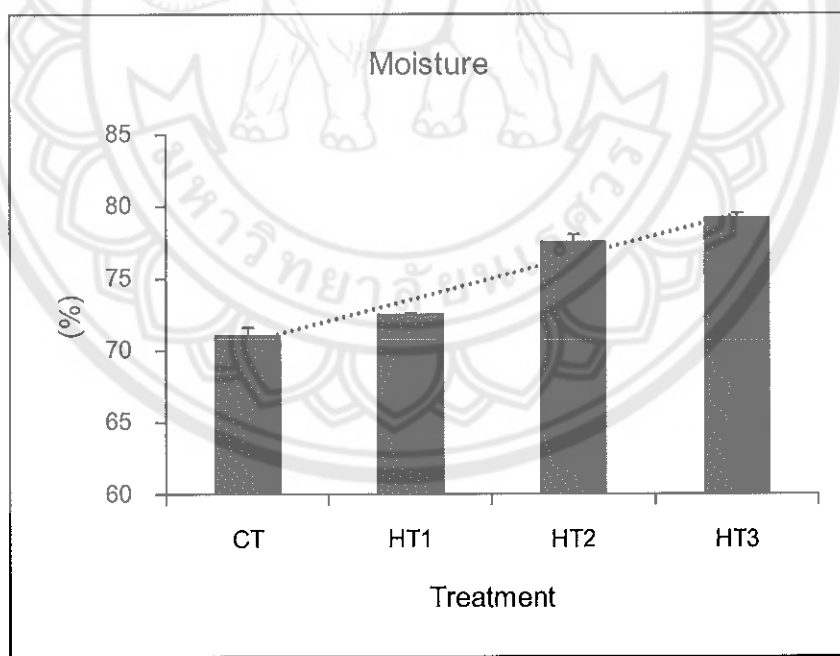
จากผลการศึกษาเต้าหู้มีลักษณะจับตัวกันเป็นก้อนไม่แข็งมาก ไม่มีฟองอากาศ สีของเต้าหู้มีสีขาวนวล ลักษณะเนื้อของเต้าหู้เรียบเนียนเป็นเนื้อเดียวกันแต่ค่อนข้างจะค่าความเป็นกรดด่างของเต้าหู้เท่ากับ pH 6-7 ค่าการวิเคราะห์เนื้อสัมผัส (Texture analysis) เท่ากับ 48.67 ± 3.21 (ภาพ 40) ค่าความชื้น (Moisture) เท่ากับ 79.18 ± 0.36 (ภาพ 41) และค่า Water Activity (Aw) เท่ากับ 0.845 ± 0.009 ซึ่งอยู่ในเกณฑ์ของอาหารประเภทกึ่งแห้ง (intermediate moisture food) ที่มีค่า Aw อยู่ในช่วง 0.6 - 0.85 (ตาราง 9 และภาพ 39)



ภาพ 39 ลักษณะเนื้อสัมผัสของเต้าหู้จากการแปรรูปถั่วเหลืองในสิ่งทดลง HT3



ภาพ 40 ค่าวดเนื้อสมผัส (Texture analysis)



ภาพ 41 ค่าความชื้น (Moisture)

ตาราง 9 การประยุกต์ใช้ปูนซีเมนต์และน้ำอุ่นแต่งตัวหินแสตนเลสที่ดูดซึมน้ำ

Treatment	ลักษณะเนื้อสัมผัส (Texture structure)	pH	ค่าวัดเนื้อสัมผัส (Texture analysis)	ค่าความชื้น (Moisture) %	ผลต่อต้านออกซิเจน (Water activity: a_w)	การจำแนกตามค่าแอลกอ Holtzman ของน้ำ (Water activity: a_w)
CT	เต้าหู้ปูนเป็นก้อนเร็ง ไม่แตกหัก	6 - 7	88.00±2.65	71.00±0.62	0.848±0.006	
	ไม่แตก รีบดองอาหาร					
HT1	เต้าหู้ปูนเป็นก้อนไม่เร็วมาก	6 - 7	67.33±2.89	72.49±0.07	0.848±0.005	อาหารรักษาแห้ง
	สีขาวนวล เนื้อเนียนค่อนข้างละเอียด					
	ไม่รีบดองอาหาร					
HT2	เต้าหู้ปูนเป็นก้อนไม่เร็วมาก	6 - 7	54.67±3.79	77.50±0.55	0.847±0.009	0.6< a_w <0.85
	สีขาวนวล เนื้อเนียนค่อนข้างละเอียด					
	ไม่รีบดองอาหาร					
HT3	เต้าหู้ปูนเป็นก้อนไม่เร็วมาก	6 - 7	48.67±3.21	79.18±0.36	0.845±0.009	
	สีขาวนวล เนื้อเนียนค่อนข้างละเอียด					
	ไม่รีบดองอาหาร					

บทที่ 5

บทสรุป

การประเมินผลกระบวนการของอุณหภูมิที่เพิ่มขึ้นตามแนวโน้มสภาวะโลกร้อนที่มีต่อผลผลิตคุณภาพสารอาหารที่สำคัญและคุณลักษณะที่สำคัญบางประการของผลิตภัณฑ์จากถั่วเหลืองพันธุ์เชียงใหม่ 60 สามารถสรุปได้ดังนี้

สรุปผลการวิจัย

การประเมินผลกระบวนการของอุณหภูมิที่เพิ่มขึ้นตามแนวโน้มสภาวะโลกร้อนที่มีต่อผลผลิตคุณภาพสารอาหารที่สำคัญและคุณลักษณะที่สำคัญบางประการของผลิตภัณฑ์จากถั่วเหลือง (*Glycine max (L.) Merrill*) พันธุ์เชียงใหม่ 60 ซึ่งได้ทำการควบคุมระดับอุณหภูมิให้เพิ่มขึ้นตามแนวโน้มสภาพชายอนาคต Representative Concentration Pathways (RCPs) โดยควบคุมระดับอุณหภูมิให้มีความแตกต่างกันทั้งหมด 4 ระดับ ได้แก่ CT (เป็นชุดควบคุม) ซึ่งเป็นระดับอุณหภูมิตามธรรมชาติในปัจจุบัน (RCP 2.6), HT1 ควบคุมตามแนวโน้มสภาพชายอนาคต RCP 4.5, HT2 ควบคุมตามแนวโน้มสภาพชายอนาคต RCP 6.0 และ HT3 ควบคุมตามแนวโน้มสภาพชายอนาคต RCP 8.5 โดยใช้ระบบอิเลคทรอนิกส์ร่วมกับสภาวะธรรมชาติโดยควบคุมระดับอุณหภูมิทั้งหมด 16 ตู้ (4 ชั้น) และจดบันทึกผลของระดับอุณหภูมิ 4 ช่วงเวลาใน 1 วัน ดังนี้ 08.00 น., 11.00 น., 14.00 น. และ 17.00 น. จากการศึกษาผลกระทบของผลผลิต คุณภาพสารอาหาร และคุณลักษณะบางประการของผลิตภัณฑ์ที่ทำจากถั่วเหลือง ผลการศึกษาสามารถสรุปได้ดังต่อไปนี้

1. ผลการศึกษาปริมาณธาตุอาหารในดินก่อนปลูกถั่วเหลืองพันธุ์เชียงใหม่ 60 พบว่าปริมาณในไตรเจนทั้งหมด (Total Nitrogen), ในไตรเจนในรูปแบบที่มีประโยชน์ เช่น แอมโมเนียม (NH_4^+), ในเทอโร (NO_3^-), ฟอสฟอรัสในรูปแบบที่มีประโยชน์ (Monohydrogen Phosphate : HPO_4^{2-}) และโพแทสเซียมในรูปแบบที่มีประโยชน์ (K^+) ในดินระยะก่อนปลูกไม่มีความแตกต่างกันอย่างมีนัยสำคัญทางสถิติ ($P>0.05$) ใน 4 สิ่งทดลอง CT, HT1, HT2 และ HT3

2. ผลการศึกษาองค์ประกอบของผลผลิตของถั่วเหลืองพันธุ์เชียงใหม่ 60 ที่ปลูกภายใต้ระดับอุณหภูมิที่เพิ่มขึ้นสามารถสรุปได้ดังนี้

2.1 จากผลการศึกษาองค์ประกอบผลผลิตของถั่วเหลืองสามารถสรุปได้ว่า จำนวนฝักทั้งหมด/ต้น (Pods/plant), จำนวนเมล็ดทั้งหมด/ต้น (Seeds/plant) โดยนับรวมเมล็ดลีบ และจำนวนเมล็ดทั้งหมด/ต้น (Seeds/plant) โดยไม่นับรวมเมล็ดลีบ ที่ปลูกภายใต้สภาวะระดับอุณหภูมิที่เพิ่มขึ้น พบร่วมกันและเมล็ดลีบแบบ ถึงแม้ว่าเมล็ดจะมีจำนวนมากแต่ลักษณะของเมล็ดมีขนาดเล็กลง และไม่มีความแตกต่างกันอย่างมีนัยสำคัญทางสถิติ ($P>0.05$)

2.2 จากผลการศึกษาองค์ประกอบผลผลิตของถั่วเหลืองสามารถสรุปได้ว่า จำนวนเมล็ดทั้งหมด/ฝัก (Seeds/pod) โดยนับเฉพาะเมล็ดสมบูรณ์, และน้ำหนักเมล็ด 100 เมล็ด (100-seed weight) ที่ปลูกภายใต้สภาวะระดับอุณหภูมิที่เพิ่มขึ้น พบร่วมกันและเมล็ดมีขนาดเล็กลง และมีความแตกต่างกันอย่างมีนัยสำคัญทางสถิติ ($P<0.05$)

3. ผลการวิเคราะห์สารอาหารที่สำคัญในเมล็ดถั่วเหลืองพันธุ์เชียงใหม่ 60 ที่ปลูกภายใต้ระดับอุณหภูมิที่เพิ่มขึ้นสามารถสรุปได้ดังนี้

3.1 ปริมาณโปรตีนในเมล็ด พบร่วมกันและเมล็ดถั่วเหลืองพันธุ์เชียงใหม่ 60 ที่ปลูกภายใต้ระดับอุณหภูมิที่เพิ่มสูงขึ้นลงผลต่อระดับโปรตีนในเมล็ดลดลง ในสิ่งทดลอง HT1, HT2 และ HT3 ตามลำดับ

3.2 ปริมาณกรดอะมิโนในเมล็ดถั่วเหลืองพันธุ์เชียงใหม่ 60 ที่ทำการปลูกภายใต้สภาวะระดับอุณหภูมิที่เพิ่มขึ้นสามารถสรุปได้ดังนี้

3.2.1 ปริมาณกรดอะมิโนที่ทำการศึกษาได้แก่ กรดอะมิโน Lysine และ Glycine มีความแตกต่างกันอย่างมีนัยสำคัญทางสถิติ ($P<0.05$) พบร่วมกันและเมล็ดถั่วเหลือง มีปริมาณเพิ่มสูงขึ้น ซึ่งมีผลมาจากการระดับอุณหภูมิที่เพิ่มขึ้นในสิ่งทดลอง HT1, HT2 และ HT3 ตามลำดับ

3.2.2 ปริมาณกรดอะมิโนที่ทำการศึกษาได้แก่ กรดอะมิโน Methionine มีความแตกต่างกันอย่างมีนัยสำคัญทางสถิติ ($P<0.05$) พบร่วมกันและเมล็ดถั่วเหลือง มีปริมาณลดลง ซึ่งมีผลมาจากการระดับอุณหภูมิที่เพิ่มขึ้นในสิ่งทดลอง HT1, HT2 และ HT3 ตามลำดับ

4. คุณลักษณะของเต้าหู้จากเมล็ดถั่วเหลืองพันธุ์เชียงใหม่ 60 ที่ทำการปลูกภายใต้สภาวะระดับอุณหภูมิที่เพิ่มขึ้น

4.1 ลักษณะเนื้อสัมผัสเต้าหู้จากการแปรรูปถั่วเหลืองในสิ่งทดลอง CT พบร่วมกันและเมล็ดถั่วเหลืองเป็นก้อนแข็ง ไม่แตกออกจากกัน สีขาวนวล เนื้อเนียนแน่น ไม่แตก

มีฟองอากาศ ซึ่งแสดงให้เห็นว่าในสิ่งที่ทดลอง CT ถัวเหลืองมีคุณภาพดีนำไปสู่การผลิตเต้าหู้ให้มีคุณภาพดีอีกด้วย

4.2 ลักษณะเนื้อสัมผัสเต้าหู้จากการแปรรูปถัวเหลืองในสิ่งทดลอง HT1, HT2 และ HT3 พบว่าเต้าหู้จับกันเป็นก้อนไม่แข็งมาก สีขาวนวล เนื้อเนียนค่อนข้างละเอียด มีฟองอากาศ ซึ่งแสดงให้เห็นว่าถัวเหลืองในสิ่งทดลอง HT1, HT2 และ HT3 ที่ปลูกภัยได้สภาวะระดับอุณหภูมิที่เพิ่มสูงขึ้นมีการสูญเสียโปรตีน และกรดอะมิโนบางชนิดส่งผลให้การขึ้นรูปเป็นผลิตภัณฑ์เต้าหู้มีลักษณะโครงสร้างไม่ยึดติดกัน

จากการศึกษาการประเมินผลกระทบของอุณหภูมิที่เพิ่มสูงขึ้นตามแนวโน้มสภาวะโลกร้อนที่มีต่อผลผลิต คุณภาพสารอาหารที่สำคัญและคุณลักษณะที่สำคัญบางประการของผลิตภัณฑ์จากถัวเหลือง (*Glycine max (L.) Merrill*) พันธุ์เชียงใหม่ 60 พบว่าระดับอุณหภูมิที่เพิ่มขึ้นส่งผลต่อองค์ประกอบผลิตภัณฑ์ สงผลให้ผ้าถัวเหลืองลีบแน่น และเม็ดมีขนาดเล็กลงรวมไปถึงปริมาณโปรตีน และกรดอะมิโน Methionine ในเม็ดลดลงด้วย แต่ยกเว้นกรดอะมิโน Lysine และ Glycine ที่มีปริมาณเพิ่มสูงขึ้น นอกจากนี้คุณลักษณะของเต้าหู้ยังมีลักษณะที่ไม่ดับตัวกันเป็นก้อน เนื้อเนียนค่อนข้างละเอียด และไม่มีฟองอากาศ ในส่วนของค่าความชื้นจะมีความสัมพันธ์กับค่าวัดเนื้อสัมผัส โดยพบว่าความชื้นน้อยจะส่งผลให้เนื้อสัมผัสของเต้าหู้เพิ่มขึ้นแต่ค่าความชื้นสูงจะส่งผลให้เนื้อสัมผัสของเต้าหู้ลดลงตามลำดับ ซึ่งทั้งนี้เกิดจากการเปลี่ยนแปลงของโครงสร้างภายในเม็ดถัวเหลืองที่ได้รับอุณหภูมิในระดับที่สูงขึ้น

อภิปภาคผล

ผลการศึกษาการประเมินผลกระทบของอุณหภูมิที่เพิ่มสูงขึ้นตามแนวโน้มสภาวะโลกร้อนที่มีต่อผลผลิต คุณภาพสารอาหารที่สำคัญและคุณลักษณะที่สำคัญบางประการของผลิตภัณฑ์จากถัวเหลือง (*Glycine max (L.) Merrill*) พันธุ์เชียงใหม่ 60 โดยมีการทำนัดควบคุมระดับอุณหภูมิภายนอกที่ทดลองให้มีความแตกต่างกัน 4 ระดับ ใน 4 สิ่งทดลอง (4ชั้น) ดำเนินการโดยใช้ระบบตู้ทดลองเปิดด้านบน (Open Top Chamber) จำนวน 16 ตู้ มีการใช้ระบบควบคุมเวลาอัตโนมัติในช่วงระยะเวลา 07.00 น. ถึง 17.00 น. (10 ชั่วโมง) ตั้งแต่เดือนกรกฎาคม 2560 โดยสร้างสภาวะอุณหภูมิจำลองตามสภาพชายอนาคต RCPs (Representative concentration pathways) ที่เกิดขึ้นในพื้นที่เพาะปลูก ซึ่ง RCPs แต่ละระดับจะเป็นตัวกำหนดสิ่งทดลองในการทดลองดังนี้ RCP 2.6 จะเป็นชุดควบคุม (CT) โดยเบริรยบเทียบได้ว่าเป็นสถานการณ์ปลดปล่อยก๊าซเรือนกระจกในระดับต่ำส่งผลให้ระดับอุณหภูมิเทียบเท่ากับปัจจุบัน และในส่วนของ RCP 4.5

RCP 6.0 และ RCP 8.5 จะหมายถึงการปลดปล่อยก๊าซเรือนกระจกในระดับสูงจึงส่งผลให้ระดับอุณหภูมิเพิ่มสูงขึ้น ซึ่งส่งผลกระทบเชิงลบต่อตัวเหลืองค่อนข้างมาก

ผลการทดลองพบว่าการควบคุมระดับอุณหภูมิภายในตู้ทดลองในสภาวะที่แตกต่างกัน เมื่ออุณหภูมิเพิ่มขึ้นส่งผลกระทบต่องค์ประกอบของผลผลิตที่ไม่สมบูรณ์อย่างเห็นได้ชัดเจนดังนี้ จำนวนผักหั้งหมด/ต้น และจำนวนเมล็ดหั้งหมด/ผัก โดยนับรวมเมล็ดลีบ ในสิ่งทดลอง HT2 และ HT3 มีลักษณะของผักที่ลีบแบบ และมีเมล็ดจำนวนมากแต่เมล็ดก้มีลักษณะลีบแบบ เช่นเดียวกัน ตามลำดับ และเมื่อไม่นับรวมเมล็ดลีบถึงแม้ลีบจะมีจำนวนมากแต่ก็ยังมีขนาดเล็ก นอกจากนี้ยังส่งผลให้จำนวนเมล็ดหั้งหมด/ผัก โดยนับเฉพาะเมล็ดที่สมบูรณ์ มีลักษณะเมล็ดเล็ก และลีบเช่นเดียวกัน การวิเคราะห์ขนาดเมล็ดทางข้อมูล โดยการน้ำหนักเมล็ด 100 เมล็ด (100-seed weight) พบว่าในสิ่งทดลอง HT1, HT2 และ HT3 มีน้ำหนักของเมล็ดลดลง เมื่อเทียบกับสิ่งทดลอง CT จากผลการศึกษาที่กล่าวมาข้างต้นพบว่าการปลูกถัวเหลืองภายใต้สภาวะระดับที่อุณหภูมิเพิ่มสูงขึ้นจะส่งผลต่อการเปลี่ยนแปลงองค์ประกอบของผลผลิต และเมื่อเปรียบเทียบกับข้อมูลการปลูกถัวเหลืองในพื้นที่ทั่วไปพบว่า ปัจจัยทางสิ่งแวดล้อมมีความสำคัญอย่างยิ่งต่องค์ประกอบของผลผลิตซึ่งได้แก่ จำนวนผัก/ต้น จำนวนเมล็ด/ผัก และน้ำหนักเมล็ด 100 เมล็ด (ขนาดของเมล็ด) ซึ่งองค์ประกอบของผลผลิตเหล่านี้ได้รับอิทธิพลมาจากแสง และอุณหภูมิที่ช่วยในการเจริญเติบโตทางด้านสรีรวิทยาของพืช รวมทั้งควบคุมการทำงาน (Metabolism) ของพืชให้ทำงานได้อย่างมีประสิทธิภาพ และนอกจากนี้จำนวน และปริมาณของผลผลิตยังสามารถเป็นตัวชี้วัดที่สำคัญ คือ ผลผลิตจะเพิ่มขึ้น หรือลดลงจะขึ้นอยู่กับสภาพแวดล้อมในช่วงฤดูกาลปลูก (ภาควิชี พระประเสริฐ, 2550; อภิวรรณ พุกภักดี, 2546) นอกจากนี้ยังพบว่าผลผลิต และจำนวนผักหั้งหมด/ต้น จะมีการเปลี่ยนแปลงหรืออ่อนไหวต่อสภาพแวดล้อมมากที่สุด ถ้าเหลืองจะเจริญเติบโตได้ดีอยู่ในช่วง 25-30 °C ซึ่งเป็นช่วงที่เหมาะสมต่อการออกดอก กារออกไขของเมล็ด และการออกผักที่สมบูรณ์ ปัจจุบันยังมีความกังวลเกี่ยวกับการเปลี่ยนแปลงสภาพภูมิอากาศโลกที่จะส่งผลต่อการลดลงของผลผลิตถัวเหลืองในอนาคต (Johnson, 1969; Saryoko et al., 2017) นอกจากนี้จากการศึกษาที่กล่าวมาข้างต้นนี้แสดงถ้วน กับงานวิจัยของ Custodio et al., (2013) ซึ่งได้ทำการศึกษาผลกระทบของอุณหภูมิที่เพิ่มขึ้น 2-3 °C พบว่าไม่มีผลกระทบต่อระยะการออกดอก (Reproductive-stage) R1 แต่มีผลกระทบต่อระยะ R1-R7 คือ มีจำนวนวันในระยะเริ่มออกดอก (Beginning bloom) ไปจนถึงระยะเริ่มติดเมล็ด (Beginning seed) และไปจนถึงระยะเมล็ดเริ่มสุกแก่ (Beginning maturity) น้อยลง นอกจากนี้ในระยะ R1-R5 ได้รับผลกระทบมากกว่าระยะ VE-R1 และ R5-R7 ในสภาวะของระดับอุณหภูมิ

ที่เพิ่มสูงขึ้น ถ้าถัวเฉลี่องได้รับสัมผัสอุณหภูมิที่เกินจุดความทนประมาณ 36°C จะส่งผลต่อระยะเวลาเจริญเติบโต เช่น การสร้างอาหาร การสร้างเมล็ด เป็นต้น (กนิตา ชนเจริญชนาภรณ์, 2558; Reddy, & Hodges, 2000) ระดับของอุณหภูมิที่เพิ่มสูงขึ้นระหว่างที่กำลังสร้างเมล็ดด้านส่งผลต่อการเร่งอัตราเร็วในการสร้างเมล็ด ถึงแม้ว่าระดับอุณหภูมิที่เพิ่มสูงขึ้นจะเพิ่มอัตราเร็วในการสร้างเมล็ดก็จริง แต่อัตราเร็ว หรือระยะเวลาที่เร็วขึ้นนี้ไม่เพียงพอต่อการสร้างเมล็ดให้สมบูรณ์ รวมไปถึงส่งผลต่อการลดลงของน้ำหนักเมล็ด และขนาดของเมล็ดด้วย แต่ถ้าอุณหภูมิในฤดูกาลปลูกอยู่ในช่วงที่เหมาะสม อัตราเร็วในการเร่งการสร้างเมล็ดก็จะเพิ่มขึ้นแต่ระยะเวลาในการสร้างเมล็ดให้สมบูรณ์ก็จะลดลง (Kobata, & Uemuki, 2004) นอกจากนี้ความอ่อนไหวต่อระดับอุณหภูมิที่เพิ่มสูงขึ้นในช่วงของการเก็บเกี่ยวผลผลิต พ布ว่าองค์ประกอบผลผลิต เช่น จำนวนฝัก จำนวนเมล็ด ขนาดของเมล็ด และผลรวมของเมล็ดทั้งหมด มีปริมาณลดลง และคุณภาพในเมล็ดถัวเฉลี่องก็ลดลงด้วย ซึ่งปัจจัยทางภูมิอากาศที่แปรปรวนนั้นส่งผลกระทบมากต่อผลผลิตของพืช (Custodio et al., 2013) นักวิจัยจำนวนมากได้ทำการประเมินพื้นที่เกษตรกรรมพบว่า ได้รับผลกระทบในเรื่องของผลผลิตลดลงในพื้นที่ที่ปลูกถัวเฉลี่อง ซึ่งได้คำนวณมูลค่าความเสียหายเชิงเศรษฐศาสตร์แล้วพบว่าในอนาคตมีแนวโน้มที่จะเกิดความเสียหายเพิ่มสูงขึ้น โดยเฉพาะอย่างยิ่งพื้นที่เขตว้าว ซึ่งเป็นพื้นที่เสี่ยงต่อการได้รับผลกระทบมากที่สุด โดยความเสียหายที่เกิดขึ้นจะเพิ่มสูงขึ้นประมาณ 6-19 % (Cline, 2007; Cline, 2008)

อุณหภูมิเป็นปัจจัยหนึ่งที่สำคัญต่อพืชในการกำหนดการเจริญเติบโตตั้งแต่ระยะแรกไปจนถึงการพัฒนาเป็นดอก และออกผล (Nxaw et al., 2010) ซึ่งในระยะการเจริญเติบโตของพืช จะต้องได้รับอุณหภูมิในสภาพที่เหมาะสม ทั้งนี้ถ้าพืชได้รับอุณหภูมิสูงกว่าสภาพแวดล้อมปกติ หรือที่เรียกว่า สภาวะความเครียดจากความร้อน (Heat stress) เป็นสภาวะที่พืชได้รับความร้อนเกินช่วงความทน อุณหภูมิที่สูงทำให้เกิดการเปลี่ยนแปลงทางสรีรวิทยา เช่น กระบวนการ Metabolism การดูดซึมอาหาร การสร้างคลอโรฟิลล์ การสังเคราะห์แสง และส่งผลต่อการเจริญเติบโตของพืช (Summerfield et al., 1989; Wahid et al., 2007) นอกจากนี้พืชจำเป็นต้องใช้พลังงานจากแสงอาทิตย์ในกระบวนการสังเคราะห์แสง ซึ่งต้องใช้ช่วงคลื่นที่สามารถมองเห็นได้ (Visible light) มีความยาวช่วงคลื่นประมาณ $400\text{-}700$ นาโนเมตร และมีความถี่ประมาณ 4.41×10^{14} ถึง 7.31×10^{14} ในสภาวะอุณหภูมิปกติพืชสามารถสังเคราะห์แสงจะเกิดขึ้นโดย CO_2 จะแพร่เข้าสู่ปากใบรวมตัวกับ RuBP (Ribulose-1, 5-bisphosphate) โดยมีเอนไซม์ที่ชื่อว่า Rubisco เป็นตัวเร่งการเกิดปฏิกิริยาให้เกิดสารประกอบที่มีcarboxอน 3 อะตอน คือ (3-Phosphoglyceric acid: 3-PGA) ซึ่งเรียกว่าพืช C3 จากนั้นพืชจะนำพลังงานที่ได้มาเก็บสะสมในรูปน้ำตาล

เมื่อเกิดสภาวะความเครียดจากความร้อน (Heat stress) หรือสภาวะอุณหภูมิเพิ่มสูงขึ้นจะเกิดกระบวนการยับยั้งการสังเคราะห์แสง (Photosynthesis) และเปลี่ยนไปเป็นกระบวนการหายใจแสง (Photorespiration) (Wallace, & Hobbs, 2006; กรณิตา วนเจริญชันภาส, 2558) โดยมี O_2 เข้ามาแทนที่ CO_2 และเป็นตัวยับยั้งที่ทำให้ไม่สามารถเกิดปฏิกิริยาที่ไม่ใช้แสง (Dark reaction) หรือวัฏจักรคัลวิน เมื่อระดับอุณหภูมิเพิ่มสูงขึ้น O_2 จะไปรวมตัวกับ RuBP (Ribulose-1, 5-bisphosphate) ได้ดีกว่า CO_2 โดยมีเอนไซม์ Rubisco เป็นตัวยึดเกาะให้เกิดปฏิกิริยาทำให้เกิดสารประกอบที่มีคาร์บอน 2 อะตอม คือ (Phosphoglycolate: PG) ทำให้เกิดกระบวนการหายใจแสง (photorespiration) ซึ่งฟอสฟอกลโคเลต (PG) เป็นสารประกอบที่พืชไม่ต้องการและเป็นอันตรายต่อพืช ดังนั้นพืชจะมีกลไกในการกำจัด PG ให้กลับไปเป็น PGA ซึ่งในกระบวนการกำจัด PG นี้เกิดขึ้นใน Chloroplast, Peroxisome และ mitochondria โดยกระบวนการกำจัด PG นั้นจะเริ่มต้นที่ Chloroplast โดยสารประกอบ PG จะใช้พลังงาน ATP เปลี่ยนรูปให้เป็นกลโคเลต (Glycolate) ในกระบวนการนี้จะเกิดการสร้าง ROS (Reactive oxygen species) หรือสารที่มีชื่อว่า H_2O_2 (Hydrogenperoxide) ซึ่งไปทำลาย Cell โดยตรงที่ Peroxisome ซึ่งเป็นสารที่ทำให้เกิด OH ในพืชถือว่าเป็นสารออกซิเดนท์รุนแรงมาก ผลต่อการเปลี่ยนแปลงโครงสร้างสารอาหารของพืช จากนั้นจะส่งกลโคเลต (Glycolate) ไปยัง Peroxisome และเกิดปฏิกิริยา Decarboxylation จนสร้างไกลซีน (Glycine) และส่งต่อไปยัง Mitochondrion จากนั้นเกิดกระบวนการทริง CO_2 ออกจาก ไกลซีน (Glycine) และปลดปล่อย CO_2 โดยแพร่ผ่านทางปากใบออกสู่บรรยากาศ ในกระบวนการนี้พืชจะสูญเสีย CO_2 ในปริมาณมากมีการปลดปล่อยออกามากกว่าการกักเก็บ นอกจากนี้ยังเป็นการยับยั้งโปรตีนทางอ้อมอีกด้วย (กรณิตา วนเจริญชันภาส, 2558; Thomas, 2001)

ระดับของอุณหภูมิที่เพิ่มขึ้นยังส่งผลกระทบในเชิงลบต่อคุณค่าทางด้านสารอาหารของถั่วเหลืองโดยเฉพาะปริมาณโปรตีน และกรดอะมิโน ซึ่งจากการศึกษาของค์ประกอบของเม็ดถั่วเหลือง พบร่วงปริมาณโปรตีนในเม็ดลดลงในสิ่งทดลอง HT1, HT2 และ HT3 เมื่อเทียบกับสิ่งทดลอง CT ซึ่งผลกระทบของอุณหภูมิที่สูงขึ้นจะนำไปสู่การเกิดสภาวะความเครียดออกซิเดชัน (Oxidation stress) ทำให้พืชสร้างสารกลุ่ม ROS (Reactive Oxygen Species) ที่มีความเป็นพิษสูงเข้าไปทำลายเนื้อเยื่อภายในเซลล์ทำให้เกิดปฏิกิริยว่า lipid peroxidation กับไขมันเพิ่มขึ้น (He et al., 2005) และยังส่งผลต่อการทำลายโปรตีน และกรดอะมิโนในเม็ดถั่วเหลืองให้มีปริมาณลดลง โดยในช่วงระยะเริ่มติดเม็ด (Beginning seed: R5) เป็นระยะที่เริ่มสะสมองค์ประกอบทางเคมีในเม็ดถั่วเหลือง ซึ่งถั่วเหลืองมีความสัมพันธ์กับระดับอุณหภูมิที่เพิ่มขึ้น

โดยเฉพาะอย่างยิ่งกรดอะมิโน Methionine และ Cysteine เนื่องจากว่าเป็นกรดอะมิโนชนิดที่มีชัลเฟอร์เป็นองค์ประกอบ (Sulfur amino acid) และเป็นกรดอะมิโนที่อ่อนไหวต่อสภาพแวดล้อมหภูมิสูง นอกจากนี้ยังมีบทบาทที่สำคัญในการช่วยควบคุม metabolites รวมทั้งเป็นองค์ประกอบที่สำคัญของโปรตีน และเป็นกรดอะมิโนที่จำเป็นต่อมนุษย์ เนื่องจากว่าเป็นกรดอะมิโนที่มนุษย์ไม่สามารถสังเคราะห์เองได้จึงต้องได้รับมาจากกระบวนการบริโภคอาหารที่มีโปรตีน และกรดอะมิโนเป็นองค์ประกอบ (Krishnan, & Jez, 2018) นอกจากนี้ผลกระทบของอุณหภูมิที่เพิ่มสูงขึ้นยังส่งผลต่อกุณภาพ และองค์ประกอบทางโภชนาการของโปรตีนในเมล็ดถั่วเหลือง อีกด้วย (Constanza et al., 2011; ภณิตา ธนาเจริญชนกานต์, 2558; สุดารัตน์ ปานกลาง และคณะ, 2561) โดยข้อมูลที่ว่าไปของปริมาณกรดอะมิโนในถั่วเหลืองที่ทำการศึกษาทั้ง 3 ชนิด ได้แก่ Lysine Glycine และ Methionine จะต้องมีปริมาณกรดอะมิโนเท่ากัน 2700, 1800 และ 500 mg/100g ตามลำดับ (อาภู ณ ลำปาง, 2538) และนอกจากนี้กรดอะมิโน Lysine ยังพบในปริมาณมากที่สุด ในถั่วเหลือง Glycine จะปั่งบวกถึงความเป็นถั่วเหลือง ซึ่งในถั่วเหลืองนั้นจะต้องพบกรดอะมิโน Glycine อยู่ในเมล็ด และ Methionine จะพบในปริมาณน้อยที่สุดในถั่วเหลือง (สมชาย ประภาวดี, 2534) ซึ่งผลการศึกษาในครั้งนี้สอดคล้องกับข้อมูลทางวิชาการที่กล่าวมาในเบื้องต้นเนื่องจากพบว่าปริมาณกรดอะมิโนชนิด Methionine ลดลง แต่ปริมาณกรดอะมิโน Lysine และ Glycine เพิ่มขึ้น ถึงแม้ว่าปริมาณกรดอะมิโนทั้ง 2 ชนิดนี้จะเพิ่มขึ้นแต่ก็ยังมีปริมาณที่น้อยกว่าเกณฑ์ของ FAO/WHO แนะนำ นอกจากนี้ยังสามารถบ่งบอกได้ว่าสภาพอุณหภูมิที่เพิ่มสูงขึ้นของการทดลองนี้ยังไม่เพียงพอต่อการเข้าไปทำลายโครงสร้างของกรดอะมิโน Lysine และ Glycine จึงส่งผลต่อการกระตุ้นให้มีปริมาณที่เพิ่มขึ้น

ปัจจุบันมีแนวโน้มที่อุณหภูมิเพิ่มสูงขึ้นทำให้สภาพอากาศเปลี่ยนแปลงพืชจะมีโอกาสได้รับสัมผัติความร้อน และความเครียดจากการขาดน้ำ (Water stress) เพิ่มมากขึ้นส่งผลต่อกุณภาพของโปรตีน และกรดอะมิโนให้มีปริมาณลดลงดังที่กล่าวข้างต้น นอกจากนี้การนำถั่วเหลืองไปใช้ในการแปรรูปเป็นผลิตภัณฑ์ก็ได้รับความนิยมอย่างแพร่หลาย เพราะถั่วเหลืองมีคุณค่าทางโภชนาการสูงโดยเฉพาะโปรตีน จากงานวิจัยจำนวนมากพบว่ามีการเปลี่ยนแปลงองค์ประกอบของโปรตีน และกรดอะมิโน (Bainy et al., 2008) ซึ่งเกิดจากการเปลี่ยนแปลงสภาพแวดล้อมหภูมิที่เพิ่มสูงขึ้นส่งผลต่อกุณภาพของถั่วเหลืองที่นำมาใช้ในกระบวนการผลิตเต้าหู้ โดยทั่วไปแล้ว คุณลักษณะของเต้าหู้ในเชิงการค้าจะต้องมีลักษณะเป็นแผ่น หรือก้อน สีขาวนวลตามธรรมชาติ ลักษณะเนื้อสัมผัสจะต้องเรียบเนียน แน่น ไม่แตกหรือละ และมีฟองอากาศ (สำนักงานมาตรฐานอุตสาหกรรม, 2546) และจากการวิจัยนี้สอดคล้องกับผลการศึกษาที่พบว่าการปัจจุบันถั่วเหลือง

ภายใต้ระดับอุณหภูมิที่เพิ่มสูงขึ้นมีผลทำให้เกิดการลดผลผลิต และคุณภาพเนื้อสัมผัสของผลิตภัณฑ์เต้าหู้โดยพบว่า เต้าหู้ที่ผลิตจากถั่วเหลืองที่ปลูกภายในอุณหภูมิที่เพิ่มสูงขึ้น มีลักษณะจับตัวกันเป็นก้อนไม่แข็งมาก สีขาวนวล เนื้อเนียนค่อนข้างเละ และไม่มีฟองอากาศ ในสิ่งทดลอง HT1, HT2 และ HT3 ตามลำดับ นอกจากนี้ในกระบวนการการผลิตเต้าหู้จะต้องนำนมถั่วเหลืองดิบมาผ่านความร้อนที่อุณหภูมิประมาณ $80-100^{\circ}\text{C}$ เป็นระยะเวลา 10-20 นาที เพื่อลดกลิ่นถั่ว และหยุดการทำงานของเอนไซม์ (Enzyme) โดยเฉพาะ trypsin inhibitor ที่พบในถั่วเหลืองดิบเป็นสารยับยั้ง หรือลดคุณค่าทางสารอาหารในน้ำนมถั่วเหลืองโดยเฉพาะโปรตีนชนิด 11S (glycinin) และ 7S (β -conglycinin) ซึ่งเป็นสารที่พบในถั่วเหลืองมากที่สุด และพบว่า มีประโยชน์ต่อมนุษย์ (สถาบันวิจัยวิทยาศาสตร์และเทคโนโลยีแห่งประเทศไทย, 2548) ถ้าให้ความร้อนแก่น้ำนมถั่วเหลืองเป็นเวลานาน 30 นาทีจะเกิดกระบวนการทำลายกรดอะมิโนที่มีชัลเฟอร์ เป็นองค์ประกอบ (sulfur-containing amino acid) ได้แก่ กรดอะมิโน Methionine และ Cysteine สงผลให้ลดลงถึง 30 % (เพลินใจ ตั้งตะกูล, 2545) การให้ความร้อนในน้ำนมถั่วเหลืองจะทำให้โปรตีนเกิดการเสียสภาพธรรมชาติ (Denaturation) นอกจากนี้ยังพบว่าโปรตีนชนิด 11S มีปริมาณกรดอะมิโน Methionine และ Cysteine ตั้งกว่าโปรตีน 7S ประมาณ 3-4 เท่า และโปรตีนชนิด 11S ยังมีคุณค่าทางโภชนาการสูงกว่าโปรตีนชนิด 7S ในส่วนของโปรตีนชนิด 11S จะมีการเข้ามต่อ กันระหว่าง Sulphydryl group (SH-group) กับพันธะไดทัลไฟฟ์ เมื่อน้ำนมถั่วเหลืองได้รับความร้อน โปรตีนชนิด 11S จะเพิ่มจำนวนหมุนชัลฟ์ไฮด์ริล (SH-group) สงผลให้มีความสามารถในการเกาะกัน เกิดความแข็ง และความยืดหยุ่นของเนื้อเต้าหู้เพิ่มขึ้น โปรตีนชนิด 7S จะมีจำนวน Sulphydryl group (SH-group) เพิ่มขึ้นเช่นเดียวกันแต่ไม่มีผลต่อเนื้อสัมผัสของเต้าหู้ และโปรตีนทั้งสองชนิดนี้ มีความสามารถต่างกันในการทำให้เกิดเคิร์ดหรือเจล การหันต่อความร้อน และอิมัลซิฟายเออร์ (emulsifier) นอกจากนี้ยังพบว่าโปรตีนชนิด 11S จะต้องนำไปให้ความร้อนเท่านั้นจึงจะสามารถทำให้เกิดโครงสร้างเจลที่เกิดจากการหักตะกอนโปรตีน ส่วนโปรตีน 7S ไม่จำเป็นต้องผ่านความร้อน ก็เกิดโครงสร้างเจลได้แต่จะมีลักษณะไม่แข็ง ซึ่งเกิดจากการไม่แตกตัวของโปรตีน และโปรตีนทั้งสองชนิดนี้มีการเสียสภาพธรรมชาติในอุณหภูมิที่แตกต่างกัน โดยโปรตีนชนิด 11S จะเสียสภาพธรรมชาติที่อุณหภูมิ $85-95^{\circ}\text{C}$ ส่วนโปรตีนชนิด 7S จะเสียสภาพธรรมชาติที่อุณหภูมิ $65-75^{\circ}\text{C}$ (Hou et al., 1997; Liu et al., 2004; ศิริพร ดลวักนิยมกุล, 2552) และถ้านำน้ำนมถั่วเหลืองมาผ่านความร้อนที่อุณหภูมิ $70-100^{\circ}\text{C}$ เป็นเวลา 10-15 นาที จะเกิดการจับตัวของปริมาณโปรตีนในถั่วเหลืองได้ดีขึ้น (เพ็ญศรี เพ็ญธิสรา, 2544) ในการให้ความร้อนนั้นจะสงผลให้ลักษณะของไมเลกุลโปรตีนส่วนที่ไม่ชอบน้ำ (hydrophobic) ออกมายู่ด้านนอก และจับกับ

ไม่เลกุลของโปรดีนด้วยกันทำให้เกิดประจุลบพร้อมที่จะเข้าไปทำปฏิกิริยากับสารที่ทำให้เกิดการตกลงก่อนโปรดีน ในส่วนของการกวนน้ำนมถั่วเหลืองหลังจากที่เติมสารตกลงก่อนเข้าไปแล้วจะช่วยในการลดความซึ้นในเมือเต้าหู้ แต่ถ้าไม่มีการกวนหลังจากเติมสารตกลงก่อนจะมีความซึ้นอยู่ในเนื้อเต้าหู้ถึง 7 % การตกลงก่อนจะนิยมใช้อาตุโลหะอัลคาไลอิร์ค (ธาตุหมู่ที่ 2) เช่น แคลเซียมชัลเฟต แคลเซียมคลอไรด์ แมกนีเซียมชัลเฟต และแมกนีเซียมคลอไรด์ ซึ่งมีประจุเป็นบวกทำให้ไม่เลกุลของโปรดีนที่เสียสภាពธรรมชาติจากความร้อนเข้ามาจับกับสารที่ตกลงก่อน และสร้างพันธะไดซัลไฟด์เชื่อมต่อระหว่างกัน จากนั้นโปรดีนจะสร้างพันธะใหม่แยกชั้นออกม่าส่งผลให้เกิดการตกลงก่อนของโปรดีนเป็นลิมเต้าหู้ หรือโครงสร้างเจล จากนั้นนำลิมเต้าหู้ (Tofu curd) ที่ได้มากดทับเพื่อไล่น้ำออกเป็นเวลา 30 นาที จะได้เต้าหู้แข็งสามารถนำมาปูรณาหารได้ (กุลยา จันทร์อุณ, 2533)

จากการศึกษาสถานการณ์ภัยใต้ส่วนภูมิภาคเพิ่มระดับของอุณหภูมิในบริเวณภาคสามารถนำมาประยุกต์เพื่อปรับใช้ต่อการรับมือการเปลี่ยนแปลงภูมิอากาศในประเทศไทยได้เนื่องจากผลของปัจจัยที่ศึกษามีผลต่อการเปลี่ยนแปลงผลผลิต สารอาหารประเททโปรดีน และกรดอะมิโนในถั่วเหลือง นอกจากนี้ยังส่งผลต่อการเปลี่ยนแปลงลักษณะของผลิตภัณฑ์เต้าหู้ในประเด็นผลการศึกษาวิจัยนี้สามารถรับมือกับการเปลี่ยนแปลงสภาพภูมิอากาศได้ในด้านการนำข้อมูลมาปรับใช้เป็น Data base ซึ่งจะเป็นฐานข้อมูลเบื้องต้น และนำไปสู่การสร้างแบบจำลองทางคณิตศาสตร์เพื่อเป็นการทำนายสถานการณ์ในอนาคต และจะได้เป็นแนวทางในการวางแผนเพื่อรับมือกับคุณค่าทางสารอาหารของถั่วเหลืองที่ไม่สมบูรณ์ ส่งผลต่อความเสี่ยงความมั่นคงทางด้านอาหารของประเทศไทย นอกจากนี้ยังสามารถนำไปปรับใช้กับแผนพัฒนาเศรษฐกิจและสังคมแห่งชาติดูปที่ 12 และสอดคล้องตามยุทธศาสตร์ชาติ 20 ปี เพื่อเป็นแนวทางในการพัฒนาประเทศไทยต่อไป

ข้อเสนอแนะ

- ผลการศึกษาควรได้รับการต่อยอดคงคู่ความรู้ในอนาคตโดยการวิจัยในขอบเขตขยายพื้นที่ให้มีขนาดใหญ่ขึ้น เช่น จะต้องทำการปลูกถั่วเหลืองในแปลงวิจัยอย่างน้อย 1 ไร่ เพื่อเป็นการคาดการณ์การประเมินผลผลิตของถั่วเหลืองที่ปลูกในสภาวะโลกร้อนในอนาคตให้มีความแม่นยำมากขึ้น และนอกจากนี้ยังเป็นการต่อยอดคงคู่ความรู้ที่เป็นประโยชน์ต่อภาคเกษตรกรรมในอนาคต เพราะในปัจจุบันเกิดปัญหาการลดลงของพื้นที่เกษตรกรรม ขาดแคลนน้ำ รวมไปถึงปัญหาดินเสื่อมโทรมที่เกิดจากระดับอุณหภูมิที่เปลี่ยนแปลงไป 送ผลให้ปริมาณการผลิตถั่วเหลืองลดลง และคุณภาพของสารอาหารในเม็ดถั่วเหลืองลดลงด้วย ซึ่งส่งผลในเชิงเศรษฐศาสตร์ที่เกิดวิกฤต

ผลกรบทบททางด้านความไม่มั่นคงของอาหาร ทำให้ผลผลิตที่ได้ไม่เพียงพอต่อจำนวนประชากร ดังนั้นจึงจำเป็นที่จะต้องทำการศึกษาวิจัยเพื่อให้เป็นข้อมูลในเชิงลึกส่วนหนึ่งที่สามารถใช้คำนวณทางด้านการเกษตร เพื่อเป็นการเพิ่มมูลค่าทางการเกษตรมากขึ้น

2. ผลการศึกษาควรจะมีความร่วมมือเชิงวิชาการกับหน่วยงานอื่นๆ ที่เกี่ยวข้องในอนาคต เพื่อเป็นฐานข้อมูลที่สำคัญ และสามารถต่อยอดองค์ความรู้ให้เป็นประโยชน์ต่อการปรับตัว และรวมไปถึงการรับมือจากปัญหาการเปลี่ยนแปลงสภาพภูมิอากาศของประเทศไทยต่อไป ในอนาคต และจากการศึกษาในครั้งนี้เป็นการแจ้งเตือนให้ทราบว่าในอนาคตสภาพอากาศอาจเกิด การเปลี่ยนแปลงอย่างรวดเร็วและต่อเนื่อง ดังนั้นอาจจะประสบกับปัญหาการลดลงของผลผลิต อาจจะต้องมีการเปลี่ยนพืชที่เหมาะสม หรือถูกกาปลูกให้เหมาะสมสมต่อไป และที่สำคัญเป็นอย่างยิ่งคือ จะต้องสอดคล้องกับแผนพัฒนาเศรษฐกิจและสังคมแห่งชาติฉบับที่ 12 ซึ่งมุ่งเป้าในกราวงราฐฐานการพัฒนาประเทศไทยไปสู่สังคมที่มีความสุขอย่างมั่นคง มั่งคั่ง และยั่งยืน ตลอดลักษณะตามยุทธศาสตร์ชาติ 20 ปี ที่เป็นกรอบการพัฒนาประเทศไทยในระยะยาวต่อไป



บรรณานุกรม

- กนิตา ชนเจริญชุมภาส และ ออส รักษาติ. (2552). ผลกระทบของสภาวะภูมิอากาศที่เพิ่มขึ้นในฤดูกาลปีชูที่มีต่อผลผลิตและอนุภาคเม็ดแบ่งต่อข้าวหอมไทย (*Oryza sativa L.*) พันธุ์ข้าวดอกมะลิ 105. ใน การประชุมวิชาการครั้งที่ 47 มหาวิทยาลัยเกษตรศาสตร์ เล่มที่ 9 สาขาวิชาระพยากรธรรมชาติและสิ่งแวดล้อม (น. 282-290). กรุงเทพฯ: มหาวิทยาลัยเกษตรศาสตร์
- กนิตา ชนเจริญชุมภาส. (2558). การเปลี่ยนแปลงภูมิอากาศโลก : ผลกระทบและการตอบสนอง ของสิ่ววิทยาระบบนิเวศ. พิษณุโลก: โรงพิมพ์วิจัยพิษณุโลก ดอท คอม.
- กุลยา จันทร์อุณ. (2533). เคมีอาหาร. กรุงเทพฯ: หน่วยศึกษาโน้ตกรุ๊ป กรรมการฝึกหัดครุ.
- กรชาล ชนลีสังกุล, สิทธิชัย เมฆาสิริปกรณ์, สมพงศ์ จันทร์แก้ว, จิรวัฒน์ สนิทชน และ Tatsuhiko Shiwiwa. (2559). ผลกระทบของอุณหภูมิสูงต่อความสูงและคุณภาพเมล็ดข้าวเหลือง จำนวน 26 สายพันธุ์. แก่นเกษตร, 44(1), 302-308.
- จรรักษ์ วัชรินทร์ตัน. (2554). ผลกระทบของการเปลี่ยนแปลงภูมิอากาศโลกกับการพัฒนาและการ ใช้ประโยชน์เมืองต้น. แก่นเกษตร, 39(2), 27-30.
- จันทร์ วรากุลเทพ, อัจฉรา กลีบงาม, วัชร์ กาใจกล, ฉัตรแก้ว เกล้ารัตน์, ประทุมรัตน์ บัวเย้ม และ วันทา ยิ่มสุข. (2546). เต้าหู้อาหารเพื่อสุขภาพ. กรุงเทพฯ: เพชรกรรัตสติวิดิโอ.
- ชนวัฒน์ จากรุพษ์สกุล. (2550). ผลกระทบสุดท้ายถิ่นอาศัยต่อเศรษฐกิจประเทศไทย, เรื่องโดยกรรัตน์ผลกระทบ ต่อชุมชนข้าวของประเทศไทยในอนาคต. กรุงเทพฯ: สำนักพิมพ์ฐานการพิมพ์.
- เชียร์ชัย อารยะง្វារ. (2541). ทางเลือก : ลดต้นทุนการผลิตถั่วเหลือง. ศูนย์วิจัยพืชไร่เชียงใหม่ สถานวิจัยพืชไร่: กรมวิชาการเกษตร.
- นเรศ จำเจริญ. (2555). ผลกระทบของอุณหภูมิในบรรยากาศที่สูงขึ้นต่อองค์ประกอบผลผลิตและ คุณภาพสารอาหารในถั่วเหลือง (*Glycine max (L.) Merrill*) พันธุ์เชียงใหม่ 60.
- (วิทยานิพนธ์ปริญญามหาบัณฑิต). พิษณุโลก: มหาวิทยาลัยนเรศวร.
- พิรายุ แหงษ์กำเนิด. (2554). ผลกระทบของโรคร้ายที่ต้องเฝ้าระวัง. วารสาร GREEN Research ศูนย์วิจัย และฝึกอบรมด้านสิ่งแวดล้อม, 8(19), 12-13.
- เพ็ญศรี เพ็ญธิสรา. (2544). ผลของอิเล็กโทรไลต์ที่มีต่อการจับก้อนของโปรตีนในน้ำนมถั่วเหลือง. (วิทยานิพนธ์ปริญญามหาบัณฑิต). เชียงใหม่: มหาวิทยาลัยเชียงใหม่.
- เพลินใจ ตั้งตระกูล. (2545). ปัจจัยที่มีผลต่อคุณภาพของเต้าหู้. วารสารอาหาร, 32(2), 92-97.

- ภาคภูมิ พระปะระเสริฐ. (2550). ศรีวิทยาของพีช. กรุงเทพ: โอดี้นสโตร์.
- วริศา ปานพร และ วิสาคร วงศ์พิมพา. (2557). ผลของระดับอุณหภูมิในบรรยักษ์ที่แตกต่างกันที่มีบริมาณธาตุอาหารในดินและองค์ประกอบผลผลิตของถั่วเหลือง (*Glycine max* (L.) Merrill.) (วิทยานิพนธ์ปริญญาบัณฑิต). พิษณุโลก: มหาวิทยาลัยราชภัฏ。
- ศิริพร ดลภักนิยมกุล. (2552). การพัฒนาผลิตภัณฑ์เต้าหู้อ่อนจากกา瓜ขาวและชั้นพีช. (วิทยานิพนธ์ปริญญาบัณฑิต). ปทุมธานี: มหาวิทยาลัยธรรมศาสตร์.
- ศุนย์ภูมิอุตสาหกรรมวิทยา. (2553). ความผันแปรและการเปลี่ยนแปลงภูมิอากาศของประเทศไทยและการคาดการณ์ในอนาคต. กรุงเทพฯ: กรมอุตุนิยมวิทยา, กระทรวงดิจิทัลเพื่อเศรษฐกิจและสังคม.
- ศูนย์วิจัยพีชไรเชียงใหม่ กรมวิชาการเกษตร. (2560). ถั่วเหลืองพันธุ์เชียงใหม่ 60. สีบคัน 10 มิถุนายน 2560, จาก http://www.doa.go.th/fcrc/chiangmai/index.php?option=com_content&view=article&id=65:chiangmai-soybean60&catid=39:soybean-seed&Itemid=103#.
- สันทนา สุชาดาภัตน์. (2536). อาหารและโภชนาการ 1 Food and Nutrition 1 HC 243 (พิมพ์ครั้งที่ 2). กรุงเทพฯ: สำนักพิมพ์มหาวิทยาลัยรามคำแหง.
- สถาบันวิจัยวิทยาศาสตร์และเทคโนโลยีแห่งประเทศไทย(วว.). (2548). เทคโนโลยีการแบรูนอาหาร 2. กรุงเทพฯ: เซเว่น พรินติ้ง กรุ๊ป.
- สุชาดาภัตน์ ปานหลวง, โครส รักษาดิ และกนิตา ธนาเจริญชนกานต์. (2561). ผลกระทบของระดับอุณหภูมิที่เพิ่มขึ้นในบรรยักษ์ตามแนวโน้มสภาพโลกร้อน ที่ส่งผลต่อ การเจริญเติบโตของค์ประกอบผลผลิต และการด้อยมีน 2 ชนิด ของถั่วเหลืองพันธุ์เชียงใหม่ 60. วิทยาศาสตร์เกษตร. 49, 8-14.
- สมมาลี ทองแก้ว และ วัลย์พิพิญ สาชลวิจารณ์. (2541). ถั่วเหลืองพืชชนิดศจรร्य์ของเมืองไทย. กรุงเทพฯ: หมochawbanna.
- สมชาย ประภาภัต. (2534). การทำเนื้อเทียนจากถั่วเหลือง. อาหาร, 21(3), 161-171.
- สำนักงานเกษตรและสหกรณ์จังหวัดสุโขทัย. (2560). ถั่วเหลืองข้อมูลเพื่อวางแผนสินค้าเกษตร จังหวัดสุโขทัย. สีบคัน 28 มิถุนายน 2562, จาก <https://www.opsmoac.go.th/sukhothai-dwl-files-401891791927>.
- สำนักงานมาตรฐานอุตสาหกรรม. (2546). เต้าหู้แผ่น. สีบคัน 10 มิถุนายน 2560, จาก http://www.srayaisomwittaya.ac.th/hectec/siamculture/otop-tis/tcps461_47.pdf.

- สำนักงานเศรษฐกิจการเกษตร. (2558). สถิติการเกษตรของประเทศไทย ปี 2558.
สืบค้น 5 มิถุนายน 2560, จาก http://www.oae.go.th/download/download_journal/2559/yearbook58.pdf.
- อาชุณ ลับปาง. (2538). ชนิดของพืชน้ำมันที่เพาะปลูกในประเทศไทย. สารานุกรมไทยสำหรับเยาวชน (เล่มที่ 19). กรุงเทพฯ: ด้านสุทธาการพิมพ์.
- อภิวรรณ พุกภักดี. (2546). ถั่วเหลือง : พืชทองของไทย. กรุงเทพฯ: สำนักพิมพ์มหาวิทยาลัยเกษตรศาสตร์.
- อุบล ดีสวัสดิ์. (2546). เต้าหู้เมืองร้อยเพื่อสุขภาพ. กรุงเทพฯ: สำนักพิมพ์แม่บ้าน.
- อวยพร อภิรักษ์ร่วมวงศ์. (2549). ภาคตะวันออกและประเทศไทย. นครปฐม: โรงพิมพ์มหาวิทยาลัยศิลปากร.
- อำนวย จิตไธสง และ อัศมน ลิมสกุล. (2557). สรุปสาระสำคัญรายงานการสัมมนาเรื่องที่และประเมินความรู้ด้านการเปลี่ยนแปลงภูมิอากาศครั้งที่ 5 ภายใต้ ใน *Global Warming Forum* ปีที่ 4 ครั้งที่ 3, (пп. 1-56). กรุงเทพฯ: สำนักงานกองทุนสนับสนุนการวิจัย.
- Annie Warren, Neroli Graham, Rosy Raman, & Kristy Hobson. (2019). The physiology and genetics of cold temperatures in chickpeas - what do we know and where is the research heading? In *Warra GRDC Grains Research Update*. Warra Memorial Hall: Monument Australia.
- AOAC. (1995). *Official Methods of Analysis*. Vol.2 (16th ed). Association of Official Analytical Chemists: Washington, D.C.
- Bainy, E.M., Tosh, S.M., Corredig, M., Woodrow, L., & Poysa, V. (2008). Protein Subunit Composition Effects on the Thermal Denaturation at Different Stages During the Soy Protein Isolate Processing and Gelation Profiles of Soy Protein Isolate. *Journal Americcan Oil Chemists Society*, 85, 581-590.
- Bhattarai, M.D., Secchi, S., & Schoof, J. (2017). Projecting corn and soybeans yields under climate change in a Corn Belt watershed. *Agriculture Systems*, 152, 90-99.
- Bonan, G. (2002). *Ecological Climatology*. Retrieve 1 June 2017, from <http://www.cgd.ucar.edu/tss/aboutus/staff/bonan/ecoclim/index-2002.htm>.
- Campbell, N. A., & Reece, J. B. (2004). *Biology* (7th ed.). San Francisco: Benjamin Cummings.

- Constanza Soledad Crerra, Cora Marcela Reynoso, Gustavo Javier Funes, Maria Jose Martinez, Julio Dardanelli, & Silvia Liliana Resnik. (2011). Amino acid composition of soybean seeds as affected by climate variables. *Pesquisa Agropecuária Brasileira*, 46(12), 1579-1587.
- Custodio R.P. Tacarindua Tat, suhiko Shiraiwa, Koki Homm, Etsushi Kumagai, & Ryoji Sameshima. (2013). The effects of increased temperature on crop growth and yield of soybean grown in a temperature gradient chamber. *Field Crops Research*, 154, 74-81.
- Clarke, L., Edmonds, J., Jacoby, H., Pitcher, H., Reilly, J., & Richels, R. (2007). *Scenarios of Greenhouse Gas Emissions and Atmospheric Concentrations. Sub-report 2.1 A of Synthesis and Assessment Product 2.1 by the U.S. Climate Change Science Program and the Subcommittee on Global Change Research*. Washington, 7 DC., USA: Department of Energy, Office of Biological & Environmental Research.
- Clarke, L., Jiang, K., Akimoto, K., Babiker, M., Blanford, Fisher-Vanden, G., ... Van Vuuren, D.P. (2014). Assessing transformation pathways. In: *Climate change 2014: Mitigation of climate change. Contribution of Working Group III to the Fifth Assessment Report of the Intergovernmental Panel on Climate Change*. Cambridge, United Kingdom and New York, USA: Cambridge University Press.
- Cline, W. R. (2007). *Global Warming and Agriculture: Impact Estimates by Country*. Washington, D.C: Peterson instilute.
- Cline, W.R. (2008). Global Warming and Agriculture. *Finance & Development*, March 2008, 1-5.
- Cure, J.D., & Acock, B. (1986). Crop responses to carbon dioxide doubling-a literature survey. *Agricultural and Forest Meteorology*, 38, 127-145.
- Detlef P. van Vuuren, Michel G. J. den Elzen, Paul L. Lucas, Bas Eickhout, Bart J. Strengers, Bas van Ruijven, Steven Wonink, & Roy van Houdt. (2007). Stabilizing greenhouse gas concentrations at low levels: an assessment of reduction strategies and costs. *Climatic Change*, 81, 119-159.

- Dornbos, D.L., & Mullen R.E. (1991). Influence of stress during soybean seed fill on seed weight, germination, and seedling growth rate. *Canadian journal of plant science*, 71, 373-383.
- Fehr, W.R., & Caviness, C.E. (1977). Stages of soybean development. *Iowa States A.E.S. Special Report*, 87, 1-12.
- Francis, F.J., & Rugchati, O. (1999). Soybeans and Soybean Processing. *Wiley Encyclopedia of Food Science and Technology*, 4, 2185-2190.
- Fujino, J., R. Nair, M. Kainuma, T. Masui, & Y. Matsuoka. (2006). Multi-gas mitigation analysis on stabilization scenarios using AIM global model. *Multigas Mitigation and Climate Policy, The Energy Journal Special Issue*, 3, 343-354.
- Gibson, L.R., & Mullen, R.E. (1996). Influence of day and night temperature on soybean seed yield. *Crop Science*, 36, 98-194.
- Hasanuzzaman Mirza, Nahar Kamrun, Mahabub Alam Md., Rajib Roychowdhury, & Masayuki Fujita. (2013). Physiological, Biochemical, and Molecular Mechanisms of Heat Stress Tolerance in Plants. *International Journal of Molecular Sciences*, 14(5), 9643-9684.
- He, Y., Liu, X., & Huang, B. (2005). Changes in Protein Content, Protease Activity, and Amino Acid Content Associated with Heat Injury in Creeping Bentgrass. *Journal of the American Society for Horticultural Science*, 130(6), 842-847.
- Hijioka, Y., Y. Matsuoka, H. Nishimoto, M. Masui, & M. Kainuma. (2008). Global GHG emissions scenarios under GHG concentration stabilization targets. *Journal of Global Environmental Engineering*, 13, 97-108.
- Hollister, R.D., & Webber, P.J. (2000). Biotic validation of small open top chamber in tundra ecosystem. *Global Change Biology*, 6(7), 835- 842.
- Hou, H.J., Chang, K.C., & Shih, M.C. (1997). Yield and textural properties of soft tofu as affected by coagulation method. *Food Science*, 62(4), 824-827.

- IPCC. (2006). *IPCC Guidelines for National Greenhouse Gas Inventories ; Volume 1: General Guidance and Reporting.* Kanagawa, Japan: Intitute for Global Environmental Strategies.
- IPCC. (2007). Climate Change 2007: The Physical Science Basis. *International Journal of Greenhouse Gas Control*, 1, 418-429.
- IPCC. (2013). *Summary for Policymakers. In: Climate Change 2013: The Physical Science Basis. Contribution of Working Group I to the Fifth Assessment Report of the Intergovernmental Panel on Climate Change.* Combridge, United Kingdom and New York, USA: Combridge University Press.
- IPCC. (2014). *Summary for Policymakers. In: Climate Change 2014: Impact, Adaptation, and Vulnerability. Part A: Global and Sectoral Aspects. Contribution of Working Group II to the Fifth Assessment Report of the Intergovernmental Panel on Climate Change.* Cambridge University Press: Cambridge, United Kingdom and New York, USA.
- John Heslop-Harrison. (2017). *Plant development*, Encyclopædia Britannica, inc. Retrieve 26 October 2019, from <https://www.britannica.com/science/plant-development>.
- Johnson, T.J. (1969). Effect of row spacing and supplemental light on yield and yield components of soybeans. *Crop Sci*, 9, 577-581.
- Jones, H.G. (1992). *Plants and microclimate : Aquantitative approach to environmental plant physiology.* Cambridge, United Kingdom and New York, US: Cambridge University Press.
- Khaliq, I., Hof, C., Prinzinger, R., Bohning-Gaese, K., & Pfenninger, M. (2014). Global variation in thermal tolerances and vulnerability of endotherms to climate change. *Biological Sciences*, 281 (1789), DOI: 10.1098/rspb.2014.1097.
- Kobata Tohru, & Uemuki Naoya. (2004). High Temperatures during the Grain-Filling Period Do Not Reduce the Potential Grain Dry Matter Increase of Rice. *Agronomy Journal*, 96, 406-414.

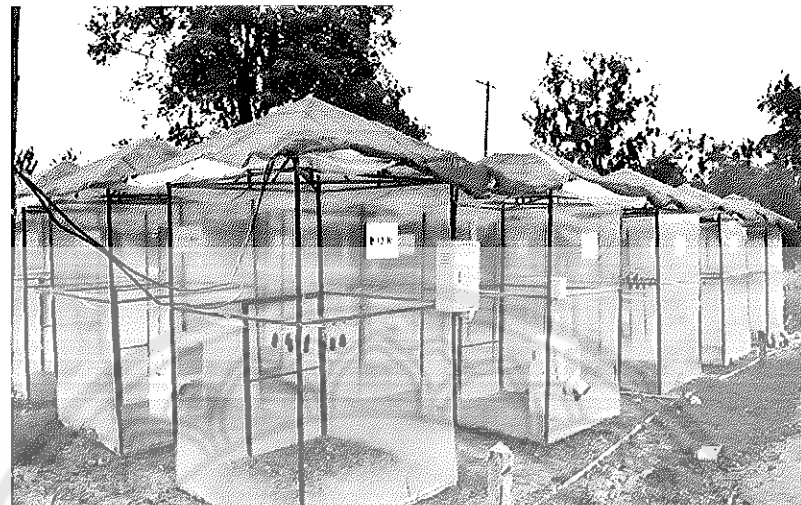
- Krishnan Hari B., & Jez Joseph M. (2018). Review: The promise and limits for enhancing sulfur-containing amino acid content of soybean seed. *Plant Science*, 272, 14-21.
- Kumagai, E., & Sameshima, T.R. (2014). Genotypic differences in soybean yield responses to increasing temperature in a cool climate are related to maturity group. *Agricultural and Forest Meteorology*, 198-199, 265-272.
- Lal, M., Singh, K.K., Srinivasan, G., Rathore, L.S., Naidu, D., & Tripathi, C.N. (1999). Growth and yield responses of soybean in Madhya Pradesh, India to climate variability and change. *Agriculture and Forest Meteorology*, 93, 53-70.
- Lee, Z.H., Sethupathi, S., Lee, K.T., Bhatia, S., & Mohamed. A.R. (2013). An overview on global warming in Southeast Asia: CO₂ emission status, efforts done, and barriers. *Renewable and Sustainable Energy Reviews*. 28, 71-81.
- Liu, Z.S., Chang, S.K.C., Li, L.T., & Tatsumi, E. (2004). Effect of selective thermal denaturation of soybean proteins on soymilk viscosity and tofu's physical properties. *Food Research International*, 37, 815-822.
- Liu B., Liu X.B., Wang C., Jin J., & Herbert S.J. (2010). Endogenous hormones in seed, leaf, and pod wall and their relationship to seed filling in soybeans. *Crop & Pasture Sci.*, 61(2010), 103-110.
- Lobell, D.B., & Asner, G.P. (2003). Climate and management contributions to recent trends in U.S. agricultural yield. *Science*, 299, 1032.
- Masui T, Matsumoto K, Hijioka Y, Kinoshita T, Nozawa T, Ishiwatari S, Kato E, Shukla PR, Yamagata Y, & Kainuma M (2011). An emission pathway to stabilize at 6 W/m² of radiative forcing. *Climatic Change*, 109(1-2), 59-76.
- Newton, P.D.C., Clark, H., Bell, C.C., Glasgow, E.M., & Campbell, B.D. (1994). Effects of elevated CO₂ and simulated seasonal changes in temterature on the species composition and growth rates of pasture turves. *Annual Botany*, 73, 53-59.
- Nijs, I., Teughels, H., Blum, H., Hendrey, G., & Impens, I. (1996). Simulation of Climate Change with Infrared Heaters Reduces The Productivity of Lolium Perenne L. in Summer. *Environmental Experimental Botany*, 36, 271-280.

- Nxawe S., Ndakidemi P. A., & Laubscher C. P. (2010). Possible effects of regulating hydroponic water temperature on plant growth, accumulation of nutrients and other metabolites. *African Journal of Biotechnology*, 9(54), 9128-9134.
- Puteh, A. B., ThuZar, M., Alam Mondal, M.M., Abdullah, N. A. P. B., & Halim, M.R. (2013). Soybean [*Glycine max* (L.) Merrill] seed yield response to high temperature stress during reproductive growth stages. *Australian Journal of Crop Science*, 10, 1472-1479.
- Reddy, K., & Hodges, H. (2000). *Climate change and global crop productivity*. Wallingford, Oxon, UK: CAB International 2000.
- Riahi, K. Gruebler, A., & Nakicenovic N. (2007). Scenarios of long-term socio-economic and environmental development under climate stabilization. *Technological Forecasting and Social Change*, 74(7), 887-935.
- Saryoko Andy, Homma Koki, Lubis Iskandar, & Shiraiwa Tatsuhiko. (2017). Plant development and yield components under a tropical environment in soybean cultivars with temperate and tropical origins. *Plant Production Science*, 20(4), 375-383.
- Shi Meng, Sam Chang, Anne M. Gillen, & Yan Zhang. (2016). Protein and quality analyses of accessions from the USDA soybean germplasm collection for tofu production. *Food Chemistry*, 213, 31-39.
- Summerfield RJ, Muehlbauer FJ, & Short RW. (1989). Controlled environments as an adjunct to field research on Lentils (*Lens culinaris*). IV. Cultivar responses to above- and below-average temperatures during vegetative growth. *Experimental Agriculture*, 25, 119-134.
- Thanacharoenchanaphas, K., & Rugchati, O. (2011). Simulation of Climate Variability for Assessing Impacts on Yield and Genetic Change of Thai Soybean. World Academy of Science. *Engineering and Technology*, 59, 1484-1488.
- Thanacharoenchanaphas, & Rugchati. (2015). Impacts of Atmospheric Temperature – Humidity Changes on Yield Quality of Thai Soybean Cultivar. *International Journal of Environmental and Rural Development*, 6(2), 115-120.

- Thomas D Sharkey. (2001). *Photorespiration*. In Access Science. McGraw-Hill Education. Retrieve 10 October 2018, from doi.org/10.1036/1097-8542.511500.
- UNFCCC. (2011). *Report of the Global Environment Facility to the Conference of the Parties and guidance to the Global Environment Facility*. United Nations Framework Convention on Climate Change.
- Wahid A., Gelani S., Ashraf M., & Foolad MR. (2007). Heat tolerance in plants: an overview. *Environmental and Experimental Botany*, 61, 199-223.
- Wallace, J., & Hobbs, P. (2006). *Atmospheric science* (2nd ed.). Amsterdam, Netherlands: Elsevier Academic Press.
- Weingartner, K.E. (1987). Propcessing, nutrition and utilization of soybean In Singh, S.R. Rachie, K.O., & Dashiell, K.E. (Eds.) *Soybean of the Tropics: research, production and utilization* (pp. 149-178). Chichester, U.K: Wiley-Interscience .
- Wise Marshall, Katherine Calvin, Allison Thomson, Leon Clarke, Benjamin Bond-Lamberty, Ronald Sands, Steven J. Smith, & James Edmonds. (2009). Implications of Limiting CO₂ Concentrations for Land Use and Energy. *Science*, 324(5931), 1183-1186.
- Wurr, D.C.E., Fellows, J.R., & Phelps, K. (1996). Investigating trends in vegetable crop response to increasing temperature associated with climate change. *Scientia Horticulturae*, 66, 255-263.
- Xu, G., Singh, S., Barnaby, J., & Buyer, J. (2016). Effects of growth temperature and carbon dioxide enrichment on soybean seed components at different stages of development. *Plant Physiology and Biochemistry*, 108, 313-322.
- Zhang, L., Zhu, L., Yu, M., & Zhong, M. (2016). Warming decreases photosynthates and yield of soybean (*Glycine max* (L.) Merrill) in the North China Plain. *The crop Journal*, 6, 139-146.
- Zuo Feng, Chen Zhenjia, Shi Xiaodi, Wang Ruican, & Guo Shuntang. (2016). Yield and textural properties of tofu as affected by soymilk coagulation prepared by a high-temperature pressure cooking process. *Food Chemistry*, 213, 561-566.



ภาคผนวก ก พื้นที่วิจัยภาคสนาม และการเจริญเติบโตของถั่วเหลือง



ภาพผนวก 1 พื้นที่วิจัยภาคสนาม และรูปแบบของ Open Top Chamber



ภาพผนวก 2 ระยะการเจริญเติบโตทางต้นและใบของถั่วเหลือง



ภาพพนวก 3 ระยะการเจริญเติบโตทางต้นและใบของถั่วเหลืองโตเต็มที่



ภาพพนวก 4 ระยะการเจริญเติบโตทางดอกของถั่วเหลือง



ภาพพนวก 5 ระยะการเจริญเติบโตทางผ้ากของถั่วเหลือง



ภาพพนวก 6 เก็บผลผลิตของผ้ากถั่วเหลืองในระยะสุกแก่เต็มที่

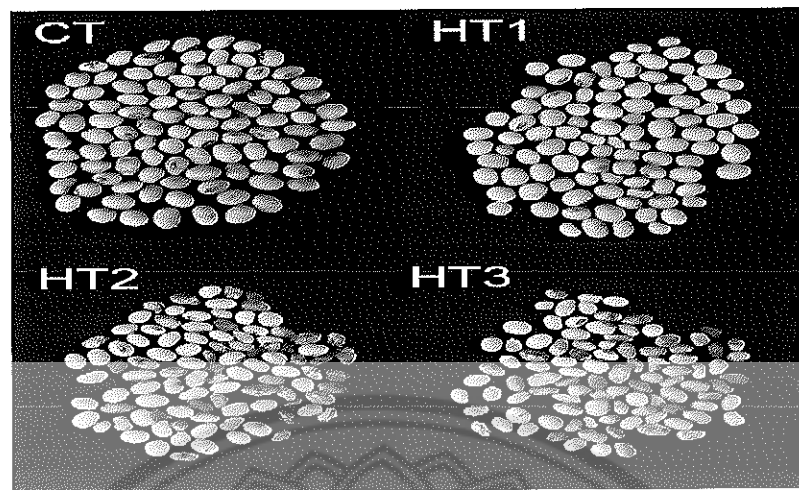
ภาพพนวก ๖ องค์ประกอบผลผลิต



ภาพพนวก ๗ นับองค์ประกอบผลผลิตทั้งหมด



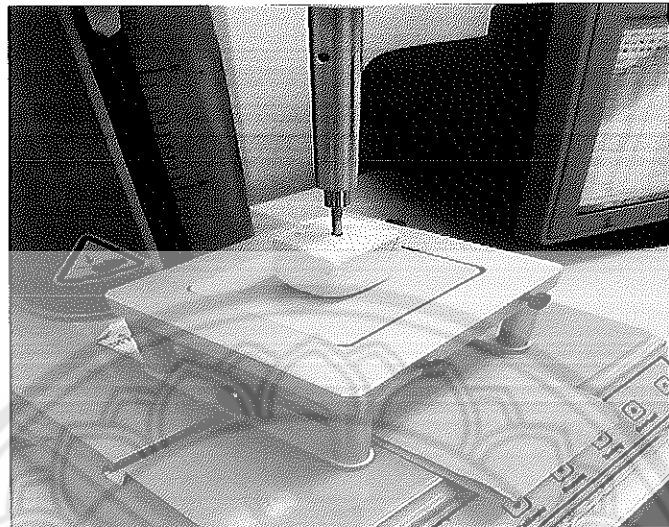
ภาพพนวก ๘ จำนวนผักถัวเหลืองทั้ง ๔ สิ่งทดลอง



ภาพผนวก 9 จำนวนเมล็ดตัวเหลือง 100 เมล็ด ทั้ง 4 สิ่งทดลอง



ภาพพนวก ๑๐ ผลผลิตเต้าหู้



ภาพพนวก ๑๐ การวัดเนื้อสัมผัสของเต้าหู้



ภาพพนวก ๑๑ การวัดค่าเอคติวิตีของน้ำ (Water activity)



ภาพผนวก 12 การวัดค่าความชื้นของเต้าหู้



ภาคผนวก ๔ การวิเคราะห์ในห้องปฏิบัติการ

การวิเคราะห์หาปริมาณไนโตรเจนทั้งหมดในติน (Total Nitrogen) โดยใช้วิธี Kjeldahl method

เครื่องมือและอุปกรณ์

1. เครื่องซึ่งทศนิยม 4 ตำแหน่ง
2. ตู้ดูดควัน (Hood)
3. เครื่องกลั่น (Kjeldahl distillation apparatus)
4. หลอดแก้ว Distillation tube ขนาด 250 ml
5. Erlenmeyer flask ขนาด 125 ml และ 250 ml
6. Volumetric flask ขนาด 100 และ 1000 ml
7. Hot plate
8. pipet ขนาด 10 ml
9. Buret ขนาด 50 ml
10. ขวดเก็บสารละลาย

สารเคมีและวิธีเตรียม

1. กรดซัลฟูริกเข้มข้น (cone. H_2SO_4)
2. โซเดียมไฮดรอกไซด์ (Commercial grade NaOH) อัตราส่วน 1:1 โดยชั้ง NaOH 1 kg ละลายในน้ำกลั่น 1 L หรือ NaOH 40 % โดยชั้ง NaOH 400 g ละลายในน้ำกลั่น 1 L
3. Boric acid 3 % เตรียมจาก Boric acid 300 g ละลายในน้ำกลั่น 10 L
4. สารเรืองปฏิกิริยา (mixed catalyst) เตรียมโดยผสม K_2SO_4 100 g, $CuSO_4 \cdot 5H_2O$ 10 g และ Se 1 g (อัตราส่วน 100:10:1) ผสมให้เข้ากัน
5. Mixed indicator ชั้งสรา bromocresol green 0.22 g และ methyl red 0.075 g ละลายใน 95 % ethyl alcohol 96 ml เติม NaOH 0.1 M ปริมาตร 3.5 ml ผสมให้เข้ากัน
6. Standard sulfuric acid 0.02N (0.02N H_2SO_4) โดยบีเบตกรด H_2SO_4 ความเข้มข้น 1N (เตรียมจาก ampoule) 20 ml ลงใน Volumetric flask ขนาด 1000 ml เติมน้ำกลั่น แล้วเช่น่าให้เข้ากันแล้วปรับปริมาตรเป็น 1000 ml

วิธีการ

1. ชั่งดินที่ kob และบดละอียดแล้ว 0.5-1.00 g (อบที่ 65-70 °C) ใส่ใน Erlenmeyer flask ขนาด 125 ml
2. เติมสารเร่งปฏิกิริยา (mixed catalyst) 1 g
3. เติม cone. H₂SO₄ 20 ml
4. ทำ Blank โดยวิธีเดียวกัน
5. นำไปปะอยบน Hot plate ที่ T 100-400 °C เป็นเวลา 2 ชั่วโมง หรือจนสารละลายตื่น้ำตาลเข้มเปลี่ยนเป็นสีเขียวใส จากนั้นทิ้งไว้ให้เย็น
- 6 ปรับปริมาตรใน Volumetric flask ขนาด 100 ml ด้วยน้ำกลั่น เขย่าให้เข้ากันแล้วนำสารละลายเที่ยวขวดเก็บสาร
7. นำไปกลั่นด้วยเครื่อง distillation unit โดยเติมสารละลายที่ย่อยแล้วลงในขวดย่อยเจ้าร์ล 10 ml จากนั้นเติม NaOH 40 % 50 ml และเติม Boric acid 5 ml ใน Erlenmeyer flask ขนาด 250 ml หยด Mixed indicator 4-5 หยด นำไปวางรองรับ condenser จากเครื่องกลั่นโดยให้หลอดจุ่มอยู่ใน Boric acid
8. ไถเตบท่อนที่กัลลันด้วย Standard sulfuric acid 0.02N จนกระทั่งสีของสารละลายเปลี่ยนจากสีเขียวเป็นสีม่วง คือจุดยุติ (end point)

สูตรคำนวณ

$$\% \text{T-N} = \frac{(A-B) \times C \times 1.401}{G}$$

A = ml ของ standard H₂SO₄ ที่ใช้ไถเตบท่อนท่อป่าย่าง

B = ml ของ standard H₂SO₄ ที่ใช้ไถเตบท่อตัวอย่าง blank

C = ความเข้มข้นของ Standard H₂SO₄ ที่ใช้ (molar)

G = น้ำหนักแห้งของตัวอย่างที่ใช้ในการวิเคราะห์ (g)

การวิเคราะห์หาปริมาณไนโตรเจนในตัวอย่างในดินในรูปแบบที่มีประโยชน์ (NH₄⁺, NO₃⁻) โดยใช้วิธี Steam distillation method

เครื่องมือและอุปกรณ์

1. เครื่องชั่งทศนิยม 4 ตำแหน่ง
2. เครื่องกลั่น (Kjeldahl distillation apparatus)
3. Erlenmeyer flask ขนาด 125 ml และ 250 ml

4. Volumetric flask ขนาด 200, 500 และ 1000 ml
5. Volumetric pipet ขนาด 20/25 ml
6. เครื่องกลั่น (Kjeldahl distillation apparatus)
7. หลอดแก้ว Distillation tube ขนาด 250 ml
8. ตู้ดูดควัน (Hood)
9. Hot plate
10. Buret ขนาด 50 ml
11. Cylinder ขนาด 10 ml
12. Funnel
13. เครื่องเขย่า
14. กระดาษกรองเบอร์ 1 หรือ 5
15. ขวดเก็บสารละลายน้ำ
- สารเคมีและวิธีเตรียม
 1. Magnesium oxide (MgO)
 2. Devarda alloy
 3. Potassium chloride 2N (2N KCl) ชั้ง 149.12 g ในน้ำกลั่น จากนั้นปรับปริมาตร 1 L
 4. Boric acid 3 %
 5. Standard sulfuric acid 0.005N (0.005N H_2SO_4) โดยปีเปตสารละลายน้ำ 0.1N H_2SO_4 50 ml ลงใน Volumetric flask ขนาด 1000 ml เติมน้ำกลั่น แล้วเขย่าให้เข้ากันแล้วปรับปริมาตรเป็น 1000 ml
- วิธีการ
 1. ชั้งดินจำนวน 10 g ใส่ใน Erlenmeyer flask ขนาด 250 ml
 2. เติมน้ำยาสกัด 2N KCl 100 ml ปิดจุกยางให้แน่นแล้วนำไปเขย่า 60 นาที จากนั้นกรองใส่ขวดเก็บสารละลายน้ำ
 3. ทำ Blank โดยวิธีเดียวกัน
 4. ภารกลั่นหา NH_4^+ นำไปกลั่นด้วยเครื่อง distillation unit โดยเติมสารละลายน้ำ 0.1N H_2SO_4 ลงในขวดย่อยเจ้าร์ล 20 ml จากนั้นเติม MgO 0.2 g และเติม Boric acid 5 ml ใน Erlenmeyer flask ขนาด 50 ml หยด Mixed indicator 4-5 หยด นำไปวางรองรับ condenser จากเครื่องกลั่นโดยให้หลอดจุ่มอยู่ใน Boric acid กลั่นจนสารละลายน้ำสีม่วงแดงเปลี่ยนเป็นสีเขียวได้ประมาณ 35 ml

5. การกลั่นหา NO_3^- นำไปกลั่นด้วยเครื่อง distillation unit โดยเติม Devarda alloy 0.2 g ลงใน Erlenmeyer flask เติมที่กัลล์หา NH_4^+ ซึ่ง Devarda alloy จะทำปฏิกิริยาเปลี่ยน NO_3^- เป็น NH_4^+ และเติม Boric acid 5 ml ใน Erlenmeyer flask ขนาด 50 ml หยด Mixed indicator 4-5 หยด นำไปวางรองรับ condenser จากเครื่องกลั่นโดยให้หลอดจุ่มอยู่ใน Boric acid กลั่นจนสารละลายสีม่วงแดงเปลี่ยนเป็นสีเขียวได้ประมาณ 35 ml

6. ตัดเทบท่อนที่กลั่นด้วย Standard sulfuric acid 0.005N จนกระหั่งสีของสารละลายเปลี่ยนจากสีเขียวเป็นสีน้ำเงิน คือจุดยุติ (end point)

สูตรคำนวณ

$$\text{NH}_4^+ \text{ หรือ } \text{NO}_3^- = \frac{(A-B) \times C \times 14 \times 1000}{\text{Aliquot (ml)} \times \text{Oven soil (g)}}$$

A = ml ของ standard H_2SO_4 ที่ใช้ให้เทรดตัวอย่าง

B = ml ของ standard H_2SO_4 ที่ใช้ให้เทรดตัวอย่าง blank

C = ความเข้มข้นของ Standard H_2SO_4

14 = น้ำหนักสมมูล (equivalent weight) ของไนโตรเจน

การวิเคราะห์ฟอสฟอรัสในดินในรูปแบบที่มีประไชซ์น์ (HPO_4^{2-}) โดยวิธีใช้น้ำยา สกัดของ Bray II

เครื่องมือและอุปกรณ์

1. เครื่องซั่งทศนิยม 4 ตำแหน่ง

2. เครื่อง Spectrophotometer

3. Erlenmeyer flask ขนาด 50 ml

4. หลอดแก้ว (test tube)

5. กระดาษกรองเบอร์ 5

6. Pipette

7. สารละลายแอมโมเนียมฟลูออไรด์ (NH_4F)

8. กรดไฮโดรคลอริก (HCl)

9. สารละลายแอมโมเนียมโมลิบเดต [$(\text{NH}_4)_6\text{Mo}_7\text{O}_{24} \cdot 4\text{H}_2\text{O}$]

10. สารละลายแอนติโนนิโพแทสเซียมтар์เตท (K₂SbO.C₄H₄O₆)

11. กรดซัลฟูริกเข้มข้น (conc. H_2SO_4)

12. น้ำยา develop

13. Ascorbic acid

14. โพแทสเซียมไดไฮดรอเจนฟอสเฟต (KH_2PO_4)

สารเคมีและวิธีเตรียม

1. น้ำยาสกัด Bray II (0.03N NH_4F , 0.1N HCl) ชั้งแอมโมเนียมฟลูออไตร์ด (NH_4F) 11.10 g ในน้ำกลั่น 8 L เติมกรดไฮดรอลิกเข้มข้น (conc. HCl) 86 ml ปรับปริมาตรให้เป็น 10 L และปรับ pH. ให้อยู่ระหว่าง 1.5-1.6

2. Stock solution (Reagent A : Sulfuric-molybdate-tartrate) ชั้งแอมโมเนียมโนบิเดต $[(\text{NH}_4)_6\text{Mo}_7\text{O}_{24} \cdot 4\text{H}_2\text{O}]$ 50 g ใส่ปีกเกอร์ขนาด 2 L เติมน้ำกลั่น 200 ml คนให้ละลาย แล้วชั่งแอนติโมนีโพแทสเซียมtartrate ($\text{KSB}\text{O.C}_4\text{H}_4\text{O}_6$) 1.213 g เติมน้ำกลั่น 50 ml คนให้ละลาย เทรวมกันแล้วคนให้เข้ากัน ค่อยๆเติมกรดซัลฟูริกเข้มข้น (cone. H_2SO_4) 700 ml ทิ้งไว้ให้เย็น เทใส่ Volumetric pipet ขนาด 1000 ml แล้วปรับปริมาตร จากนั้นเทใส่ขวดสีชาเก็บไว้ในที่ไม่มีแสง

3. น้ำยา Develop สี (Working solution, Reagent B) ชั้ง Ascorbic acid 1.76 g ในน้ำกลั่น 1600 ml จากนั้นเติม Stock solution (ในข้อ2) ลงไป 40 ml ปรับปริมาตรด้วยน้ำกลั่น 2 L ทิ้งไว้ให้เย็น

4. สารละลายน้ำฟอสฟอรัส 50 mg/kg. P ชั้งโพแทสเซียมไดไฮดรอเจนฟอสเฟต (KH_2PO_4) 0.2195 g ในน้ำกลั่นจากนั้นปรับสภาพให้เป็นกรดด้วยกรดซัลฟูริก 1-2 หยด แล้วปรับปริมาตร 1 L

5. นำสารละลายน้ำฟอสฟอรัสมาทำ standard set ให้มีความเข้มข้น 0, 2, 4, 6, 8, 10 และ 15 mg/kg. P ด้วยน้ำยาสกัด

วิธีการ

1. ชั่งตัวอย่างดิน 1.0 g ใส่ Erlenmeyer flask ขนาด 50 ml

2. เติมน้ำยาสกัด Bray II 10 ml เขี่ย่า 1 นาที กรองด้วยกระดาษกรองเบอร์ 5

3. ปีเปตสารละลายน้ำฟอสฟอรัสที่ได้ในข้อ (2) อัตราส่วน 1 ส่วนต่อ working solution 16 ส่วน ลงในหลอดแก้วทึบไว้ครึ่งชั่วโมง นำไปอ่านค่าความเข้มข้นด้วยเครื่อง Spectrophotometer ที่ช่วงคลื่น 882 นาโนเมตร

สูตรคำนวณ

$$\text{ฟอสฟอรัสที่เป็นประโยชน์ (P)} = \frac{B \times DF(\text{sample}) \times X}{A \times DF(\text{standard})} \quad \text{mg/kg}$$

A = น้ำหนักของตัวอย่างดิน (g)

B = น้ำยาสกัด (ml)

X = ค่าที่อ่านได้เมื่อวัดค่าเทียบกับ standard set

DF = อัตราส่วนการเจือจาง (dilution factor)

ดังนั้น ถ้าไม่มีการเจือจาง

$$\text{ฟอสฟอรัสที่เป็นประโยชน์ (P)} = \frac{B \times X}{A} \text{ mg/kg}$$

การวิเคราะห์พอกเกลเชียมในดินในรูปแบบที่มีประโยชน์ คือ K^+ เครื่องมือและอุปกรณ์

1. Volumetric flask ขนาด 100 ml
 2. Erlenmeyer flask ขนาด 50 ml
 3. Pipette ขนาด 1, 2, 5 และ 10 ml
 4. กระดาษกรองเบคอร์ 1
 5. กรวยกรอง
 6. dispenser ขนาด 25 ml
 7. เครื่อง Spectrophotometer
 8. เครื่องซั่งทศนิยม 4 ตำแหน่ง
 9. เครื่องเขย่า (Shaker)
 10. สารละลายนามอนีเอียมอะซิเตต (NH₄OAc) 1 M pH7.0
 11. สารละลายน้ำร้อนพอกเกลเชียมเข้มข้น 1000 mg L⁻¹
 12. สารละลายน้ำร้อนพอกเกลเชียมเข้มข้น 0, 2, 4, 6 และ 8 mg L⁻¹
- สารเคมีและวิธีเตรียม**
1. สารละลายนามอนีเอียมอะซิเตต (NH₄OAc) 1 M pH7.0 ปีเปต Glacial acetic acid (99.5 %) 1140 ml ในน้ำกลั่น 16 L เติมสารละลายนามอนีเอียมไไฮดรอกไซด์เข้มข้น (cone. NH₄OH) 1380 ml แล้วปรับปริมาตรด้วยน้ำกลั่นจนได้สารละลายน้ำ 19 L ผสมให้เข้ากันแล้วปรับ pH. ให้เท่ากับ 7 ด้วย NH₄OH หรือ Glacial acetic acid จากนั้นปรับปริมาตรให้ได้ 20 L
 2. สารละลายน้ำร้อนพอกเกลเชียมเข้มข้น 1000 mg L⁻¹ ซึ่งสารละลายน้ำร้อนพอกเกลเชียม คลอไรด์ (KCl) 1.9067 g ในน้ำกลั่นแล้วปรับปริมาตรเป็น 1 L
 3. สารละลายน้ำร้อนพอกเกลเชียมเข้มข้น 0, 2, 4, 6 และ 8 mg L⁻¹ ปีเปตสารละลายน้ำร้อนพอกเกลเชียมเข้มข้น 1000 mg L⁻¹ 10 ml ใส่ Volumetric flask ขนาด 100 ml ด้วยน้ำกลั่น จะได้สารละลายน้ำร้อนพอกเกลเชียมเข้มข้น 100 mg L⁻¹ จากนั้นปีเปตสารละลายนี้ 0, 2, 4, 6

และ 8 ml ใส่ Volumetric flask ขนาด 100 ml ด้วยน้ำกลัน จะได้สารละลายนามาตรฐานโพแทสเซียมเข้มข้น 0, 2, 4, 6 และ 8 mg L^{-1} ตามลำดับ

วิธีการ

1. ชั่งตัวอย่างติด 2.5 g ใส่ Erlenmeyer flask ขนาด 50 ml
2. เติม 1 M NH_4OAc pH 7.0 25 ml เข้าด้วยเครื่องเขย่า 30 นาที
3. กรองด้วยกระดาษกรองเบอร์ 1 และเก็บสารละลายนามาตรฐาน
4. วิเคราะห์ K ด้วยเครื่อง Spectrophotometer โดยเปรียบเทียบกับค่ามาตรฐาน

สูตรคำนวณ

$$\text{โพแทสเซียมที่เป็นประizable ในเดิน, } \text{mg kg}^{-1} = 10K \times df$$

$K =$ ค่าที่อ่านได้จากเครื่องมือ, mg kg^{-1}

$df =$ dilution factor

การวิเคราะห์ปริมาณโปรตีนรวม (Crude Protein, CP) โดยวิธีของ AOAC, 1995
เครื่องมือและอุปกรณ์

1. ชุดวิเคราะห์ปริมาณโปรตีน (Kjeldatherm digestion unit และ distillation unit)
2. ตู้ดูดควัน (Hood)
3. เครื่องซั่งทวนนิยม 4 ตำแหน่ง
4. ขอนตักสาร
5. กระดาษสำหรับซั่งตัวอย่าง
6. flask ขนาด 125 ml, 250 ml
7. Volumetric flask 1000 ml
8. กรวยแก้ว
9. นิกเกอร์
10. Hot plate
11. ปีเปต 10 ml, 100 ml
12. ขาวดใส indicator
13. บิวเรต
14. กระบอกตวง 100 ml
15. ลูกแก้วก้นเดือด

สารเคมี

1. selenium mixture
2. กรดซัลฟูริกเข้มข้น (cone. H_2SO_4)
3. สารละลายน้ำโซเดียมไฮดรอกไซด์เข้มข้น 32% ($NaOH$)
4. สารละลายน้ำบอร์บิคเข้มข้น 2% (H_3BO_3)

วิธีการ

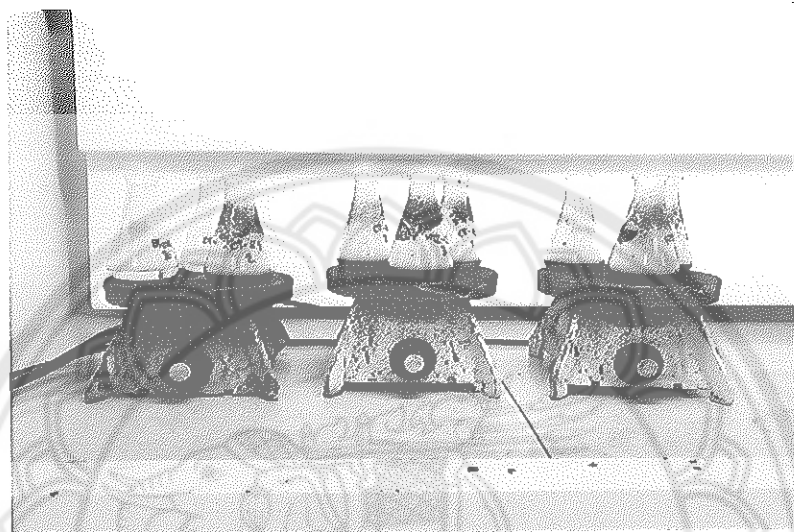
1. หั่งตัวอย่าง 1 g ใส่ในขวด flask ขนาด 125 ml และเติม selenium mixture 3 g



2. เติมกรดซัลฟูริกเข้มข้น (H_2SO_4 cone.) 25 ml



3. นำไปย่อยด้วยเครื่อง Kjeldatherm หรือย่อยบน Hot plate ในตู้ดูดควันที่อุณหภูมิ 400 °C เป็นเวลา 1-2 ชั่วโมง หรือจนกว่าสารละลายเป็นสีเขียวใสหรือสีฟ้าจากนั้นทิ้งสารละลายในเย็น ที่อุณหภูมิห้อง



4. นำตัวอย่างมากลั่นด้วยเครื่อง distillation unit โดยเติมสารที่ย่อยแล้วลงไปในขวดย่อย เจدار์ล และเติมน้ำกลั่น 100 ml และโซเดียมไฮดรอกไซด์ (NaOH cone. 32%) 90 ml



5. เตรียม flask ขนาด 250 ml ใส่สารละลายนบอริคเข้มข้น 2 % 60 ml และหยด indicator 2-3 หยด

6. ต��ราทส่วนที่กั้นได้ด้วยกรดซัลฟูริก (H_2SO_4) เข้มข้น 0.1 N จนสารละลายเปลี่ยนจากสีเหลืองเป็นสีฟ้า หรือสีเขียวเป็นสีชมพูม่วงซึ่งเป็นจุดยุติ บันทึกปริมาณที่ต��ราทได้ สูตรคำนวณ

$$\text{ปริมาณโปรตีน} = \frac{(A-B) \times C \times 6.25 \times 1400}{D}$$

A = ปริมาณของกรดซัลฟูริกที่ใช้ต��ราทตัวอย่าง

B = ปริมาณของกรดซัลฟูริกที่ใช้ต��ราท blank

C = Normality ของกรดซัลฟูริกที่ใช้ต��ราท (0.1 N)

D = น้ำหนักของตัวอย่าง (mg)

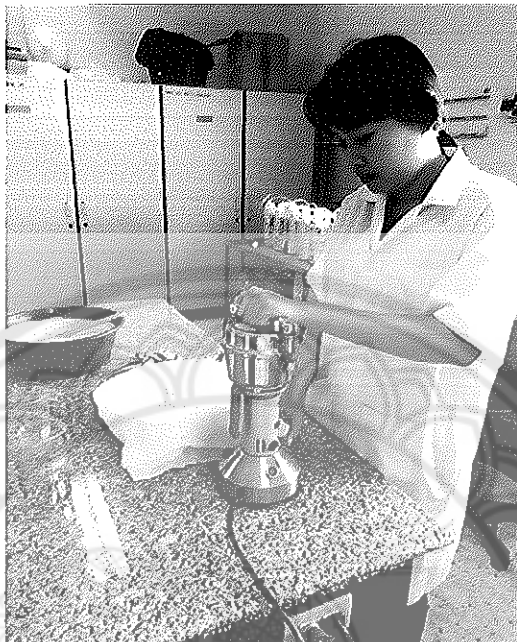
การประชุมวิชาการ
การประชุมวิชาการ ประจำปี 2546.
อุตสาหกรรม, 2546.

วิธีการ

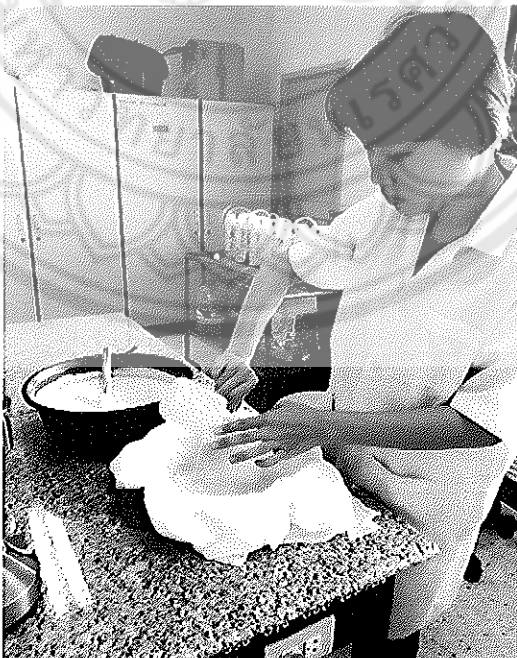
- นำถั่วเหลืองมาล้างน้ำให้สะอาด และเช่นน้ำ 6-8 ชั่วโมง



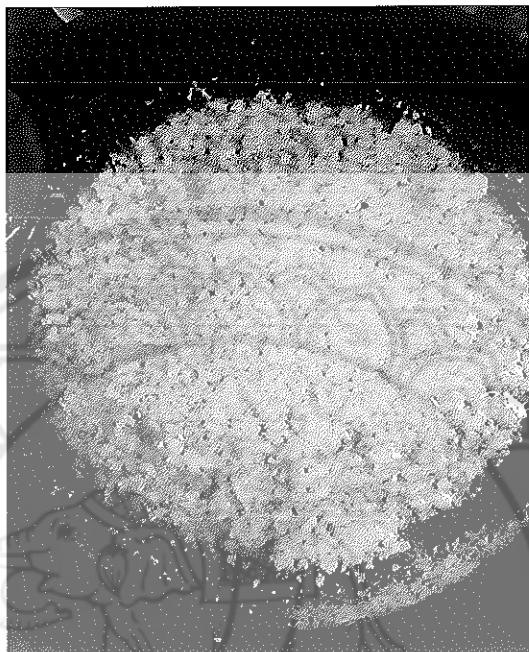
2. ปั้นถัวเหลืองกับน้ำให้เข้ากัน



3. กรองจากตะกอนด้วยผ้าขาวบางเพื่อแยกนมถัวเหลืองออกจากถัวเหลือง



4. นำนมถั่วเหลืองที่ได้ไปต้มให้เดือดแล้วยกลงพักไว้สักครู่ จากนั้นเติมสารเคมีแคลเซียมซัลเฟตที่ละลายน้ำแล้ว สำหรับการตักตะกอนโปรดตีนของนมถั่วเหลืองให้จับตัวเป็นก้อน



5. ตักตะกอนโปรดตีนของนมถั่วเหลืองใส่พิมพ์ที่รองตัวอย่างผ้าขาวบางๆ ตามเติมพิมพ์แล้วพับผ้าขาวบางหุ้มตะกอนโปรดตีนของนมถั่วเหลือง นำขึ้นแข็งมากดทับน้ำออก ประมาณ 30 นาที จะได้เต้าหู้แข็ง สีขาว



6. สังเกตการแตกต่างของใบพืชีน ลักษณะการขึ้นรูป และลักษณะเนื้อสัมผัสของเต้าหู้ระหว่าง 4 สิ่งทดลอง

